

Научно-технический журнал  
«Вестник Уральского государственного  
университета путей сообщения»  
№1, август, 2009 год

**И. о. главного редактора,  
научный редактор**  
Василий Михайлович Сай

**Литературное редактирование  
и корректура**  
Людмила Станиславовна Барышникова  
**e-mail:** lsb@nis.usurt.ru

**Техническое редактирование  
и верстка**  
Андрей Викторович Трубин

**Дизайн обложки**  
Максим Андреевич Никифоров

**Учредитель и издатель:**  
Уральский государственный  
университет путей сообщения

**Адрес редакции,  
учредителя и издателя:**  
620034, Екатеринбург,  
ул. Колмогорова, 66, УрГУПС

**Адрес для корреспонденции:**  
620034, Екатеринбург,  
ул. Колмогорова, 66, УрГУПС,  
редакция журнала «Вестник УрГУПС»

**Телефон редакции:** (342) 367-41-11.  
**Веб-сайт:** www.vestnik.usurt.ru;  
**e-mail:** VSay@usurt.ru,  
lsb@nis.usurt.ru

Журнал издается по решению  
ученого совета университета  
© УрГУПС

Отпечатано в издательстве  
Уральского государственного  
университета путей сообщения,  
620034, Екатеринбург,  
ул. Колмогорова, 66.

Подписано в печать 21.09.2009.

Тираж 300. Формат 70×100/16. Заказ № 18 Н.

## **В подготовке материалов номера принимали участие:**

**Ю. И. Ялышев,**  
*д-р физ.-мат. наук, проректор  
по информатизации, УрГУПС*

**К. Б. Кузнецов,**  
*д-р техн. наук, профессор кафедры  
«Безопасность жизнедеятельности», УрГУПС*

**В. М. Сай,**  
*д-р техн. наук, профессор кафедры  
«Путь и железнодорожное  
строительство», УрГУПС*

**В. А. Копнов,**  
*д-р. техн. наук, заведующий кафедрой  
«Управление качеством», УГЛТУ*

**Б. С. Юшков,**  
*канд. техн. наук, декан  
автомобильного факультета, ПГТУ*

**Д. А. Брусянин,**  
*канд. тех. наук, директор НИЧ, УрГУПС*

**С. А. Плахотич,**  
*канд. техн. наук, заведующий кафедрой  
«Станции, узлы и грузовая работа», УрГУПС*

**А. П. Сухогузов,**  
*канд. техн. наук, заведующий  
кафедрой «Теоретические основы  
электротехники», УрГУПС*

**Т. Ф. Филиппова,**  
*д-р. физ.-мат. наук, профессор ИММ УрО РАН*

**С. В. Вихарев,**  
*заместитель декана  
математико-механического  
факультета, УрГУ*

**С. В. Сизый,**  
*канд. физ.-мат. наук, доцент кафедры  
вычислительной алгебры, УрГУ*

# Содержание

**3** Колонка редактора

## Организация и управление

**4** **Д. А. Брусянин.** Модель управления рисками в сетевой структуре железной дороги

**12** **Н. Ф. Сирина.** Моделирование управления вагоноремонтным комплексом

**21** **В. К. Фомин.** Оценка и ранжирование предприятий по степени приемлемости сотрудничества с железной дорогой

**29** **Р. Н. Ковалев.** Использование концепций SOA в оптимизации транспортных систем предприятий

**34** **А. В. Щичко, С. В. Вихарев, С. В. Сизый** Организационные процессы в сетях с разделенными интересами: актуальность, постановка задачи, план исследования

## Организация перевозочного процесса

**43** **Х. Т. Туранов, Н. В. Становова.** Организационные особенности технологических процессов размещения грузов на открытом железнодорожном подвижном составе

**51** **В. М. Сай.** Организация «окон» в графике движения поездов при содержании транспортной инфраструктуры

**58** **Г. А. Тимофеева.** Оптимальная организация грузопотоков на транспортной сети

**62** **И. В. Воскресенский.** Исследование подсистемы выгрузки в интегрирующем транспортно-технологическом комплексе

## Безопасность жизнедеятельности. Охрана окружающей среды

**71** **В. Ф. Бухтояров.** Управление профессиональной безопасностью работников железнодорожного транспорта

**77** **В. Ф. Бухтояров.** Организационные особенности безопасного производства работ в электроустановках железнодорожного транспорта

**83** **В. Н. Коротаев.** Методические подходы к совершенствованию производственно-логистической системы транспортирования отходов производства/потребления

## Электроснабжение железных дорог

**90** **А. А. Бунзя.** Моделирование ионизационных процессов в электрической изоляции: разработка трехмерной имитационной модели с одним включением

## Автомобильный транспорт

**98** **Р. Н. Ковалев, Е. А. Зимин.** Обзор парка грузовых автомобилей

## Подготовка персонала

**101** **В. С. Паршина.** Кадровое обеспечение производственной сферы железных дорог

**107** Аннотации

**118** Научные сообщения

**119** Интеллектуальная собственность

**123** Памятка для авторов

# Колонка редактора

*Хорошо поставленное издание научной литературы — неперемное условие высокой эффективности ученых. Это и форма отчетности, и арена соревнования идей, и средство внедрения научных достижений в практику. Это и лицо нашей науки.*

М. Б. Миллионщиков, академик



## Уважаемые коллеги!

Представляем вам новое периодическое издание университета — научно-технический журнал «Вестник Уральского государственного университета путей сообщения».

Идеологическая основа журнала — это его название: «Вестник» (*приносящий весть, известие*), то есть объективное информирование научной общественности страны о достижениях ученых университета.

Основное содержание журнала — научные статьи. Но журнал оповестит также об интеллектуальной собственности университета, патентно-лицензионной деятельности, издаваемых монографиях, защитах диссертаций.

На страницах нашего журнала мы будем публиковать и заказные статьи: о выдающихся ученых, о новых научных направлениях и открытиях, о развитии науки в области железнодорожного транспорта.

Журналу присущи информационная открытость (идентичные версии «Вестника УрГУПС» выкладываются в Интернете по адресу: <http://www.vestnik.usurt.ru> и полнотекстовая версия в Российском индексе научного цитирования (РИНЦ) по адресу: <http://elibrary.ru>) и строгая периодичность.

Для экспертной оценки рукописей организовано обязательное рецензирование.

Журнал регистрируется в средствах массовой информации и Российском индексе научного цитирования.

Мы уверены, что с помощью «Вестника УрГУПС» нам удастся расширить аудиторию читателей научных трудов ученых университета, что будет способствовать их цитированию, а значит, научному признанию.

*И. о. главного редактора В. М. Сай*

# ОРГАНИЗАЦИЯ И УПРАВЛЕНИЕ

*Д. А. Брусянин*

## Модель управления рисками в сетевой структуре железнодорожной

В ходе структурных преобразований, проводимых на железнодорожном транспорте, изменилась роль государства и хозяйствующих субъектов в деятельности отрасли. Государство ограничило свои функции как хозяйствующий субъект и намерено усилить свои позиции как контролирующей и регулирующий орган. Хозяйствующие и оперативные функции по управлению перешли к компании ОАО «Российские железные дороги» и ее дочерним и зависимым акционерным обществам.

Компанию ОАО «РЖД» можно представить как сетевую структуру (модель) радиально-планетарного вида [1]. Радиально-планетарная структура железной дороги (рис. 1) представляет собой ориентированный граф, в котором вершины — это хозяйст-

вующие субъекты (предприятия-партнеры компании), связи — финансовые, информационные, ресурсные и другие потоки.

Предприятия и хозяйствующие субъекты экономического окружения железной дороги (далее узлы-предприятия или узлы) располагаются на орбитах по степени экономической близости к железной дороге: непосредственные поставщики ресурсов, субподрядчики и т. д., а также на секторы по виду деятельности: вагонное хозяйство, локомотивное и т. д. Фрагмент радиально-планетарной модели путевого комплекса, экономическое окружение которого составляет дирекция по ремонту пути (ДРП), дирекция по ремонту путевых машин (ДПМ), шпалопропиточные и карьерные заводы, проектные организации и др., представлен на рис. 2.

---

Сведения об авторе:

**Брусянин Дмитрий Алексеевич** — кандидат технических наук, доцент кафедры «Путь и железнодорожное строительство» УрГУПС. [DBrusyanin@nis.usurt.ru](mailto:DBrusyanin@nis.usurt.ru).

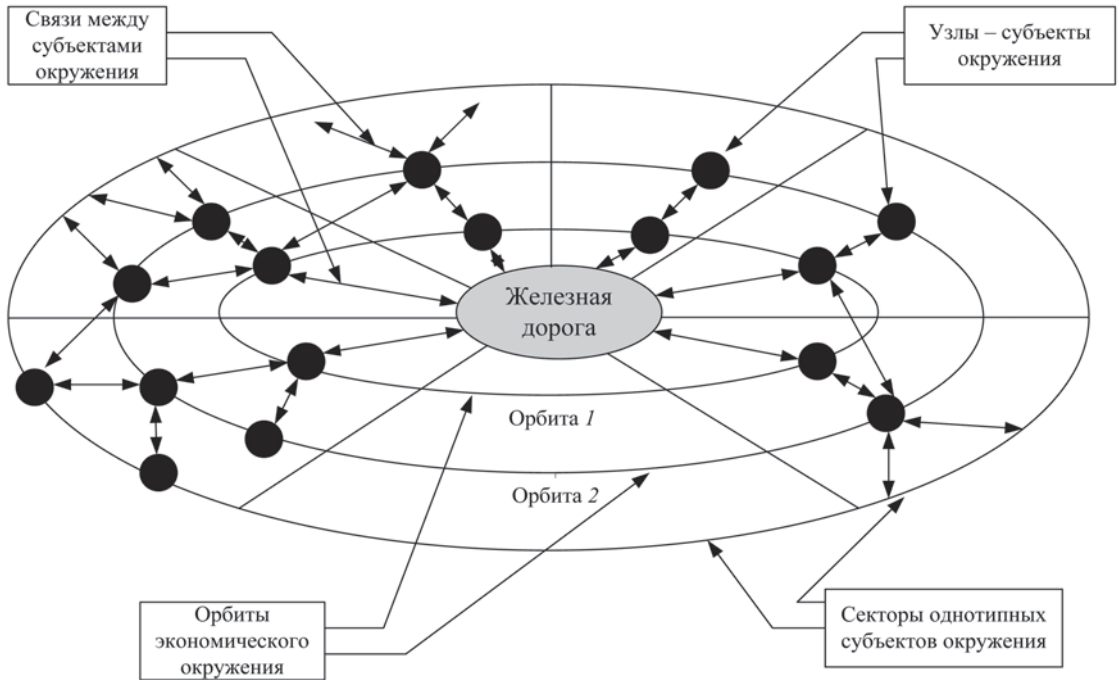


Рис. 1. Радиально-планетарная структура железной дороги

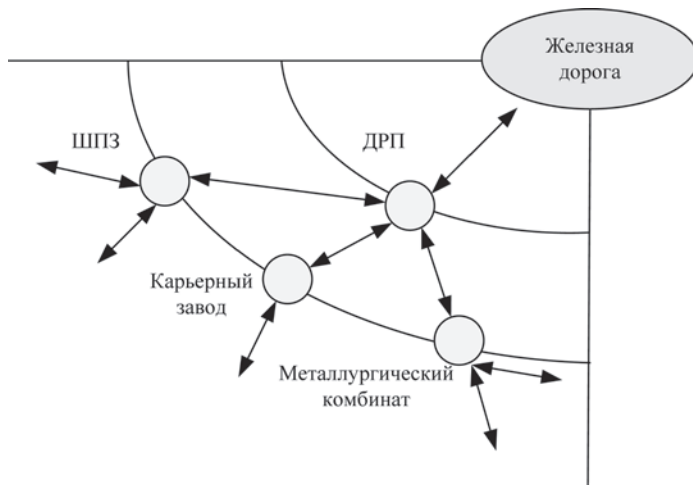


Рис. 2. Фрагмент радиально-планетарной модели путевого комплекса

Рассмотрим узел «ДРП» планетарно-радиальной модели. ДРП является филиалом ОАО «РЖД», оперативное управление которой возложено на центральную дирекцию по ремонту пути (ЦДРП).

В состав дирекции входят такие структурные подразделения, как путевые машинные станции (ПМС), рельсосварочное предприятие (РСП), ремонтные мастерские. Организационная структура

управления компании ремонтно-путевым комплексом показана на рис. 3.

При этой модели взаимодействия железная дорога выступает заказчиком услуг на выполнение ремонтов пути. Для железной дороги на первый план выступают такие показатели, как выполнение необходимого объема работ с требуемым качеством и в установленные сроки. Схема взаимодействия показана на рис. 4.

Конечный критерий качества выполненных ДРП работ — железнодорожный путь с установленной скоростью движения.

Для обеспечения качества выполняемых работ по ремонту железнодорожного пути перспективно использование заказчиком экономических методов управления рисками. Эти методы направ-

лены на создание подрядным организациям таких условий, при которых предприятиям будет экономически невыгодно оказывать услуги (ремонт пути, вагонов и др.) и выпускать продукцию, не соответствующую нормам надежности и безопасности. В настоящей работе под термином «риск» будем понимать вероятность неблагоприятного события, например, задержку «окна» или выполнение работ с отступлением от требований проекта и др.

Рассмотрим перечень возможных рисков, которые железная дорога как заказчик работ может использовать в управлении подрядными организациями для обеспечения качества ремонта пути.

1. Риск задержки «окна» при производстве путевых работ  $P_1$ . Его величина зависит от надежно-

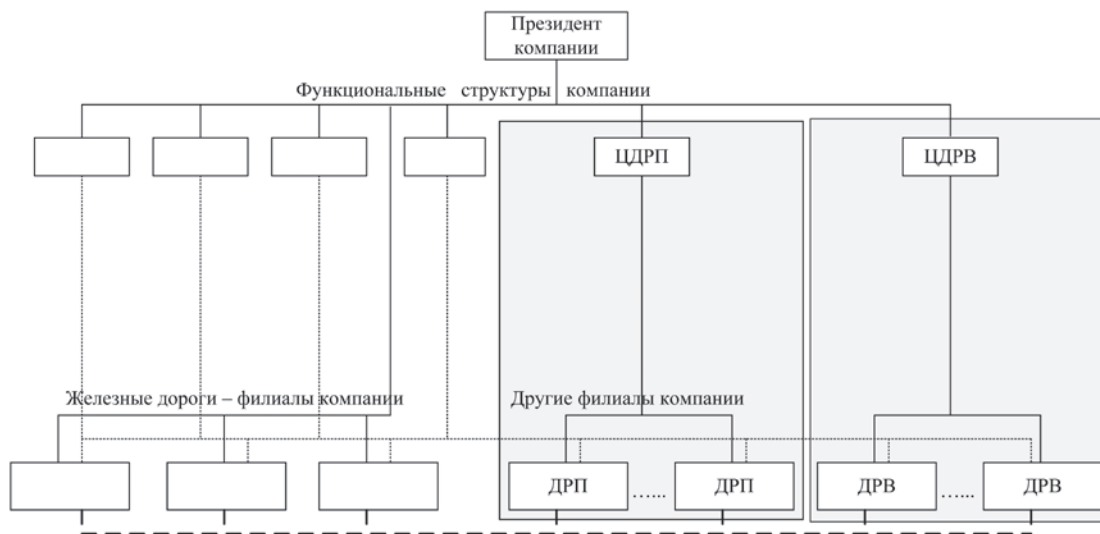


Рис. 3. Структура управления путевым ремонтным комплексом

- линейная связь;
- ..... функциональная связь;
- координационная связь

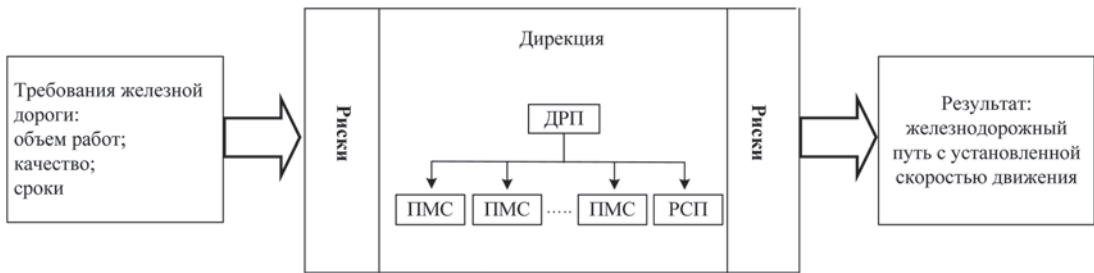


Рис. 4. Схема взаимодействия железной дороги с ДРП

сти путевых машин и механизмов, квалификации руководителей, укомплектованности бригад и др.

2. Риск нарушения технологии производства работ при ремонте пути  $P_2$ . Величина  $P_2$  зависит от квалификации руководителей, укомплектованности и разрядности бригад и др. Так, например, обеспечение требований по выполнению технологии производства работ на текущем содержании пути исследованы в [2].

3. Риск несоответствия отремонтированного участка железнодорожного пути требованиям проекта  $P_3$ . Его величина определяется на основе статистических данных по каждому ПМС.

4. Риск (вероятность) отказа элементов верхнего строения пути (рельсы и шпалы)  $P_4$ . Методы оценки и прогнозирования надежности рельсов и шпал широко известны и могут быть использованы при определении вероятности  $P_4$ . Так, в условиях отсутствия информации для вновь уложенной партии рельсов в течение начального периода эксплуатации прогнозирование отказов рельсов и шпал целесооб-

разно осуществлять при помощи феноменологических моделей [3].

При определении вероятности отказов рельсов рассматриваются отказы, вызванные заводским браком. Согласно «Классификации дефектов рельсов НТД/ЦП-1-93», — это дефекты, связанные с отступлениями от технологии производства рельсов, и дефекты, зависящие от металлургического качества стали.

При прогнозировании надежности железобетонных шпал необходимо рассматривать отказы, происходящие из-за их недостаточных прочности, плотности, морозостойкости и толщины защитного слоя (заводской брак).

Рассмотрим модель управления риском: плата за риск. При построении модели не будем ограничиваться взаимодействием между подразделениями путевого комплекса и исследуем обобщенную модель управления рисками при взаимодействии железной дороги с узлами-предприятиями.

Метод «плата за риск» заключается в установлении узлам-предприятиям выплат, пропорциональных величине риска, умно-

женного на цену за риск. Размер цены за риск может контролироваться аппаратом технического аудита железной дороги [4]. При использовании такого метода узлы-предприятия заинтересованы в снижении величины риска, тем самым повышая качество работ, используемых материалов и, в итоге, безопасность движения.

Для математической формализации метода «плата за риск» воспользуемся аппаратом теории игр.

Рассмотрим сектор железной дороги, в котором функционируют  $n$  узлов-предприятий или, следуя терминологии теории игр и теории активных систем, игроков, агентов.

Каждому из  $n$  узлов-предприятий поставим в соответствие целевую функцию  $f_i(y)$ , где  $N = \{1, 2, \dots, n\}$  — вектор действий всех узлов,  $N = \{1, 2, \dots, n\}$  — множество узлов-предприятий. Следуя сложившейся терминологии, будем называть действия  $y_i$  стратегиями, а вектор  $y$  — ситуацией игры. Под действием может пониматься объем реализованной продукции, объем выполненных работ, например, количество отремонтированных километров железнодорожного пути ПМС и др. Совокупность стратегий  $y_{-i} = (y_1, \dots, y_{i-1}, y_{i+1}, \dots, y_n)$  — обстановка игры для  $i$ -го узла-предприятия радиально-планетарной структуры железной дороги.

Свою деятельность узлы-предприятия могут осуществлять в условиях отсутствия конкуренции друг с другом и в условиях конкуренции между собой за право

получения заказа от ОАО «РЖД». В настоящей статье рассмотрен первый вариант.

Одним из способов задания целевой функции узла-предприятия, отражающей его экономические интересы, при моделировании социально-экономических систем является использование функции, имеющей вид «дохода» предприятия. Тогда принцип выбора решения узлом-предприятием можно записать в виде оптимизационной задачи:

$$f_i(c, y_i, z(y_i, r_i), v_i) \rightarrow \max_{y, v}, \quad (1)$$

где  $c$  — стоимость единицы продукции, услуги;  $y_i$  — объем производимой продукции (оказываемых услуг)  $i$ -м узлом;  $z_i(y_i, r_i)$  — функция затрат  $i$ -го узла по реализации объема  $y_i$  с эффективностью  $r_i$ ;  $v_i$  — объем средств, выделяемых на снижение уровня риска  $i$ -м узлом-предприятием.

Целевую функцию узла-предприятия формализуем как разницу между поступлениями от реализованной продукции  $cy_i$  и затратами на ее изготовление  $z_i(y_i, r_i)$  и объемом средств на снижение уровня риска  $v_i$ :

$$f_i(y_i) = cy_i - z(y_i, r_i) - v_i, \quad (2)$$

Положим, что функция затрат является действительной, неотрицательной, возрастающей, выпуклой, имеющей непрерывную производную [5]:

$$z(0) = 0, \quad \frac{dz(y)}{dy} > 0, \quad \frac{dz^2(y)}{dy^2} > 0.$$

При этом

$$\left. \frac{dz(y)}{dy} \right|_{y=0} = 0, \quad \left. \frac{dz(y)}{dy} \right|_{y \rightarrow \infty} \rightarrow \infty.$$

Тогда функция затрат узла-предприятия может иметь вид [5]

$$z(y_i, r_i) = \frac{(y_i)^2}{2r_i}.$$

Обозначим через  $R$  уровень риска, обеспечиваемый  $i$ -м узлом. Будем считать, что [6]

$$R(y, v) = \frac{wy^2}{wy^2 + \Theta v + T}, \quad (3)$$

где  $w$  — коэффициент, характеризующий влияние объема выпускаемой продукции или оказываемых услуг на уровень риска;  $\Theta$  — коэффициент, характеризующий эффективность использования средств, направляемых на снижение риска;  $T$  — показатель, характеризующий технологический процесс на предприятии с позиций надежности и безопасности.

Определение параметров  $w$ ,  $\Theta$ ,  $T$  является задачей дальнейших исследований.

При использовании механизма платы за риск основным рычагом, позволяющим управлять уровнем риска, является цена риска  $\lambda$ , устанавливаемая железной дорогой (в терминологии теории активных систем — центр) узлам-предприятиям радиально-планетарной структуры. Тогда целевая функция (2) примет следующий вид:

$$f_i(y_i) = cy_i - z(y_i, r_i) - v_i \lambda_i - R(y_i, v_i). \quad (4)$$

Поскольку целевая функция узла-предприятия отражает разницу между поступлениями от реализации продукции и расходами, то каждый узел стремится максимизировать свою целевую функцию. Для этого ему необходимо определить объем выпускаемой продукции  $y$  и объем средств  $v$ , которые необходимо направить на снижение уровня риска. То есть

$$f_i(y_i) = cy_i - z(y_i, r_i) - v_i - \lambda_i R(y_i, v_i) \rightarrow \max_{(y_i, v_i)}. \quad (5)$$

Решение задачи (5) таково. Первое — ищутся частные производные по всем переменным ( $y$  и  $v$ ) и приравниваются к нулю.

Система уравнений имеет вид

$$\begin{cases} \frac{\partial f}{\partial y_i} = c - \frac{dz(y_i)}{dy_i} - \lambda \frac{\partial z(y_i, v_i)}{\partial y_i} = 0; \\ \frac{\partial f}{\partial v_i} = -\frac{dy(y_i, v_i)}{dv_i} - 1 = 0. \end{cases}$$

Второе — решаются полученные системы уравнений:

$$\begin{cases} c - \frac{y_i}{r_i} - \frac{2\lambda w y_i}{w y_i^2 + \Theta v_i + T} + \\ + \frac{2\lambda w^2 y_i^3}{(w y_i^2 + \Theta v_i + T)^2} = 0; \\ \frac{\lambda w \Theta y_i^2}{(w y_i^2 + \Theta v_i + T)^2} - 1 = 0. \end{cases}$$

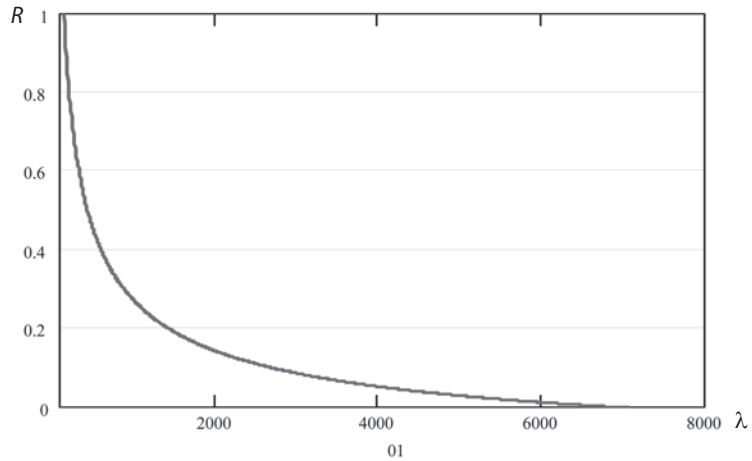


Рис. 5. Изменение уровня риска в зависимости от цены за риск

Решение системы уравнений записываются в следующем виде:

$$y_i^* = \frac{c - 2\sqrt{\frac{\lambda w}{\Theta}}}{\frac{1}{r_i} - \frac{2w}{\Theta}};$$

$$v_i^* = \frac{y_i^* \sqrt{\lambda w \Theta} - w(y_i^*)^2 - T}{\Theta}.$$

Величину  $\lambda^*$  найдем из выражения

$$\frac{\partial v^*}{\partial \lambda} = 0.$$

Рассмотрим пример для двух узлов-предприятий радиально-планетарной структуры железной дороги. Пусть  $c = 80$ ,  $w = 0,01$ ,  $\Theta = 0,08$ ,  $T = 0,5$ ,  $r = 5$ ,  $r_2 = 2,5$ , то есть эффективность первого узла выше второго.

Зависимость изменения уровня риска от установленной цены за риск показана на рис. 5.

Таким образом, железная дорога как заказчик, ужесточая требования к качеству и безопасности (увеличивая цену за риск), стимулирует узлы-предприятия на повышение уровня качества и безопасности производимой продукции — величина риска снижается.

На рис. 6 представлена зависимость выделяемых узлом-предприятием средств на поддержание уровня безопасности от цены за риск.

Из рис. 6 видно, что при установлении железной дорогой цены за риск для первого узла  $\lambda_1^* = 2000$  и второго  $\lambda_2^* = 2164$  максимальный объем средств, направляемых узлами-предприятиями на повышение уровня безопасности продукции, составит  $\lambda_1^* = 236$  и  $\lambda_2^* = 213$ .

В заключение необходимо отметить следующее. Во-первых, использование разработанной оптимизационной модели возможно для поддержки принятия

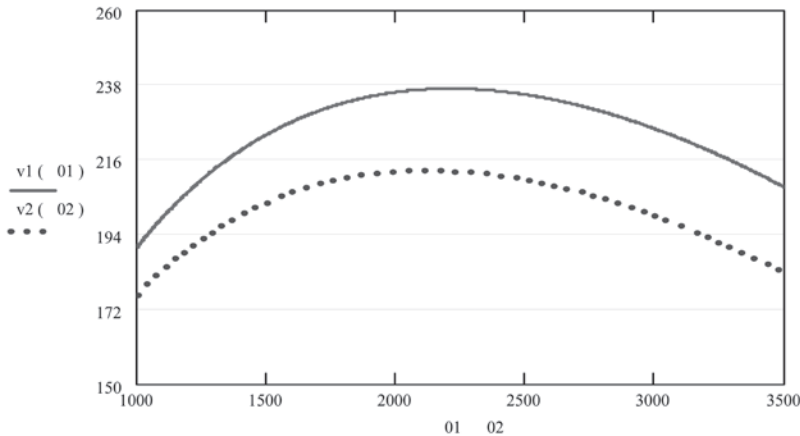


Рис. 6. Изменение средств на поддержание уровня риска в зависимости от цены за риск  
 — узел-предприятие 1 с большей эффективностью;  
 •••• — узел-предприятие 2 с меньшей эффективностью

решений при взаимодействии между железной дорогой и подрядными организациями ее экономического окружения. Во-вторых, предложенная оптимизаци-

онная модель может быть использована при обосновании экономически целесообразного уровня качества и безопасности выпускаемой продукции. ■

## Литература

1. Сай В. М., Фомин В. К. Моделирование системы взаимоотношений железной дороги с хозяйствующими субъектами // Екатеринбург: УрГУПС. Транспорт Урала. 2008. № 4 (19). С. 15–19.
2. Брусянин Д. А. Функциональная безопасность как составляющая системы безопасности движения поездов / В. М Сай., Д. А. Брусянин // Екатеринбург: УрГУПС. Транспорт Урала. 2005. № 3 (6). С. 25–32.
3. Щепотин Г. К. Эксплуатационная надежность железнодорожного пути. Екатеринбург: Изд-во Урал. гос. ун-та путей сообщения, 2008. 144 с.
4. Степов В. В. Внутренний технический аудит по безопасности движения // М., Железнодорожный транспорт. 2008. № 3. С. 13–18.
5. Новиков Д. А. Теория управления организационными системами. М.: МПСИ, 2005. 583 с.
6. Бурков В. Н., Новиков Д. А., Щепкин А. В. Механизмы управления эколого-экономическими системами / Под ред. акад. С. Н. Васильева. М.: Изд-во физ.-мат. лит., 2008. 244 с.

Статья сдана в редакцию 20 июля 2009 г.

*Н. Ф. Сирина*

## Моделирование управления вагоноремонтным комплексом

Концепция интеллектуального управления железнодорожным транспортом, изложенная в [1, 2], предполагает научное обоснование прогноза последствий управленческих решений на основе адекватной отраслевым задачам математической модели. Авторами подчеркивается, что отсутствие такой модели на протяжении многих лет было едва ли не главной причиной неудач с разработкой жизнеспособной автоматизированной системы управления для сети железных дорог.

Создание моделей и разработка на их основе механизмов организации вагоноремонтного комплекса ведется в Уральском государственном университете путей сообщения при кафедре «Вагоны» совместно с Институтом проблем управления Российской академии наук.

При формировании механизмов организации вагоноремонтного комплекса используются основы теории дальновидных систем. Это теория управления самоорганизующимися адаптивными системами с дальновидными

элементами в условиях неопределенности. При этом под дальновидными элементами понимают в целом вагоноремонтный комплекс или предприятие (исполнителя), которые способны учитывать последствия своей деятельности. Под условиями неопределенности понимают то, что исполнитель функционирует во внешней среде, которая постоянно влияет на него и поэтому возможны изменения и самой системы. Управление деятельностью исполнителя — предмет теории дальновидных систем. Теория направлена на создание адаптивных и самоорганизующихся механизмов организации, при этом учитывается активность лиц (человеческий фактор), которая связана с наличием у них собственных целей, не обязательно совпадающих с целью системы.

При разработке механизмов организации вагоноремонтный комплекс (ВК) рассматривается как сложная подсистема железнодорожного транспорта. Взаимоотношения в этой подсистеме изучаются и оптимизируются на основе сетевого подхода, позволяющего

---

Сведения об авторе:

**Сирина Нина Фридриховна**, кандидат технических наук, начальник отдела аспирантуры и докторантуры. Тел.: (343) 245–14–91, e-mail: NSirina@nis.usurt.ru.

проводить плановый и поэтапный анализ отдельных фрагментов подсистемы [3]. Выделены механизмы стратегического и оперативного управления. Стратегические механизмы — механизмы регулирования развития ВК как самоорганизующегося комплекса с высоким уровнем децентрализации дирекции по ремонту грузовых вагонов. Они позволяют регулировать вложения средств ВК в развитие вагоноремонтных предприятий с учетом экономических интересов центральной дирекции по ремонту грузовых вагонов. Оперативные механизмы — механизмы организации производственно-хозяйственной

деятельности вагоноремонтного предприятия. Они направлены на решение стандартных и постоянно возникающих управленческих задач, формирование набора возможных решений перспективного развития вагоноремонтного предприятия с прогнозом их последствий.

Механизм регулирования развития вагоноремонтного комплекса основан на самоорганизации и увязывает его потенциал, доход, вложения в развитие вагоноремонтных предприятий, целевую функцию [4]. Многоуровневая модель самоорганизующегося вагоноремонтного комплекса представлена на рис. 1.

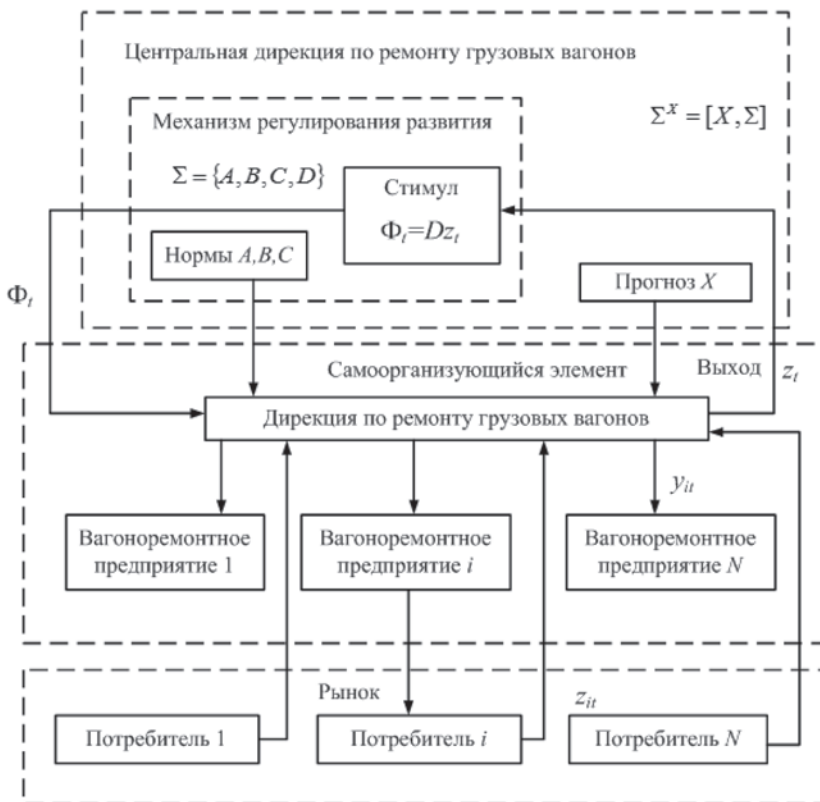


Рис. 1. Модель самоорганизации вагоноремонтного комплекса

На верхнем уровне находится орган регулирования развития вагоноремонтного комплекса — центральная дирекция по ремонту грузовых вагонов. Третий и второй уровни объединяет самоорганизующийся элемент, состоящий из управляющего органа (дирекции по ремонту грузовых вагонов) и исполнителей (вагоноремонтных предприятий). На следующем уровне находятся потребители ремонтных услуг. Множество возможных состояний вагоноремонтного комплекса зависит от параметров, на основании которых центральной дирекцией по ремонту грузовых вагонов регулируется развитие ВК. Развитие  $i$ -го вагоноремонтного предприятия в процессе самоорганизации связано с ростом его потенциала в зависимости от вложений дирекции по ремонту грузовых вагонов в предыдущих периодах. Множество возможных вложений во все вагоноремонтные предприятия представляет совокупность вложений в периоде  $t$ , удовлетворяющих следующим условиям. Сумма вложений не может превышать доли прибыли, направляемой на развитие. Общая прибыль дирекции по ремонту грузовых вагонов равна сумме прибыли вагоноремонтных предприятий; прибыль вагоноремонтного предприятия составляет долю его дохода. Доход вагоноремонтного предприятия вычисляется произведением коэффициента фондоотдачи на величину основных производственных фондов. Основные про-

изводственные фонды в периоде  $t + 1$  равны сумме основных производственных фондов в предыдущем периоде с учетом коэффициента амортизации и вложений с поправкой на коэффициент их эффективности. Дирекция по ремонту грузовых вагонов выбирает вложения так, чтобы максимизировать свою целевую функцию — суммарную дисконтированную прибыль за весь период дальновидности. Так как целевая функция представляет собой сумму основных производственных фондов в разных периодах с учетом коэффициентов амортизации и эффективности вложений, а коэффициент эффективности вложений определяется инвестиционной привлекательностью, то видно, что необходимо вкладывать в те предприятия, чья инвестиционная привлекательность выше.

Задача синтеза механизма самоорганизации ВК с прогнозом предпочтительных вложений состоит в определении оптимальных вложений, обеспечивающих вложения, предпочтительные для центральной дирекции по ремонту грузовых вагонов. В этом случае обеспечивается максимум целевой функции центральной дирекции по ремонту грузовых вагонов при самых неблагоприятных вложений ею в вагоноремонтные предприятия.

Рассмотрены задачи синтеза механизма самоорганизации, обеспечивающего следующие сценарии организации функционирования ВК: I — развитие всех

вагоноремонтных предприятий, II — развитие конкретных вагоноремонтных предприятий и сценарий III — подавление развития определенного вагоноремонтного предприятия. В сценарии I все вагоноремонтные предприятия имеют одинаковые значения инвестиционной привлекательности (отдача вложений в развитие). В этом случае центральная дирекция по ремонту грузовых вагонов заинтересована в постоянном развитии всех вагоноремонтных предприятий, так как ее целевая функция зависит от общей величины вложений и не зависит от вложений в конкретное предприятие. В сценарии II вагоноремонтные предприятия имеют разные значения инвестиционной привлекательности. В этом случае целевая функция центральной дирекции по ремонту грузовых вагонов достигает максимума при вложении всех средств в развитие вагоноремонтных предприятий с мак-

симальной инвестиционной привлекательностью. В сценарии III центральная дирекция по ремонту грузовых вагонов не заинтересована в развитии определенного вагоноремонтного предприятия, имеющего наименьшее значение инвестиционной привлекательности; развитие  $N - 1$  вагоноремонтных предприятий выполняется за счет этого предприятия.

Внедрение механизма самоорганизации позволяет дирекции по ремонту грузовых вагонов определить необходимые вложения в развитие вагоноремонтных предприятий для перевода ВК в желаемое (предпочтительное) для нее состояние.

При разработке адаптивного механизма организации производственно-хозяйственной деятельности вагоноремонтного предприятия (АМОВРП) рассматривается система, состоящая из «стратегического центра», «оперативного центра» и «исполнителя» (рис. 2) [5].

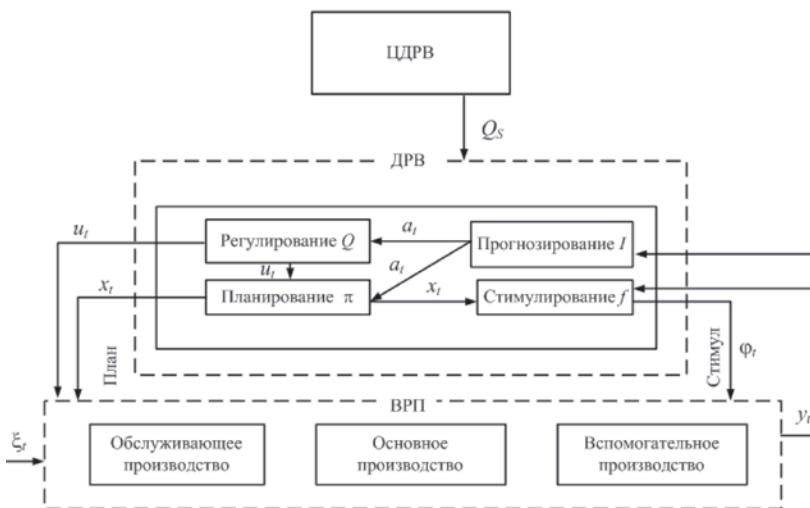


Рис. 2. Структура адаптивного механизма организации ВК

Стратегическим центром является центральная дирекция по ремонту грузовых вагонов, которая выполняет функцию регулирования развития на основе процедуры стратегического прогнозирования и выделения ресурсов. Дирекция по ремонту грузовых вагонов выступает в качестве оперативного центра и обладает следующими функциями управления исполнителем: адаптивное прогнозирование на основе обучения (оценка), регулирование ресурсов (ресурс), планирование заданий на ремонт (план) и стимулирование исполнителя (стимул). В качестве исполнителя выступает вагоноремонтное предприятие. Предполагается, что на его вход воздействует стохастическая помеха, а результат его деятельности характеризуется выходом. Множество выходов вагоноремонтного предприятия зависит от его потенциала.

Система в периоде  $t$ ,  $t = 0, 1, \dots$  начинает функционировать с того, что на вход вагоноремонтного предприятия подаются управляющие воздействия дирекции по ремонту грузовых вагонов: план и ресурс. Одновременно на вход воздействует внешняя среда в виде стохастической помехи. Зная множество выходов, вагоноремонтное предприятие выбирает выход так, чтобы максимизировать свою целевую функцию. Дирекция по ремонту грузовых вагонов наблюдает выход и определяет оценку на следующий период. Далее, на основе оценки, дирекция по ремонту грузо-

вых вагонов, используя процедуры планирования и регулирования, определяет ресурс и план на следующий период. На основе сопоставления фактического выхода с планом определяется стимул вагоноремонтного предприятия. На этом функционирование системы в периоде  $t$  завершается, наступает период  $t + 1$  и так далее. Целевая функция вагоноремонтного предприятия в периоде  $t$  представляет собой суммарную дисконтированную прибыль за весь период дальновидности. Вагоноремонтное предприятие решает задачу оптимизации целевой функции с прогнозом потенциала и выхода, выбирая такой текущий выход, который максимизирует его целевую функцию.

Задача оптимального синтеза АМОВРП — максимизация в каждом периоде времени целевой функции вагоноремонтного комплекса, зависящей от планов, ресурсов и выходов вагоноремонтного предприятия в данном периоде с учетом неопределенности потенциала и выхода.

Синтез АМОВРП формирует следующие типы механизмов: жесткое регламентирование; гибкое реагирование; установление допустимых границ деятельности. АМОВК жесткого регламентирования — это механизм, обеспечивающий равенство выхода и плана при любом потенциале вагоноремонтного предприятия. Для существования АМОВРП жесткого регламентирования необходимо и достаточно, чтобы план был заведомо выполнен.

АМОВРП, при котором вагоноремонтное предприятие полностью использует свой потенциал в каждом периоде (то есть работает на границе своих возможностей), называется механизмом гибкого реагирования. В этом механизме приоритетом является раскрытие потенциала. Механизм гибкого реагирования прогрессивен по оценке, если с ростом выхода оценка и максимальный стимул увеличивались. Механизм гибкого реагирования регрессивен по оценке, если с ростом оценки выхода максимальный стимул, получаемый в единицу времени, убывает. Вагоноремонтное предприятие выбирает выход, равный плану, при реально выполненном плане. Если же установленный дирекцией по ремонту грузовых вагонов план невыполним из-за каких-либо изменений, вагоноремонтное предприятие максимально стремится его достичь.

Повышение эффективности ремонта грузовых вагонов в рыночной сфере должно решаться путем управления конкурентоспособностью ВК. Для этого необходима не только оценка рыночного позиционирования, но и понимание причин, обусловивших фактическое положение предприятия на рынке, тем более если оно не соответствует целевому состоянию.

Для проведения ретроспективного анализа, а также и для перспективных оценок выполняется интегральная оценка вагоноремонтного предприятия. Поэтому другое направление совершенствования управления ВК — ин-

тегральная оценка рыночного потенциала вагоноремонтного предприятия с помощью системы показателей, позволяющих в формализованном виде описывать состояние исследуемого объекта.

Разработана методика формирования интегральной оценки вагоноремонтного предприятия (ИОВРП). Она проектируется на основе общего подхода системы сбалансированных показателей. Сначала выбираются первичные показатели и их нормативные значения, определяющие желательное состояние предприятия. Далее эти показатели группируются по областям деятельности предприятия. В каждой группе формируются локальная оценка и ранг в данной области деятельности. Локальные ранги объединяются в промежуточные ранги с помощью матрицы свертки (МС), представляющей собой таблично заданную функцию, с помощью которой сворачиваются два ранга. Ранг интегральной оценки ВРП определяется путем объединения промежуточных рангов с помощью МС.

Схема формирования ИОВРП показана на рис. 3. Показатели деятельности ВРП объединены в три группы: производственная, финансовая и кадровая. Локальные оценки показателей в производственной, кадровой и финансовой областях определяются с помощью адаптивного механизма оценки и ранжирования (АМОР) [5].

Локальная оценка производственной деятельности базируется

на выполнении плановых заданий по ремонту вагонов собственности ОАО «РЖД» и промышленных предприятий — на объемах выпуска приведенной продукции (с учетом количества и типов отремонтированных вагонов и запасных частей). Кроме того, применяется коэффициент качества, показывающий эффективность использования в производстве научно-технических достижений и передового опыта, а также наличие брака в работе. Локальные оценки и ранги по объему выпуска получают с помощью АМОР приведенной продукции (АМОР-ПП), а качества — АМОР качества ремонта.

Локальная оценка в области кадровой политики определяется соответствием контингента номенклатуре специальностей, необходимых для проведения работ, и должностным ставкам, а также коэффициентом безопасности, характеризующимся трудовой дисциплиной (количеством увольнений, взысканий, наградений, поощрений), отношением исполнителей к выполнению работ, психологической атмосферой на предприятии. Локальную оценку по кадрам получают с помощью АМОР безопасности и АМОР контингента ремонта.

Локальная оценка в области финансов определяется прибылью и рентабельностью ВРП. Локальную оценку по прибыли получают с помощью противозатратного адаптивного механизма оценки и ранжирования прибыли (ПАМП). Рентабельность вагоно-

ремонтного производства — это отношение балансовой прибыли к сумме затрат по произведенной продукции. Рентабельность рассчитывается по отдельным участкам, видам ремонта и в целом по предприятию. Локальную оценку по рентабельности получают с помощью АМОР рентабельности вагоноремонтного производства.

С помощью МС формируются промежуточные ранги производственной и финансовой деятельности, а также промежуточный ранг кадров (МС 1, 2 и 3 на рис. 3). Промежуточную оценку финансовой деятельности получают объединением оценок прибыли и рентабельности. Промежуточную оценку в области кадров — сверткой локальных оценок безопасности и соответствием контингента номенклатуре специальностей, необходимых для проведения работ, и должностным ставкам. Промежуточную оценку производственной деятельности определяют объединением локальных оценок объема выпуска и прогрессивности.

Далее определяется оценка производственно-хозяйственной деятельности (МС 4 на рис. 3), объединяющая локальные ранги в производственной и кадровой областях. Значение МС 4 определяется следующим образом. За базовую берется оценка производственной деятельности, которая корректируется (по усмотрению руководства) в зависимости от ранга оценки кадров. Например, четвертый ранг оценки кадров улучшает базовые

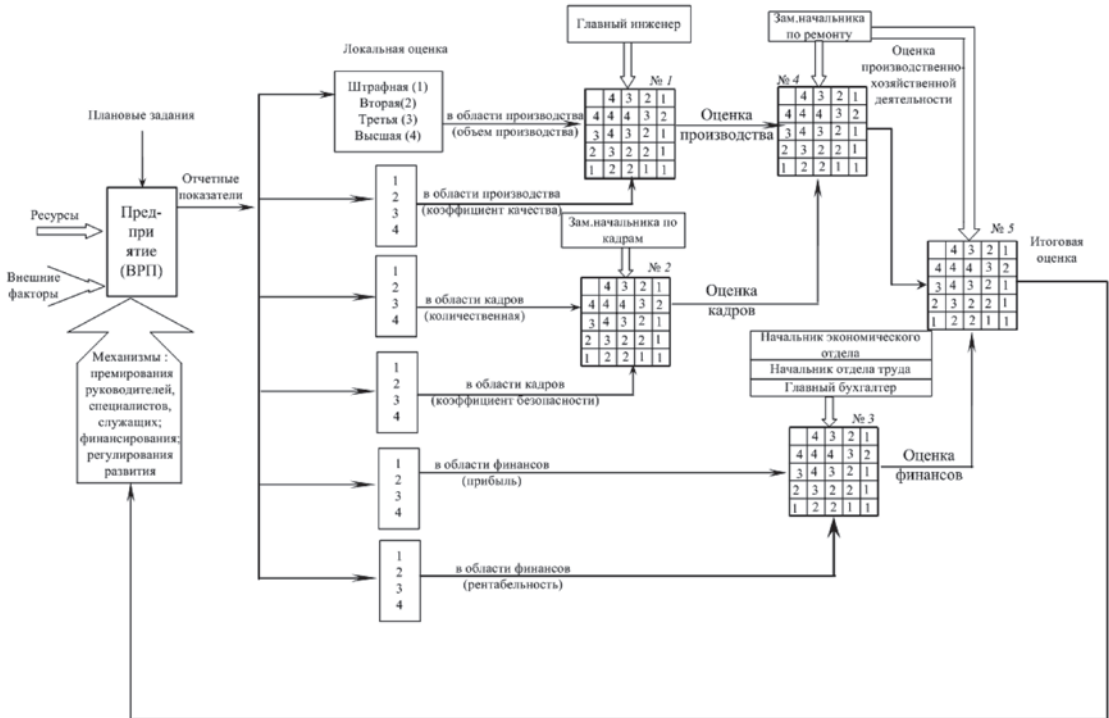


Рис. 3. Схема формирования ИОВРП

уровни на одну позицию, третий оставляет их без изменения, второй ухудшает на одну позицию и первый ухудшает на две позиции. Формирование интегральной оценки осуществляется с помощью МС 5 (см. рис. 3).

Процедуры ИОВРП иерархически упорядочены так, что лицо, принимающее решение (ЛПР), может анализировать окончательный и промежуточные результаты производственно-хозяйственной и финансово-экономической деятельности вплоть до исходных данных. ЛПР может определить оценку ВРП, участка, работника в той или иной области, выявить слабое звено. Исходя из достигнутых в предшествующие пе-

риоды показателей и экспертной оценки перспективы ЛПР намечает стратегические и тактические цели, в том числе годовой и полугодовой финансовый планы, нормативы рентабельности.

Промежуточная оценка финансовой деятельности используется для стимулирования начальника экономического отдела, главного бухгалтера, начальника отдела труда и заработной платы. Промежуточную оценку производственной деятельности используют для стимулирования главного инженера, начальника производственно-технического отдела. Промежуточную оценку в области кадров используют для стимулирования заместителя начальника

по кадрам и социальным вопросам. Промежуточная оценка производственно-хозяйственной деятельности используется для стимулирования заместителя начальника по ремонту.

Изменения производственных отношений в стране и внутриорганизационных отношений в ОАО

«РЖД» требуют создания механизмов организации вагоноремонтного комплекса, адаптированных к изменениям внешней и внутренней сред. Такие механизмы позволяют принимать в реальном времени решения, повышающие эффективность вагоноремонтного производства. ■

## Литература

1. Устич П. А., Иванов А. А., Митюхин В. Б. Концепция интеллектуального управления // Мир транспорта. М.: МГУПС (МИИТ), 2008. № 3. С. 4–11. ISSN 1992–3252.

2. Устич П. А., Иванов А. А., Мышков В. Г., Садчиков П. И. Управление транспортом на основе математического управления // Железнодорожный транспорт: Научно-теоретический технико-экономический журнал / Орган Министерства путей сообщения. М.: Транспорт. ISSN 0044–4448. 2008. № 7. С. 39–42 (Шифр Ж1/2008/7).

3. Сай В. М., Фомин В. К. Моделирование системы взаимоотношений железной дороги с хозяйствующими субъектами // Транспорт Урала, 2008. № 4. С. 15–19. ISSN 1815–9400.

4. Сирина Н. Ф. Развитие вагонного хозяйства на основе самоорганизации // Транспорт: наука, техника, управление. Научный информационный сборник РАН ВИНТИ, 2006. Вып. 11. С. 40–43. ISSN 0236–1914.

5. Сирина Н. Ф. Организация вагоноремонтного производства на основе адаптивных механизмов // Транспорт Урала, 2008. № 4. С. 10–14. ISSN 1815–9400.

*Статья сдана в редакцию 16 июля 2009 г.*

В. К. Фомин

## Оценка и ранжирование предприятий по степени приемлемости сотрудничества с железной дорогой

### Общая формализация постановки задачи и итоговой оценки

Имеется некоторое количество однопрофильных предприятий  $P_1, P_2, \dots, P_n$ , производящих продукцию или оказывающих услуги фиксированного типа  $i$ ; железная дорога для содержания инфраструктуры и организации перевозочного процесса нуждается в таких предприятиях. На основании экономических, организационно-правовых, статистических и различных случайных сигнальных показателей указанных предприятий их нужно оценить и ранжировать по степени пригодности и приемлемости для экономического сотрудничества с железной дорогой.

В дальнейшем это позволит вырабатывать практические рекомендации для принятия и поддержки управленческих решений по вопросам взаимодействия железной дороги с поставщиками продукции и услуг. Другими словами, с помощью предлагаемой методики можно:

— формировать и организовать информацию о предприя-

тиях-партнерах, с которыми работает железная дорога, и проектировать (прогнозировать) потребный образ предприятий для эффективного взаимодействия с ними;

— получать единую консолидированную оценку предприятий партнеров железной дороги;

— ранжировать однопрофильные предприятия по степени приемлемости сотрудничества с ними с точки зрения интересов железной дороги;

— формировать предварительные выводы-рекомендации для руководителей железной дороги о принципиальной возможности и степени приемлемости осуществления взаимодействия с конкретным предприятием.

Настоящая методика применяется лишь по отношению к группам однопрофильных предприятий  $P_1, P_2, \dots, P_n$ , производящих схожую продукцию и оказывающих аналогичные услуги.

Методика предполагает вычисление для каждого из предприятий  $P_i$  четырех основных сравнительных консолидированных показателей:

Сведения об авторе:

**Валерий Константинович Фомин**, первый заместитель начальника Свердловской железной дороги — филиала ОАО «Российские железные дороги». Тел.: (343) 358-44-01.

1)  $k_{пр.}$  — консолидированный сравнительный показатель экономической привлекательности для железной дороги предприятия  $P_i$  (включает в себя группу экономических факторов и характеристик рассматриваемого предприятия и формируется на основании группы экономических показателей предприятия-партнера  $P_i$ );

2)  $k_{уст.}$  — консолидированный сравнительный показатель устойчивости предприятия  $P_i$  (эта характеристика отражает степень надежности и устойчивости предприятия по отношению к различным внешним и внутренним воздействиям со стороны рынка, директивно-распорядительных структур и т. п.);

3)  $k_{орг.}$  — консолидированный сравнительный показатель организационно-правового статуса предприятия  $P_i$  (характеризует степень приемлемости организационно-правовой формы предприятия с точки зрения интересов железной дороги для выстраивания взаимоотношений с ним);

4)  $k_{сигн.}$  — консолидированный сигнальный показатель лояльности и степени доверия железной дороги к предприятию  $P_i$  (формируется на основе математической обработки случайных сигналов и текущей информации о нем (в том числе и непроизводственного характера).

После вычисления консолидированных показателей  $k_{пр.}$ ,  $k_{уст.}$ ,  $k_{орг.}$ ,  $k_{сигн.}$  формируются три основных оценочных коэффициента предприятия  $P_i$  и на их основе — итоговая оценка предприя-

тия  $P_i$ . На основании полученных цветовых оценок выполняется ранжирование предприятий  $P_1, P_2, \dots, P_n$  и формируются практические рекомендации по выработке управленческих решений и ведению взаимодействия с этими предприятиями.

Общая схема зависимостей между исходными факторами, сравнительными консолидированными показателями и оценочными коэффициентами предприятия  $P_i$ , а также последовательность их формирования из четырех групп исходных данных показаны на рис. 1.

Информация об оцениваемых предприятиях  $P_1, P_2, \dots, P_n$ , необходимая для исполнения алгоритмов методики, собирается из открытых источников. Это:

— юридические и правоустанавливающие документы, устав предприятия;

— поисковые системы Интернета;

— сайт и информационно-рекламная продукция предприятия;

— опубликованные отчеты о деятельности;

— информация из налоговых органов о деятельности предприятия;

— информация от кредитных организаций, банков и фондов, кредитная история предприятия;

— информация, полученная по запросам на самом предприятии (по требованию);

— возможные статистические данные о работе предприятия с другими партнерами;

— информация, полученная по запросам к партнерам пред-

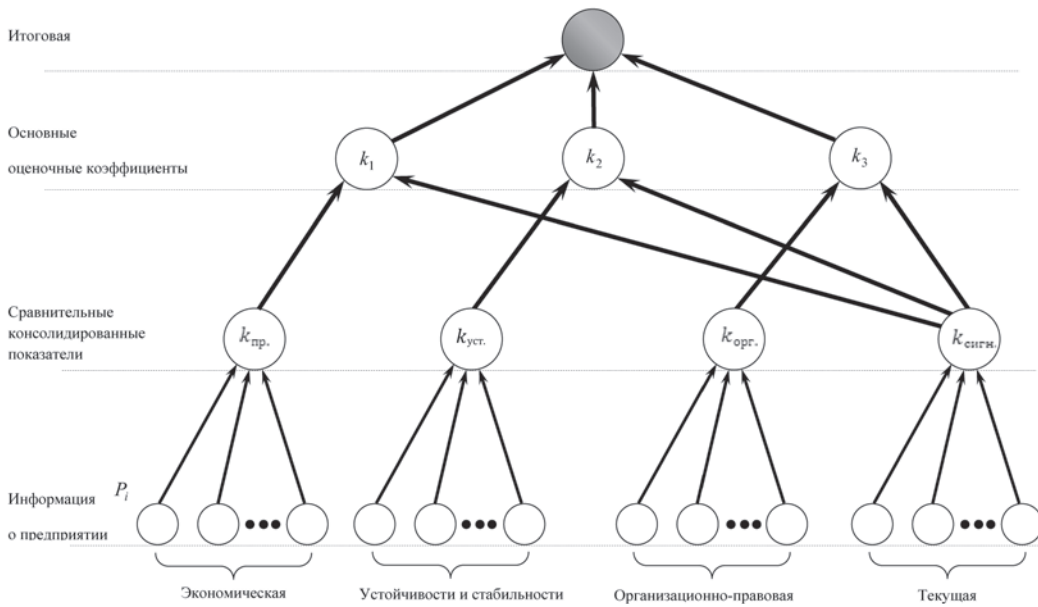


Рис. 1. Схема формирования итоговой оценки предприятия

приятия. В особом ряду стоит сигнальная информация (реклама и информационная обеспеченность предприятия, информация о форс-мажорных ситуациях на предприятии, информация о событиях на предприятии из открытой печати). Сигнальная информация собирается и структурируется по мере поступления.

Предлагаемая методика допускает использование, обработку и получение итогового результата лишь по части исходной информации. При этом методика предоставляет возможность оценить и ранжировать предприятия даже по неполному списку исходной информации. Это означает, что не вся информация из приведенных списков обязательна к получению и последующей обработке и отсутствие части каких-либо параметров оцениваемых предприятий не является препятст-

вием к исполнению предложенной методики.

Разумеется, в случае неполной информации достоверность итоговой оценки предприятий  $P_1, P_2, \dots, P_n$ , полученная в результате исполнения методики, может снижаться.

В настоящей статье изложена только методика вычисления показателя организационно-правового статуса предприятия  $k_{орг.}$

### Вычисление показателя организационно-правового статуса предприятия

Источником организационно-правовой информации о предприятии  $P_i, 1 \leq i \leq n$  являются учредительные документы, документы по сертификации и лицензированию, организационно-правовые, организационно-договорные, другие документы и сведения

о предприятии, носящие открытый правовой характер.

В группу организационно-правовой информации для каждого предприятия  $P_i$ ,  $1 \leq i \leq n$  могут входить следующие показатели.

1. Организационно-правовая форма предприятия,  $k_{\text{оп}}^{(i)}$ .

Коэффициент  $k_{\text{оп}}^{(i)}$  вычисляется на основании предварительного ранжирования по степени приемлемости для железной дороги взаимодействия с предприятиями различных организационно-правовых форм. Каждой организационно-правовой форме рассматриваемого предприятия  $P_i$  приписывается численный показатель  $v_i$  — вес данной формы. Чем больше приписываемый вес, тем нежелательней взаимодей-

ствие железной дороги с таким предприятием (предприятием такой организационно-правовой формы).

Подобное предварительное ранжирование (априорное присвоение весов) осуществляется на основании обобщения опыта взаимодействия, обработки статистических материалов сотрудничества железной дороги с предприятиями различных организационно-правовых форм, а также на основании экспертных оценок.

Результаты априорного ранжирования организационно-правовых форм организованы в таблице 1.

На основании таблицы 1 предприятию  $P_i$  в соответствии с его

Таблица 1

Организация ранжирования организационно-правовых форм

| Организационно-правовая форма.<br>Другие характеристики предприятия $P_i$ | Вес $v_i$      |
|---------------------------------------------------------------------------|----------------|
| Дочернее предприятие ОАО «РЖД»                                            | $v_1 = 1,0$    |
| Зависимое предприятие ОАО «РЖД»                                           | $v_2 = 1,1$    |
| Частные компании, прошедшие IPO                                           | $v_3 = 1,4$    |
| Саморегулирующееся предприятие                                            | $v_4 = 1,5$    |
| Предприятие финансово-промышленной группы                                 | $v_5 = 1,5$    |
| Открытое акционерное общество                                             | $v_6 = 1,7$    |
| Закрытое акционерное общество                                             | $v_7 = 1,7$    |
| Общество с дополнительной ответственностью                                | $v_8 = 1,8$    |
| Общество с ограниченной ответственностью                                  | $v_9 = 2,3$    |
| Товарищество на вере                                                      | $v_{10} = 2,5$ |
| Государственное унитарное предприятие                                     | $v_{11} = 3,0$ |
| Потребительский кооператив                                                | $v_{12} = 3,5$ |
| Индивидуальный предприниматель                                            | $v_{13} = 5,0$ |
| Другие характеристики предприятий<br>.....                                |                |

организационно-правовой формой и другими характеристиками, присваивается весовой коэффициент  $v_i$ . Тогда показатель организационно-правовой формы предприятия:

$$k_{\text{ОП}}^{(i)} = \frac{1}{v_i}.$$

В дальнейшем, при накоплении опыта использования настоящей методики, необходимо уточнить предложенные на начальном этапе априорные весовые коэффициенты  $v_i$  предприятий.

2. Наличие вышестоящих управленческих уровней,  $k_{\text{УУ}}^{(i)}$ .

Коэффициент  $k_{\text{УУ}}^{(i)}$  количественно оценивает на предприятии  $P_i$  уровень самостоятельности первого руководителя в принятии управленческих решений.

Коэффициент  $k_{\text{УУ}}^{(i)}$  самостоятельности и скорости принятия

решений на предприятии  $P_i$  вычисляется по следующей формуле:

$$k_{\text{УУ}}^{(i)} = \frac{1}{(n_{\text{ОПФ}}^{(i)} + n_{\text{ОЭФ}}^{(i)} + 1)},$$

где  $n_{\text{ОПФ}}^{(i)}$  — количество внутренних управленческих уровней (с которыми требуется согласовывать некоторые управленческие решения), характеризующих организационно-правовую форму;  $n_{\text{ОЭФ}}^{(i)}$  — количество внешних управленческих уровней (с которыми требуется согласовывать некоторые управленческие решения), характеризующих организационно-экономическую форму.

Некоторые значения  $n_{\text{ОПФ}}^{(i)}$  и  $n_{\text{ОЭФ}}^{(i)}$  в зависимости от организационно-правовой и организационно-экономической форм приведены в таблице 2.

Так, например, если открытое акционерное общество является

Таблица 2

Значения  $P_i$  и  $n_{\text{ОЭФ}}^{(i)}$  в зависимости от организационно-правовой и организационно-экономической форм

| Организационно-правовая (ОПФ) и организационно-экономическая форма (ОЭФ) | $n_{\text{ОПФ}}^{(i)}$ | $n_{\text{ОЭФ}}^{(i)}$ |
|--------------------------------------------------------------------------|------------------------|------------------------|
| Открытое акционерное общество                                            | 2                      | —                      |
| Закрытое акционерное общество                                            | 1                      | —                      |
| Дочернее предприятие ОАО «РЖД»                                           | —                      | 1                      |
| Частные компании, прошедшие IPO                                          | —                      | 0                      |
| Саморегулируемое предприятие                                             | —                      | 1                      |
| Общество с ограниченной ответственностью                                 | —                      | 1                      |
| Индивидуальный предприниматель                                           | 0                      | —                      |
| Потребительский кооператив                                               | 1                      | —                      |
| Государственное унитарное предприятие                                    | 2                      | —                      |
| .....                                                                    |                        |                        |
| Другие характеристики                                                    |                        |                        |

дочерним предприятием ОАО «РЖД», то

$$k_{yy}^{(i)} = \frac{1}{(2+1+1)} = 0,25.$$

Для закрытого акционерного общества входящих в ассоциацию саморегулируемых предприятий:

$$k_{yy}^{(i)} = \frac{1}{(1+1+1)} = 0,33.$$

3. История работы предприятия  $P_i$ ,  $1 \leq i \leq n$  с МПС, ОАО «РЖД», железными дорогами,  $k_{и}^{(i)}$ .

Параметр, характеризующий продолжительность работы предприятия  $P_i$ ,  $1 \leq i \leq n$  с МПС, ОАО «РЖД», железными дорогами можно определить следующим образом:

$$k_{и}^{(i)} = 1 - \frac{1}{(t_{ц}^{(i)} + t_{с}^{(i)} + 1)},$$

где  $t_{ц}^{(i)}$  — продолжительность (цикл) функционирования предприятия  $P_i$  в составе МПС, ОАО «РЖД», железных дорог, лет. Всегда  $t_{ц}^{(i)} \leq 5$ ;  $t_{с}^{(i)}$  — продолжительность непрерывного и эффективного сотрудничества предприятия  $P_i$  с ОАО «РЖД» и его структурными подразделениями, лет.

4. Наличие холдинговых отношений,  $k_{хо}^{(i)}$ .

Параметр, характеризующий наличие холдинговых отношений, зависит от их типа (таблица 3).

Таблица 3

| Холдинговые отношения            | $k_{хо}^{(i)}$ |
|----------------------------------|----------------|
| Имущественные                    | 1              |
| Имущественно-договорные          | 0,75           |
| Договорные                       | 0,5            |
| Отсутствие холдинговых отношений | 0              |

5. Отношение предприятия к сертификации продукции,  $k_{сп}^{(i)}$ .

Показатель, характеризующий отношение предприятия  $P_i$ ,  $1 \leq i \leq n$  к сертификации продукции можно определить по выражению

$$k_{сп}^{(i)} = 1 - \frac{1}{(q_{оп}^{(i)} + q_{сп}^{(i)} + 1)},$$

где  $q_{оп}^{(i)}$  — объем сертифицированной продукции, % от общего объема реализации;  $q_{сп}^{(i)}$  — объем сертифицированной продукции для нужд железнодорожного транспорта, % от общего объема реализации.

6. Наличие на предприятии  $P_i$ ,  $1 \leq i \leq n$  системы менеджмента качества (СМК),  $k_{смк}^{(i)}$ .

При наличии СМК  $k_{смк}^{(i)} = 1$ , при отсутствии —  $k_{смк}^{(i)} = 0$ .

7. Участие предприятия в профессиональных объединениях, организациях и союзах, некоммерческих партнерствах, проектах,  $k_{оо}^{(i)}$ .

Показатель, характеризующий участие в различных общественных и профессиональных объединениях определяется по формуле

$$k_{оо}^{(i)} = 1 - \frac{1}{(n_{оо}^{(i)} + 1)},$$

где  $n_{00}^{(i)}$  — количество общественных и профессиональных объединений, в которых участвует предприятие.

Пример организации организационно-правовой информации о предприятии  $P_i$ ,  $1 \leq i \leq n$  по приведенным показателям дан в таблице 4.

Консолидированный сравнительный показатель организационно-правового статуса предприятия  $P_i$ , характеризующий степень приемлемости его организационно-правовой формы с точки зрения интересов железной дороги для выстраивания с ним взаимоотношений, определяется по формуле

$$k_{00}^{(i)} = \alpha_1 k_{00}^{(i)} + \alpha_2 k_{yy}^{(i)} + \alpha_3 k_{и}^{(i)} + \alpha_4 k_{хо}^{(i)} + \alpha_5 k_{сп}^{(i)} + \alpha_6 k_{смк}^{(i)} + \alpha_7 k_{оо}^{(i)}$$

где  $\alpha_1, \dots, \alpha_j, \dots, \alpha_7$  — весовые коэффициенты, подчиненные для всех  $P_i$ ,  $1 \leq i \leq n$  условию

$$\sum_{j=1}^7 \alpha_j = 1.$$

Значения весовых коэффициентов, принятые в настоящем варианте методики, представлены в таблице 5.

Таблица 5

Весовые коэффициенты организационно-правовых показателей

| $\alpha_1$ | $\alpha_2$ | $\alpha_3$ | $\alpha_4$ | $\alpha_5$ | $\alpha_6$ | $\alpha_7$ |
|------------|------------|------------|------------|------------|------------|------------|
| 0,13       | 0,14       | 0,24       | 0,20       | 0,13       | 0,09       | 0,07       |

Подобное распределение весов соответствует значимости рассматриваемых групп факторов, является первоначальным и может быть перераспределено. Изменять и корректировать

Таблица 4

Организационно-правовая информация по предприятию  $P_i$ ,  $1 \leq i \leq n$

| Показатель                                                                                                                        | Значение для предприятий |       |     |       |
|-----------------------------------------------------------------------------------------------------------------------------------|--------------------------|-------|-----|-------|
|                                                                                                                                   | $P_1$                    | $P_2$ | ... | $P_n$ |
| Организационно-правовая форма предприятия, $k_{00}^{(i)}$                                                                         |                          |       |     |       |
| Наличие вышестоящих управленческих уровней, $k_{yy}^{(i)}$                                                                        |                          |       |     |       |
| История работы с МПС, ОАО «РЖД», железными дорогами, $k_{и}^{(i)}$                                                                |                          |       |     |       |
| Наличие холдинговых отношений, $k_{хо}^{(i)}$                                                                                     |                          |       |     |       |
| Объем сертифицированной продукции, $k_{сп}^{(i)}$                                                                                 |                          |       |     |       |
| Наличие системы менеджмента качества, $k_{смк}^{(i)}$                                                                             |                          |       |     |       |
| Участие предприятия в профессиональных объединениях, организациях и союзах, некоммерческих партнерствах, проектах, $k_{оо}^{(i)}$ |                          |       |     |       |
| .....                                                                                                                             |                          |       |     |       |
| Другие показатели                                                                                                                 |                          |       |     |       |

значения весовых коэффициентов  $\alpha_1, \dots, \alpha_j, \dots, \alpha_7$  необходимо в соответствии с накопленным практическим опытом использования настоящей методики и/или в соответствии с целями и интересами оценок, проводимых в конкретный момент железной дорогой и обусловленных ее производственными интересами.

Предложенная методика вычисления показателя организационно-правового статуса предприятия — это составная часть комплексной методики оценки и процедуры ранжирования однопрофильных предприятий, оказывающих услуги и поставляющих продукцию для организации перевозочного процесса на железных дорогах.

Методика является научно обоснованным инструментом для выработки и поддержки управленческих решений руководителей железной дороги по определению партнеров и последующего экономического взаимодействия с ними.

Предлагаемая методика рассчитана на использование в руко-

водящем аппарате железной дороги, в конкурсных и договорных отделах, отделах экономического взаимодействия и иных подразделениях управленческого аппарата, занимающихся подготовкой и принятием управленческих решений по реализации экономического взаимодействия (заключение договоров, размещение заказов, иное экономическое партнерство).

Методика направлена на снижение затрат и рисков железной дороги в процессах взаимодействия, на повышение эффективности и надежности сотрудничества железной дороги с предприятиями, поставляющими продукцию и оказывающими услуги для содержания инфраструктуры и организации перевозочного процесса. Железная дорога, используя предложенную методику, может существенно сократить расходы за счет снижения рисков и затрат на внешнее экономическое взаимодействие, за счет оптимизации процессов экономического сотрудничества с поставщиками продукции и услуг. ■

## Литература

1. Фомин В. К. Моделирование процессов взаимодействия железной дороги с внешним экономическим окружением. Графоаналитическая модель взаимодействия // М-лы Всеросс. научн.-техн. конф. «Транспорт, наука, бизнес: проблемы и стратегия развития», посв. 130-летию СвЖД.: Сб. научн. тр. Екатеринбург: УрГУПС, 2008. С. 121–122. ISBN 978-5-94614-105-5.

2. Сай В. М., Фомин В. К. Моделирование системы взаимоотношений железной дороги с хозяйствующими субъектами / В. М. Сай, В. К. Фомин // Транспорт Урала. 2008. № 4 (19). С. 15–19. ISSN 1815-9400.

*Статья сдана в редакцию 10 июня 2009 г.*

*Р. Н. Ковалев*

## Использование концепций SOA в оптимизации транспортных систем предприятий

**Н**ормальная работа предприятия лесной отрасли становится возможной только при наличии специальной транспортной системы лесного предприятия (ТСП). Это сеть дорог различных типов (первичные и основные технологические пути, магистрали), обеспечивающая освоение всей производственной площади. Формирование такой дорожной сети суть процесс ресурсоемкий и капиталоемкий, требующий привлечения значительных временных и материальных затрат. Поэтому проект строительства ТСП должен удовлетворять критериям оптимальности и рациональности.

При работе над проектом используются методики планирования и оптимизации транспортных систем, учитывающие технические, производственно-экономические и экологические особенности деятельности лесных предприятий. Современные модели такого строительства требуют больших объемов вычислительных операций, для чего применяется компьютерная систе-

ма поддержки принятия решений (КППР) [1]. Программный продукт «Диалоговая интегрированная система планирования ТСП» (ДИСТСП) стал передовым достижением в области САПР по планированию транспортных систем предприятий на основе средств математического моделирования.

Последние достижения в области вычислительной техники способствовали развитию имитационного моделирования и вычислительного эксперимента. Каждый вычислительный эксперимент основывается как на математической модели, так и на математических методах, развивающихся вместе с развитием ЭВМ. Имитация — численный метод, применяемый в случае, когда нет аналитических способов исследования какой-либо модели. Модель, которой нужен имитационный анализ, должна удовлетворять требованиям: большое число координат вектора управляющих переменных  $X_k$  и их функций; большое количество связей между элементами модели; нелинейность;

---

Сведения об авторе:

**Рудольф Николаевич Ковалев**, доктор технических наук, заведующий кафедрой «Экономика и управление на предприятии транспорта» УГЛТУ. E-mail: rkv@usfeu.ru.

ограничения разных типов; реакции, зависящие от времени [2].

Этим требованиям отвечает математическая модель ТСЛП [1]. В данном случае вычислительный эксперимент оказывается единственным возможным средством при исследовании таких сложных систем, на развитие которых в реальных условиях нужны длительное время и огромные финансово-материальные ресурсы.

В настоящее время при моделировании транспортных систем предприятий, как правило, используют линейные модели. Такие модели описывают процессы, идущие одинаково при разных внешних воздействиях. С увеличением интенсивности изменения в поведении системы остаются количественными, новых качеств не возникает. Но для реальных процессов функционирования и развития сложных транспортных систем характерна нелинейность, что означает возможность качественных изменений решений при непрерывном изменении параметров. В этом случае приходится полагаться лишь на численные методы, реализуемые на ЭВМ.

Один из главных вопросов вычислительного эксперимента: способна ли имитационная модель прогнозировать поведение изучаемой системы? Степень совпадения результатов имитационного эксперимента с наблюдаемыми данными можно исследовать двумя способами: по прошлым данным (ретроспективное планирование) и по проверке

прогнозов модели (перспективное планирование). Хотя данных о развитии, например ТСЛП, в прошлом достаточно, предположение, что различия в значениях выходных показателей в какой-то момент объясняются, главным образом, воздействием управляющих переменных  $X_k$ , вообще говоря, не оправдано. В этом случае ряды были получены не в управляемом эксперименте, поэтому главной причиной различий между выходными показателями исследуемой системы может оказаться случайное возмущение, и не стоит доверять оценкам решений, полученных на основе данных о развитии системы в прошлом. Тогда рассматривалась только одна стратегия планирования транспортной системы и данные за прошлые годы связаны с единственной траекторией ее развития, являющейся результатом воздействия этой стратегии. Это обстоятельство не позволяет сравнить с фактически данными результаты расчетов при других стратегиях. Таким образом, при помощи данных прошлых лет нельзя проверить, способна ли модель указать лучшую стратегию.

Косвенным методом проверки модели может быть сравнение текущих результатов использования некоторой стратегии с соответствующим прогнозом имитационной модели. Прогнозы модели связаны с целью, для осуществления которой строилась модель, а предположения, на которых она основана, связаны с целью через

влияние на этот прогноз, то окончательное решение вопроса о пригодности модели должно основываться на результатах ее прогнозов.

Организационно ДИСТСЛП состоит из баз данных, включающих характеристики лесного фонда, парка трелевочных машин, рабочего парка автопоездов, погрузочных машин, дорожных одежд, земляного полотна, нормативно-справочных коэффициентов, СУБД и специального программного обеспечения для оптимального планирования ТСЛП. Она позволяет определить рациональную динамику развития ТСЛП по конфигурации транспортной сети, параметрам дорожных конструкций и подвижного состава на однокритериальной и многокритериальной основе с выделением области Парето. Критерий выбирает проектировщик исходя из целевой направленности лесопользования: промышленные лесозаготовки, ведение лесного хозяйства и т. д. Планирование ТСЛП может вестись как от достигнутого уровня развития транспортной сети (действующие предприятия), так и от нулевого уровня (новые предприятия). Математический аппарат, заложенный в ДИСТСЛП, позволяет вести поиск оптимальных решений в условиях любых видов рубок и вариантов структур существующей сети, включая дороги общего пользования.

В математической модели ТСЛП участки транспортной сети являются дугами графа. Вершины гра-

фа могут быть как в точках пересечения или примыкания технологических путей и магистралей, так и в некоторых промежуточных точках. Так как каждый участок транспортной сети может иметь свою дорожную конструкцию (ДК), то он характеризуется вектором (типом покрытия, числом слоев, толщиной каждого слоя, шириной покрытия, числом полос). Эта ДК называется исходной и обозначается как  $P_0$ .

По каждому технологическому пути вывозка производится некоторым количеством транспортных средств различных марок, обозначаемым как множество  $A_0$ . В формализованном виде  $\Gamma(t) = \{y_{ij}(t) —$  функция, значениями которой является ориентированный граф (орграф). Самым простым способом задания орграфа является списковый, то есть заданный перечислением дуг с указанием начальной и конечной вершин:  $(ij) —$  дуга графа с начальной вершиной  $i$  и конечной вершиной  $j$ . Для каждой дуги  $(i, j)$  графа известны следующие характеристики: длина дуги; факт существования дуги;  $X_{ij}(t) = \{1, \text{ если дуга } (i, j) \text{ существует; } 0, \text{ если дуга } (i, j) \text{ не существует; соответствие дуги технологическому пути или магистрали; перечень кварталов, тяготеющих к } n\text{-му технологическому пути.}$

Все эти данные для дуги  $(i, j)$  образуют вектор  $y_{ij}(t)$ . Очевидно, что все характеристики графа  $\Gamma(t)$  известны заранее, за исключением самого факта существования дуги, то есть значений  $x_{ij}(t)$ .

$\Pi(t) = \{p_{ij}(t)\}$  — функция, значениями которой является набор вектор-функций  $p_{ij}(t)$  с целочисленными (тип покрытия, количество и материалы слоев, число полос, сроки капитальных ремонтов) и непрерывными (толщина и ширина покрытия) аргументами.

$A(t) = \{a_1(t)\}$  — вектор-функция, для которой  $a_1(t)$  представляет собой относительное число машин каждой марки на предприятии.

Таким образом, процесс планирования транспортной сети с учетом очередности строительства, реконструкции дорожных одежд и изменения количества и качества транспортных средств по этапам планирования представлен как процесс изменения во времени тройки  $(\Gamma(t), \Pi(t), A(t))$ ,  $0 \leq t \leq T$ .

Программно система реализована на языке «Borland C++2.0» с использованием библиотек «ZING Interface Library» и CODBASE. Для организации работы с базами используется формат файлов \*.dbf.

Современное развитие информационных технологий позволяет сделать новый шаг в направлении производительности, доступности и платформенезависимости подобных разработок. Современная архитектура системы поддержки принятия решений представляет собой взаимодействие основных блоков: база знаний; основной программный модуль (модель); база данных [2].

Такая структура приложения позволяет использовать для разработки системы концепции сер-

вис-ориентированную архитектуру (SOA) [3].

Основная идея SOA — собрать функциональные возможности крупномодульных приложений в службах, которые: а) взаимодействуют между собой с помощью стандартных интерфейсов (имеют стандартный интерфейс взаимодействия) и б) позволяют крупномодульным приложениям прозрачно работать на разных программно-аппаратных платформах и между границами организаций. Можно определить архитектуру SOA как слабосвязанную, с набором компонент, достаточно адаптированных для использования клиентами. Доступ к компонентам осуществляется через информационную сеть в соответствии с политикой, точно определенной этими компонентами. Хотя большинство определений SOA предписывают при ее реализации использовать именно web-службы, тем не менее SOA можно реализовать используя любую основанную на службах технологию. В концепции SOA логические блоки системы поддержки принятия решений можно выделить в независимые самодостаточные сервисы. Так, база данных (БД) предоставляет необходимую информацию (используется системой принятия решений). Специализированный НИИ либо проектная организация может выступать гарантом и экспертом в БД общего и закрытого использования. При дальнейшей научно-исследовательской деятельности специализирован-

ного учреждения существующая информация в базе знаний может быть обновлена либо дополнена в результате новейших исследований и расчетов.

Сервис баз данных позволит унифицировать разрозненную географически и технологически геоинформацию, характеризующую среду деятельности лесного предприятия. Основному модулю отводится роль реализации бизнес-логики приложения, направленной на взаимодействие основных блоков системы поддержки принятия решений и получения необходимых результатов.

В последнее десятилетие произошли значительные изменения в способах восприятия и использования вычислительных ресурсов и услуг. Если раньше было нормально удовлетворять вычислительные потребности через локальные вычислительные платформы и инфраструктуры ограниченного характера (персональ-

ные компьютеры и локальные сети), то сегодня ситуация меняется. Это связано, среди прочих факторов, с увеличением количества пользователей компьютеров и сетевых компонентов, появлением более быстрых и развитых аппаратных средств и все более сложного программного обеспечения. Следствием таких изменений стала возможность эффективного использования широко распределенных ресурсов в широком диапазоне областей применения, в том числе и научных исследованиях. Все более мощные и гибкие вычислительные технологии порождают новые возможности науки в моделировании, анализе данных и формах научного сотрудничества. Ярким примером таких технологий может являться SOA и ее использование в системе поддержки принятия решений при проектировании транспортных систем предприятий. ■

## Литература

1. Ковалев Р.Н. Планирование транспортных систем лесных предприятий в условиях многоцелевого лесопользования / Р.Н. Ковалев, С.В. Гуров. Екатеринбург, Уральская госуд. лесотехнич. академия, 1997. 250 с.
2. Трахтенгерц Э.А. Компьютерная поддержка решений / Э.А. Трахтенгерц. М.: СИНТЕГ, 1998. 241с.
3. <http://www.oasis-open.org/committees/download.php/19679/soa-rm-cs.pdf>.
4. Сервис-ориентированная архитектура. <http://www.iso.ru/journal/articles/374.html>.

*Статья сдана в редакцию 15 августа 2009 г.*

*А. В. Щичко, С. В. Вихарев, С. В. Сизый*

## Организационные процессы в сетях с разделенными интересами: актуальность, постановка задачи, план исследования

Экономика Российской Федерации, несмотря на сменяющиеся друг друга периоды спада и подъема, развивается. А это требует от компании ОАО «РЖД» не только сохранения, но и опережающего увеличения пропускной и провозной способностей магистралей компании, в первую очередь, за счет их реконструкции и строительства новых железных дорог. Отметим, что развитие железнодорожной инфраструктуры более инертно, чем изменение макроэкономических показателей и уж тем более фондовых индексов. Прекращать работы по сохранению и развитию железнодорожной инфраструктуры в периоды спадов — значит, наносить отложенный по времени удар по экономике России.

В результате реформ ОАО «РЖД» сейчас представляет собой крупную холдинговую компанию, в состав которой входят

более ста предприятий и в перспективе их численность будет увеличиваться. Основой компании «РЖД» является находящаяся в ее собственности железнодорожная инфраструктура. Задачи поддержания в надлежащем состоянии и адекватного экономической ситуации развития инфраструктуры вынуждают выстраивать взаимоотношения с множеством хозяйствующих субъектов Российской Федерации и зарубежными партнерами.

Структурные изменения в ОАО «РЖД» привели к тому, что значительную часть работ по обслуживанию инфраструктуры взяли на себя внешние относительно ОАО «РЖД» партнеры, образовав достаточно конкурентную среду. Компания стала центром некоторой планетарной структуры, вызванной к жизни экономическими интересами ее участников [1].

---

Сведения об авторах:

**Александр Васильевич Щичко** — директор ООО «Строительная компания «Уралремстрой». E-mail: info@uralrst.ru.

**Сергей Викторович Вихарев** — ассистент кафедры «Алгебра и дискретная математика» УрГУ. E-mail: sergey.viharev@gmail.com.

**Сергей Викторович Сизый** — кандидат физико-математических наук, доцент кафедры «Алгебра и дискретная математика» УрГУ. E-mail: sergey.siziy@usu.ru.

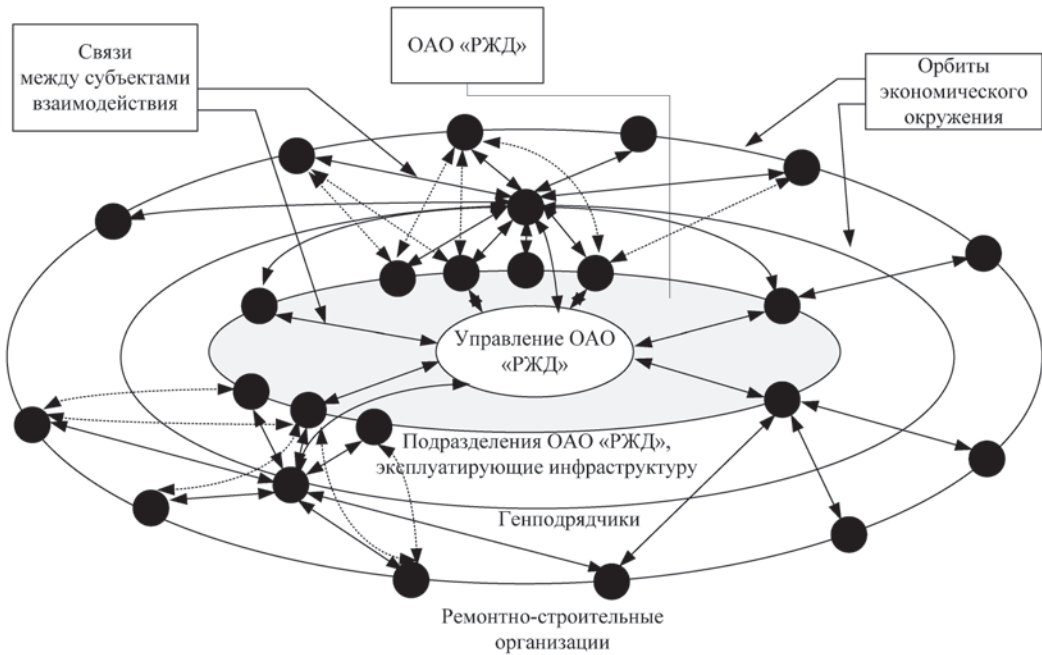


Рис. 1. Планетарная структура взаимодействия субъектов, эксплуатирующих и обслуживающих железнодорожную инфраструктуру, и ремонтно-строительных организаций

Элементы планетарной структуры [1] имеют выраженные социально-экономические интересы, отличные от интересов элементов, расположенных на других орбитах (рис. 1).

Так, например, ОАО «РЖД» заинтересовано в повышении доходности и капитализации компании, эксплуатирующие инфраструктуру подразделения отвечают за ее надлежащее состояние, подрядные же организации заинтересованы в извлечении прибыли и получении новых заказов. Даже внутри ОАО «РЖД» у разных подразделений (скажем, у Департамента финансов и железной дороги) в краткосрочной перспективе — противоположные интересы: железная дорога

заинтересована в получении максимальных средств на содержание инфраструктуры, а Департамент — в экономии затрат.

Таким образом, взаимные интересы элементов приведенной планетарной организационной структуры имеют разную направленность. Увязка всех элементов, входящих в структуру, с точки зрения их разделенных интересов (разделение интересов в данной структуре происходит по орбитам), — проблема актуальная и малоизученная.

Цель предстоящих исследований состоит в обосновании эффективных путей организационного взаимодействия в структурах (сетях) с разделенными интересами по схеме «заказчик (владелец) —

генподрядчик — исполнитель — эксплуатирующие инфраструктуру подразделения (потребитель)».

Отметим общность такой постановки задачи для различных секторов экономики. Совершенно ясно, что подобные изображенной на рис. 1. структуре и соответствующее ей разделение (разрыв) интересов характерны для многих видов транспорта. Любой вид транспорта (автомобильный, водный транспорт с дамбами и каналами, воздушный транспорт с инфраструктурой аэропортов и диспетчерской сетью, газотранспортная система) образует свою планетарную структуру обслуживания и эксплуатации инфраструктуры.

Структуры с разделенными интересами формируются и в нетранспортных системах, например, в системе здравоохранения. Центром такой структуры можно считать здоровье нации, выраженное в некоторых макропоказателях (продолжительность жизни, качество жизни и пр.). В системе здравоохранения заказчик (владелец) — государство, генподрядчик — фонды медицинского страхования, исполнители — медицинские учреждения, потребитель медицинских услуг — население. Таким образом, задача обоснования эффективных путей организационного взаимодействия в структурах (сетях) с разделенными интересами выходит далеко за рамки железнодорожного транспорта.

Подчеркнем, что при всей общности постановки задачи объек-

том предстоящего исследования является обобщенная структура обслуживания и развития именно железнодорожной инфраструктуры. Применимость получаемых результатов в других структурах (сетях) с разделенными интересами — тема отдельного исследования.

Исследования в области организации производства особенно тем, что не всегда можно провести такой объем экспериментов, который необходим для верификации результатов теоретических исследований. Если такой эксперимент и удастся организовать, то он продлится несколько лет. А уж повторить его, тем более многократно, практически невозможно.

В этих случаях исследователи верифицируют результаты выполненных научно-исследовательских работ с помощью математических моделей и, в особенности, имитационных моделей. С их помощью можно многократно проигрывать производственные сценарии, имитирующие множество ситуаций, которые могут возникнуть в процессе взаимоотношений между предприятиями [3–5].

Важной составляющей частью предстоящей научно-исследовательской работы будет экономико-математическое имитационное моделирование, с помощью которого будут разрабатываться методики взаимодействия и рекомендации по их использованию.

Достижение цели обоснования эффективных путей организационного взаимодействия в струк-

туре обслуживания железнодорожной инфраструктуры возможно поэтапным решением следующих задач.

Центральная задача — разработка методики определения показателей эффективности взаимодействия элементов структуры, обслуживающей инфраструктуру железных дорог. Методика, очевидно, должна основываться на тех целях и задачах, которые ставятся перед различными элементами предложенной на рис. 1 структуры. Тогда показатели эффективности будут характеристиками количественной оценки того, в какой степени рассматриваемое предприятие достигает поставленных целей и решает задачи обслуживания и развития железнодорожной инфраструктуры в интересах эксплуатирующего подразделения (железнодорожной), генерального подрядчика и ОАО «РЖД» в целом.

Для разработки такой методики потребуются, во-первых, перечень заинтересованных в работе таких предприятий сторон, во-вторых, формализация возникающего между сторонами процесса оказания услуг взаимодействия, в-третьих, конкретизация перечня сведений, которые следует учитывать при оценке эффективности. То есть необходимо построить математическую модель взаимодействия подразделений ОАО «РЖД» и предприятий, обслуживающих инфраструктуру железных дорог [6].

В модели должны присутствовать стороны, деятельность кото-

рых так или иначе связана с инфраструктурой железных дорог (см. рис. 1):

— ОАО «РЖД» — владелец инфраструктуры, главный заказчик работ и услуг, источник финансирования и стандартизованных требований;

— подразделения ОАО «РЖД» (дистанции пути, отделения, железные дороги) — потребители услуг;

— генеральный подрядчик — хозяйствующий субъект, размещающий заказы на работы и услуги среди исполнителей;

— ремонтно-строительные организации, специализирующиеся на железнодорожном строительстве, — внешние для ОАО «РЖД» структуры, оказывающие услуги и обеспечивающие надлежащее состояние инфраструктуры.

Кроме перечисленных участников, в модели должны быть учтены и значимые для анализа виды взаимодействия между ними. Понятно, например, что ремонтно-строительные организации и подразделения ОАО «РЖД» взаимодействуют в оказании и получении строительных услуг, ОАО «РЖД» и генеральный подрядчик также имеют выраженные организационно-финансовые взаимоотношения.

На рис. 1 видно, что генеральные подрядчики работ — это своего рода шлюзы между многочисленными ремонтно-строительными организациями и подразделениями ОАО «РЖД». Их основная задача состоит в том, чтобы

обеспечить освоение средств и проведение мероприятий по обслуживанию инфраструктуры в запланированном объеме. Генеральный подрядчик является юридическим лицом и способен более динамично взаимодействовать с ремонтно-строительными организациями, снижая тем самым нагрузку на аппарат ОАО «РЖД». Через генеральных подрядчиков осуществляется финансирование работ на основании полученных ремонтно-строительными компаниями от эксплуатирующих подразделений ОАО «РЖД» актов выполненных работ. Фактически же, в том числе и репутационную, ответственность за результаты работ несут именно ремонтно-строительные организации.

На схеме взаимодействия (см. рис. 1) отражена производственная ситуация, при которой ремонтно-строительные организации напрямую (минуя генподрядчика) взаимодействуют с эксплуатирующими подразделениями ОАО «РЖД». В такой производственной ситуации тоже имеет место разделение (разрыв) интересов: финансирование работ (в том числе принятие решения о выделении средств, выбор исполнителя) ведется либо через финансовые структуры ОАО «РЖД», либо структурные подразделения соответствующего филиала ОАО «РЖД».

Даже если ремонтно-строительные организации будут напрямую, минуя генподрядчиков и центральный аппарат ОАО

«РЖД», взаимодействовать с железными дорогами, разделение интересов «снижение затрат — качество и долговечность — извлечение прибыли» по-прежнему будет иметь место, то есть результаты исследования сохранят свою актуальность.

Собственно, для моделирования взаимодействия ремонтно-строительных предприятий и предприятий, эксплуатирующих и обслуживающих инфраструктуру железных дорог, нам не требуется вся планетарная структура управления ОАО «РЖД». Для целей настоящего исследования достаточно ограничиться структурой, объединяющей ремонтно-строительные организации, эксплуатирующие подразделения, ОАО «РЖД» и генеральных подрядчиков. Ее моделирование целесообразно производить на основе теории графов, представив структуру взаимодействия в виде сети (ориентированного графа) [4, 5].

Рис. 2 демонстрирует один из возможных вариантов сетевой модели взаимодействия ремонтно-строительных предприятий и предприятий, эксплуатирующих и обслуживающих инфраструктуру железных дорог, на котором отражены основные связи между участниками процесса.

Благодаря такому подходу можно в явном виде зафиксировать интересы сторон, что в дальнейшем позволяет строить показатели эффективности не только с точки зрения организаций, оказывающих услуги, но и с учетом заинтересованности желез-

ных дорог и их структурных подразделений в качестве услуг.

Укрупненная схема взаимодействия (см. рис. 2) может быть в зависимости от поставленной задачи легко детализирована до, скажем, взаимодействия конкретного структурного подразделения с определенной ремонтно-строительной организацией, выполняющей работы или оказывающей услуги (рис. 3).

В ходе разработки показателей эффективности будет сформирован перечень сведений, необходимых для проведения расчетов и принятия управленческих решений [7–9].

Для создания сбалансированной системы показателей эффективности и результативности проводимых работ и оказываемых услуг необходимо определить цели сторон, заинтересованных в проведении работ по обеспечению надлежащего состояния инфраструктуры. На основе целей необходимо сформулировать требования к результатам работ и формализовать их. Следующий шаг — оценивание вклада в эффективность реализуемых мероприятий каждого из предложенных показателей эффективности.

Разрабатываемые показатели эффективности должны отвечать, по крайней мере, следующим естественным требованиям:

1) достоверность (то есть должны быть механизмы, проверяющие собираемые сведения, но исключающие возможность улучшения значений показателя без повышения уровня качества

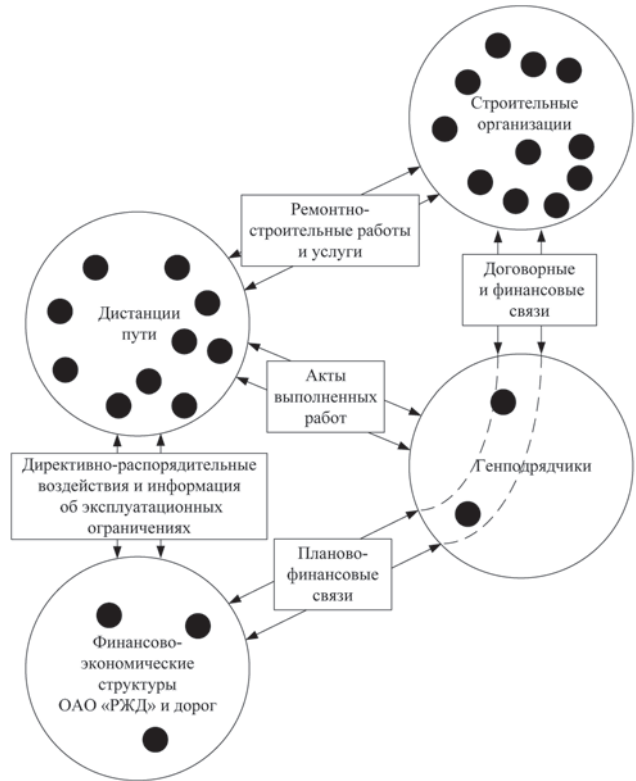


Рис. 2. Фрагмент диаграммы сетевой модели взаимодействия ремонтно-строительных предприятий и подразделений ОАО «РЖД»

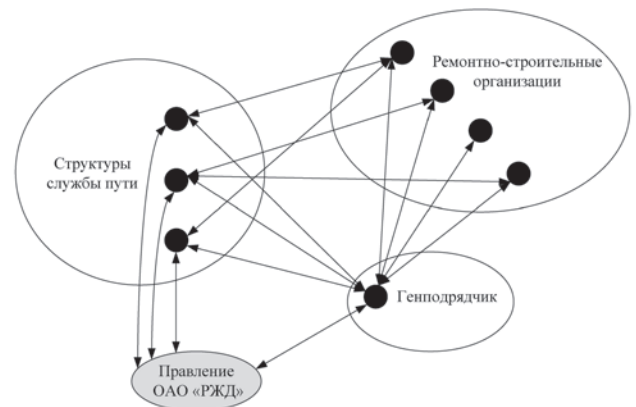


Рис. 3. Фрагмент сетевой модели взаимодействия подразделений ОАО «РЖД» с организациями, выполняющими ремонтно-строительные работы

и результативности оказываемых услуг);

2) низкая стоимость сбора исходных данных;

3) применение современных, отвечающих уровню производственных отношений в стране и зарекомендовавших себя на практике способов оценки эффективности взаимодействия хозяйствующих субъектов;

4) отражение и учет показателей деятельности организаций (выполняющих ремонтно-строительные работы и оказывающих услуги), которые направлены на повышение качества работ и безопасности движения поездов;

5) быть понятными и прозрачными как для самих ремонтно-строительных организаций, так и для субъектов, осуществляющих финансирование;

б) компьютерная реализация не только в части расчетов, но также сбора и хранения необходимой для анализа информации.

Еще одно требование к разрабатываемым показателям: механизм добавления в перечень исходных данных новых параметров (без существенной корректировки методики расчета показателей эффективности).

В результате анализа рис. 2 и 3 можно наметить систему показателей взаимодействия, состоящую из трех подсистем.

I. Показатели непосредственной эффективности исполнителей (относятся только к ремонтно-строительным организациям и основаны на внутренних показателях: объем выполненных ра-

бот, производительность, рентабельность, фондоотдача и др.).

II. Показатели уровня взаимодействия (характеризуют собственно организацию работ и организацию взаимодействия, то есть учитывают интересы железных дорог, их структурных подразделений и ремонтно-строительных организаций).

III. Показатели, характеризующие последствие ОАО «РЖД» в результате выполненных работ или оказанных услуг (отражают интересы ОАО «РЖД» в сохранении надлежащего состояния инфраструктуры железных дорог в течение длительного периода времени).

Оценить организационное взаимодействие участников процесса и определить влияние каждой из сторон на уровень взаимодействия можно с помощью интегрального показателя эффективности деятельности всех сторон, участвующих в обеспечении надлежащего состояния железнодорожной инфраструктуры.

Принципиальная схема интеграционных преобразований показателей эффективности показана на рис. 4.

Интегральный показатель эффективности можно использовать для выстраивания взаимоотношений между эксплуатирующими подразделениями ОАО «РЖД» и ремонтно-строительными организациями, оказывающими услуги по обеспечению надлежащего состояния инфраструктуры. Рассмотрим два из множества вариантов взаимодействия.



Рис. 4. Схема построения интегрального показателя эффективности

Вариант 1. Пусть для некоторого мероприятия, обеспечивающего надлежащее состояние участка инфраструктуры, определена средняя цена. Тогда исходя из определенного для разных строительных организаций значений интегрального показателя эффективности можно говорить, что за одну и ту же цену разные ремонтно-строительные организации выполняют работу с разной эффективностью. Так, можно ожидать, что ремонтно-строительная организация с более высокой по интегральному показателю эффективности оценкой выполнит работы намного лучше (с более высоким уровнем качества) и, следовательно, отодвинет по времени мероприятия по обеспечению надлежащего состояния железнодорожной инфраструктуры, что приведет к очевидному снижению затрат. Таким образом, для привлечения со свободного рынка железнодорожных ремонтно-строительных организаций, оказывающих в разумный срок более качественные услуги, имеет смысл оплачивать оказываемые услуги с повышающим (пони-

жающим) относительно средней цены коэффициентом. В качестве такого коэффициента целесообразно использовать интегральный показатель эффективности.

Вариант 2. Пусть несколько ремонтно-строительных организаций подали заявки на участие в конкурсе на право заключения контракта на проведение работ по обеспечению надлежащего состояния участка железнодорожной инфраструктуры. В этом случае имеет смысл сравнивать предложения ремонтно-строительных организаций по цене и качеству с поправкой на значение интегрального показателя эффективности данных ремонтно-строительных организаций.

Ключевым назначением интегрального показателя эффективности ремонтно-строительных организаций является их количественная оценка с целью принятия управленческих решений по улучшению организационного взаимодействия в структурах (сетях) с разделенными интересами по схеме «заказчик (владелец) — генподрядчик — ремонтно-строительные предприятия

(исполнители) — эксплуатирующие инфраструктуру подразделения (потребители)».

Предложенная в настоящей статье обобщенная (постановочная) модель формализации организационных процессов в сетях с разделенными интересами бу-

дет способствовать дальнейшей строгой математической формализации взаимодействия, разработке имитационной модели, позволяющей учитывать интересы сторон и вырабатывать наилучшие варианты взаимодействия с учетом интересов сторон. ■

## Литература

1. Сай В. М. Планетарные структуры управления на железнодорожном транспорте Транспорт, наука, техника, управление. М.: ВИНТИ РАН. № 4. 2002. С. 8–18.

2. Сай В. М., Фомин В. К. Моделирование системы взаимоотношений железной дороги с хозяйствующими субъектами // Транспорт Урала. Екатеринбург: УрГУПС, 2008. — № 4 (19). С. 10–13. ISSN 1815–9400.

3. Холл А. Д. Исследования по общей теории систем. М.: Наука, 1969.

4. Басакер Р. Конечные графы и сети. М.: Наука, 1974.

5. Емеличев В. А. Лекции по теории графов. М.: Наука, 1990.

6. Сизый С. В., Фомин В. К., Вихарев С. В. Формирование коэффициентов привлекательности хозяйствующих субъектов // Развитие управления перевозочным процессом и транспортной логистики: Сб. научн. тр. под ред. С. А. Плахотича, канд. техн. наук / Екатеринбург: Изд-во УрГУПС, 2009, № 73 (156). С. 165–180.

7. Синк Д. Управление производительностью, планирование, измерение и оценка, контроль и повышение / Пер. с англ. М.: Прогресс, 1989.

8. Маршев В. А. Изменения и измерения в управлении организации // Проблемы теории и практики управления (Официальное издание Международного научно-исследовательского института проблем управления). М., 2002. № 5. С. 119–23.

9. Фионин В., Терешин А. Показатели эффективности управления // Российский экономический журнал. М., 1998. № 8. С. 60–65. ISSN 0130–9757.

*Статья сдана в редакцию 15 августа 2009 г.*

# ОРГАНИЗАЦИЯ ПЕРЕВОЗОЧНОГО ПРОЦЕССА

*Х. Т. Туранов, Н. В. Становова*

## Организационные особенности технологических процессов размещения грузов на открытом железнодорожном подвижном составе

Для исключения случаев появления опасных ситуаций, создающих угрозу безопасности движения грузовых поездов, и для обеспечения сохранности перевозимых на открытом подвижном составе (платформы, полувагоны и транспортеры) различного рода грузов с плоским основанием важным является разработка научно обоснованных организационных особенностей технологий их рационального размещения и крепления.

Существуют следующие организационные особенности технологии размещения грузов с плоскими основаниями на открытом подвижном составе (ОПС) [1, 2]: симметричное размещение об-

щего центра тяжести груза ( $\text{ЦТ}_{\text{гр}}^{\circ}$ ) относительно продольной ( $l_{\text{см}}$ ) и поперечной ( $b_{\text{см}}$ ) осей симметрии вагона (то есть  $l_{\text{см}} = b_{\text{см}} = 0$ ); несимметричное размещение со смещением  $\text{ЦТ}_{\text{гр}}^{\circ}$  относительно поперечной оси симметрии вагона (то есть  $l_{\text{см}} > 0$ , а  $b_{\text{см}} = 0$ ), что соответствует смещению  $\text{ЦТ}_{\text{гр}}^{\circ}$  вдоль вагона; несимметричное размещение со смещением  $\text{ЦТ}_{\text{гр}}^{\circ}$  относительно продольной оси симметрии вагона (то есть  $l_{\text{см}} = 0$ , а  $b_{\text{см}} > 0$ ), что соответствует смещению  $\text{ЦТ}_{\text{гр}}^{\circ}$  поперек вагона; несимметричное размещение с одновременным смещением  $\text{ЦТ}_{\text{гр}}^{\circ}$  относительно продольной и поперечной осей симметрии вагона (то есть  $l_{\text{см}} > 0$ , а  $b_{\text{см}} > 0$ ), что

---

Сведения об авторах:

**Хабибулла Туранович Туранов**, доктор технических наук, профессор кафедры «Мехатроника» УрГУПС. Тел.: 8-963-035-31-89, e-mail: turanov@ibox.ru.

**Наталья Валерьевна Становова**, инженер СамГУПС. Тел.: 8-927-708-72-18.

соответствует смещению  $\text{ЦТ}_{\text{гр}}^{\circ}$  как вдоль, так и поперек вагона; каждая из перечисленных технологий предусматривает размещение многоярусных (штабельных) грузов в вагоне по высоте и стопами по длине вагона; эти технологии также предусматривают размещение грузов в вагоне посредством подкладок (или без них, прямо на пол вагона) при отсутствии монтажных (или грузовых) петель (или при наличии таких петель) у грузов; размещение грузов в вагоне, у которых общая высота центра тяжести над УГР ( $H_{\text{цт}}^{\circ}$ ) превышает 2 300 мм, осуществляют, например, металлическими кассетами различных конструкций и др.

Все грузы на ОПС должны быть размещены по первой технологии (симметричное размещение  $\text{ЦТ}_{\text{гр}}^{\circ}$  относительно осей симметрии вагона) [2]. В случаях, когда данная технология неосуществима по ряду причин, то есть геометрические параметры груза, условия размещения и крепления груза таковы, что невозможно вписывание груза в габарит погрузки, используются остальные технологии размещения грузов в вагоне.

Аналитическое обоснование технологии размещения и крепления многоярусных (штабельных) грузов в вагоне по высоте и, в частности, нахождение натяжений в гибких элементах креплений с учетом сил трения на кромках многоярусного груза малоизученно и, к сожалению, не принималось во внимание в положениях ТУ [3].

Рассматривая многоярусные штабельные грузы, размещенные в полувагоне, следует получить аналитические формулы для определения продольных сдвигающих сил с учетом сил трения от веса штабельных грузов, натяжений предварительных скруток проволоки и натяжений в гибких элементах креплений.

Для решения поставленной прикладной задачи воспользуемся важнейшими положениями теоретической механики — принципом освобожденности от связей, условием равновесия сил статики, законом Кулона, аксиомой равенства действия и противодействия [4].

Для определения натяжений в гибких элементах креплений грузов с учетом сил трения вдоль их кромок [5] примем допущения: нормальные реакции связи на кромках груза в виде  $\bar{N}_{12}$ ,  $\bar{N}_{23}$ ,  $\bar{N}_{34}$  независимо от расположения плоскости гибких элементов относительно продольной оси вагона направлены по нормали к ребрам многоярусного груза (рис. 1), причем для примера показаны четыре груза, размещенные ярусом по высоте; возмущающие силы в виде продольных  $\bar{I}_{ex}$  и вертикальных  $\bar{I}_{ez}$  переносных сил инерции приложены к каждой единице груза в отдельности. Физика появления сил инерции  $\bar{I}_{ex}$  и  $\bar{I}_{ez}$  переносного движения подробно рассмотрена в [6] с учетом того, что все точки вагона и грузов движутся вертикальным переносным ускорением  $\bar{a}_{ez}$  одинаковой величины (0,46–0,66) g;

единицы грузов 1–4 всегда будут уложены друг над другом через прокладки так, что всегда будут соблюдены условия  $\bar{G}_{гр4} \leq \bar{G}_{гр3} \leq \bar{G}_{гр2} \leq \bar{G}_{гр1}$ ; от действия возмущающих сил перемещаются только верхние ярусы грузов относительно нижних.

Поэтому между поверхностями каждой единицы грузов (или между грузом и подкладкой) возникают силы трения в виде  $\bar{F}_{тр34}, \bar{F}_{тр23}, \bar{F}_{тр12}$  и  $\bar{F}_{тр01}$ . Нормальные реакции связей  $\bar{N}_{4i}, \bar{N}_{34i}$  и  $\bar{N}_{23i}$ , а также силы трения вдоль кромок грузов  $\bar{F}_{тр4i}, \bar{F}_{тр3i}$  и  $\bar{F}_{тр2i}$  (см. рис. 1) используют для определения натяжений  $\bar{R}O_{3i}$  предварительных скруток проволоки на участке  $BC$ .

Рассмотрим случай, когда предварительному натяжению  $\bar{R}O_i$  ( $i = 1, n_p$  — количество гибких элементов креплений, работающих в одном направлении) подвергнуты только верхние ветви гибких элементов креплений (см. рис. 1).

Натяжения  $\bar{R}_i$  (на рис. 1 показаны их проекции на координатные оси  $\bar{R}_{xi}, \bar{R}_{yi}$  и  $\bar{R}_{zi}$ ) в сечениях гибких элементов креплений возникают лишь тогда, когда произойдет перемещение груза [6].

На расчетной модели продольная переносная сила инерции, возникающая при маневровых сударениях и при движении поезда как по прямому, так и по кривому участку пути, показана в виде  $\bar{I}_{ex}$ ; вертикальная переносная сила инерции, возникающая при прохождении подвижного состава по волнам неровности пути, — в виде  $\bar{I}_{ez}$ ; нормальная реакция связи  $\bar{N}_{34}$  — только для верхнего яруса груза, точка приложения которой лежит на некотором расстоянии  $x_{N34}$  от центра масс груза; вес каждой единицы грузов  $\bar{G}_{гр1}, \bar{G}_{гр2}, \bar{G}_{гр3}$  и  $\bar{G}_{гр4}$ .

Точки  $B, C$  и  $D$  (см. рис. 1) соответствуют точкам касания гибкого элемента крепления с кромками

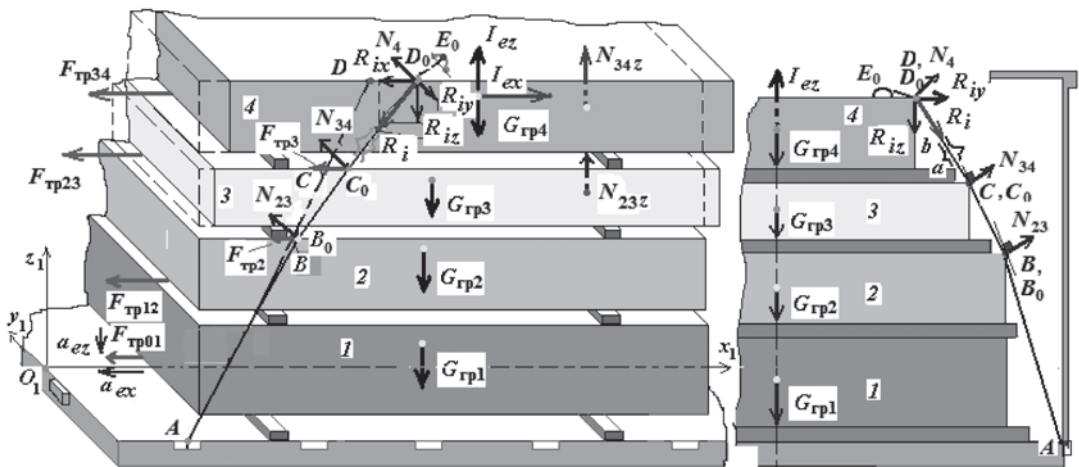


Рис. 1. Расчетная схема для определения натяжений в гибких элементах креплений многоярусного груза 1 — нижний ярус; 2 и 3 — средние ярусы; 4 — верхний ярус

грузов после его предварительной скрутки проволокой на участке  $CD$  натяжениями  $\bar{R}0_{4i}$ , а точки  $B_0$ ,  $C_0$  и  $D_0$  — после приложения продольной переносной силы инерции  $\bar{I}_{ex}$ , то есть после перемещения верхних единиц грузов 4 и 3 относительно нижних. Точка  $E_0$  соответствует монтажной (грузовой) петле груза верхнего яруса.

Примем, что перемещение каждой единицы груза определяют разностью продольной переносной силы инерции  $\bar{I}_{ex}$  и сил трения  $\bar{F}_{тр34}$  или  $\bar{F}_{тр23}$ . Причем разность этих сил для каждой единицы груза различна. Здесь  $\bar{F}_{тр34}$  и  $\bar{F}_{тр23}$  — силы трения между ярусами грузов согласно закону Кулона [4]:

$$\bar{F}_{тр34} \leq f\bar{N}_{34z}, \bar{F}_{тр23} \leq f\bar{N}_{23z}, \quad (6.16)$$

где  $f$  — коэффициент трения скольжения между поверхностями груза и гибкими элементами креплений, причем  $f < f_{цц}$ . ( $f_{цц}$  — коэффициент трения сцепления, который для пары трения «железобетон по дереву» равен 0,55; «сталь по железобетону» — 0,45; «сталь по дереву» — 0,4; «сталь по стали» — 0,3);  $\bar{N}_{34z}$  и  $\bar{N}_{23z}$  — нормальные реакции связей между ярусами грузов, возникающие от предварительной скрутки верхней ветви и натяжений в самих гибких элементах креплений, которые происходят только при сдвиге груза.

Максимальное значение силы трения покоя между поверхностями верхнего 4 и нижележащего 3 ярусов груза, когда гибкие элементы креплений не подверг-

нуты предварительному натяжению ( $\bar{R}0_{4i} = 0$ ):

$$\bar{F}_{тр34}^n \leq f_{цц} \bar{N}_{4z}, \quad (1)$$

где  $\bar{N}_{4z}$  — нормальная реакция связи (нижележащего яруса груза), равная  $\bar{G}_4$ .

После предварительной скрутки проволоки верхних ветвей гибких элементов креплений (на участке  $CD$ ) с натяжениями  $\bar{R}0_{4i}$  максимальное значение силы трения покоя между поверхностями ярусов грузов определяют по формуле

$$\bar{F}_{тр34}^{n1} \leq f_{цц} \left( \bar{N}_{4z} + \sum_{i=1}^{n_p} \bar{N}_{R04zi} \right), \quad (2)$$

где  $\bar{N}_{R04zi}$  — нормальная реакция связи (нижележащего яруса груза), возникшая из-за натяжения предварительной скрутки проволоки креплений  $\bar{R}0_{4i}$ , причем

$$\bar{N}_{R04zi} = \bar{R}0_{4i} \sin \alpha_{4i}. \quad (3)$$

Здесь  $\alpha_{4i}$  — угол наклона гибкого упругого элемента крепления с номером 4 (на участке  $CD$ ) относительно плоскости пола вагона (на рис. 1 не показан).

После приложения к верхней единице груза 4 продольной переносной силы инерции  $\bar{I}_{ex}$  произойдет сдвиг груза, в результате чего в сечениях гибких элементов креплений появляются натяжения в виде  $\bar{R}_{4i}$ .

Выражение (2) представим как силу трения при скольжении верхнего яруса груза 4 относительно нижележащего яруса груза 3:

$$\begin{aligned} \bar{F}_{\text{тр}34}^{\Delta 2} \leq & f_{\text{цп}} \left( \bar{N}_{4z} + \sum_{i=1}^{n_p} \bar{N}_{R04zi} \right) + \\ & + f \sum_{i=1}^{n_p} \bar{N}_{R4zi}, \end{aligned} \quad (4)$$

где  $\bar{N}_{R4zi}$  — нормальная реакция связи (нижележащего яруса груза), возникшая из-за натяжения в элементах креплений  $\bar{R}_{4i}$ , причем

$$\bar{N}_{R4zi} = \bar{R}_{4i} \sin \alpha_{4i}. \quad (5)$$

Подставляя соотношения (1), (3) и (5) в выражение (4), получим формулу для определения силы трения между контактирующими поверхностями верхнего 4 и нижележащего 3 яруса груза

$$\begin{aligned} \bar{F}_{\text{тр}34}^{\Delta 2} \leq & f_{\text{цп}} \left( \bar{G}_4 + \sum_{i=1}^{n_p} \bar{R}0_{4i} \sin \alpha_{4i} \right) + \\ & + f \sum_{i=1}^{n_p} \bar{R}_{4i} \sin \alpha_{4i}. \end{aligned} \quad (6)$$

Сравнивая величину продольной переносной силы инерции  $\bar{I}_{\text{ex}}$  [6] с величиной  $\bar{F}_{\text{тр}34}^{\Delta 2}$  можно определить, будет ли перемещаться груз 4 относительно нижележащего груза 3 или нет. Так, если соблюдается условие  $\bar{I}_{\text{ex}} \geq \bar{F}_{\text{тр}34}^{\Delta 2}$ , то груз 4 будет перемещаться относительно груза 3, в противном случае — не будет. Иначе говоря, для перемещения верхнего яруса груза 4 относительно нижележащего яруса 3 единица груза 4 должна воспринимать продольную сдвигающую силу

$$\Delta \bar{F}_{\text{пр}4} = \bar{I}_{\text{ex}} - \bar{F}_{\text{тр}34}^{\Delta 2} > 0. \quad (7)$$

Определим силу трения между ярусами грузов 2 и 3 с учетом веса  $\bar{G}_3$  груза 3, натяжения предварительной скрутки проволоки  $\bar{R}0_{3i}$  и натяжения в самом гибком упругом элементе креплений  $\bar{R}_{3i}$  с номером 3, расположенных на участке BC, в виде

$$\begin{aligned} \bar{F}_{\text{тр}23}^{\Delta 2} \leq & f \left( \sum_{j=3}^k \bar{N}_{jz} + \sum_{j=3}^k \sum_{i=1}^{n_p} \bar{N}_{R0jzi} \right) + \\ & + f \sum_{j=3}^k \sum_{i=1}^{n_p} \bar{N}_{Rjzi}, \end{aligned} \quad (8)$$

где  $j$  — количество грузов, причем  $1 \leq j \leq k$  ( $k$  — номер верхнего груза, например,  $k = 4$ );  $i = 1, n_p$  — количество гибких элементов креплений, работающих в одном направлении;  $\bar{N}_{3z}$ ,  $\bar{N}_{R03zi}$  и  $\bar{N}_{R3zi}$  — нормальные реакции связей (нижележащего яруса груза), возникающие из-за веса  $\bar{G}_3$  груза 3, натяжений  $\bar{R}0_{3i}$  и  $\bar{R}_{3i}$ :

$$\begin{aligned} \bar{N}_{3z} = \bar{G}_3; \quad \bar{N}_{R03zi} = \bar{R}0_{3i} \sin \alpha_{3i}; \\ \bar{N}_{R3zi} = \bar{R}_{3i} \sin \alpha_{3i}, \end{aligned} \quad (9)$$

с учетом того, что  $\alpha_{3i}$  — угол наклона гибкого упругого элемента крепления с номером 3 (на участке BC) относительно плоскости пола вагона (на рис. 1 не показан).

Подставляя соотношения (9) в выражение (8), получим формулу для определения силы трения между контактирующими поверхностями 3 и 2 ярусов груза:

$$\begin{aligned} \bar{F}_{\text{тр}23}^{\Delta 2} \leq & f \left( \sum_{j=3}^k \bar{G}_j + \sum_{j=3}^k \sum_{i=1}^{n_p} \bar{R}0_{ji} \sin \alpha_{ji} \right) + \\ & + f \sum_{j=3}^k \sum_{i=1}^{n_p} \bar{R}_{ji} \sin \alpha_{ji}. \end{aligned} \quad (10)$$

Сравнивая величину продольной переносной силы инерции  $\bar{I}_{ex}$  [6] с величиной  $\bar{F}_{тр23}^{A2}$  можно определить, будет ли перемещаться груз 3 относительно нижележащего груза 2 или нет. Так, если соблюдается условие  $\bar{I}_{ex} \geq \bar{F}_{тр23}^{A2}$ , то груз 3 будет перемещаться относительно груза 2, в противном случае — не будет. Иначе говоря, для перемещения яруса груза 3 относительно нижележащего яруса 2 единица груза 3 должна воспринимать продольную сдвигающую силу, равную

$$\Delta \bar{F}_{пр3} = \bar{I}_{ex} - \bar{F}_{тр23}^{A2} > 0. \quad (11)$$

Аналогично можно записать условия, при которых не происходят перемещения нижних ярусов грузов:

$$\Delta \bar{F}_{пр2} = \bar{I}_{ex} - \bar{F}_{тр12}^{A1} \leq 0; \quad (12)$$

$$\Delta \bar{F}_{пр1} = \bar{I}_{ex} - \bar{F}_{тр01}^A \leq 0, \quad (13)$$

где  $\bar{F}_{тр12}^{A1}$  — сила трения между нижележащими грузами 2 и 1:

$$\bar{F}_{тр23}^{A2} \leq f \left( \sum_{j=2}^k \bar{G}_j + \sum_{j=2}^k \sum_{i=1}^{n_p} \bar{R}0_{ji} \sin \alpha_{ji} \right) + f \sum_{j=2}^k \sum_{i=1}^{n_p} \bar{R}_{ji} \sin \alpha_{ji}; \quad (14)$$

$\bar{F}_{тр01}^A$  — сила трения между грузом 1 и полом вагона:

$$\bar{F}_{тр01}^A \leq f \left( \sum_{j=1}^k \bar{G}_j + \sum_{j=2}^k \sum_{i=1}^{n_p} \bar{R}0_{ji} \sin \alpha_{ji} \right) + f \sum_{j=2}^k \sum_{i=1}^{n_p} \bar{R}_{ji} \sin \alpha_{ji}. \quad (15)$$

Результаты аналитических исследований позволяют отметить,

что всегда будут соблюдены условия:

— неравенство сил трения, возникающих между ярусами штабеляного груза,

$\bar{F}_{тр34} < \bar{F}_{тр23} < \bar{F}_{тр12} < \bar{F}_{тр01}$ , где  $\bar{F}_{тр12}$  и  $\bar{F}_{тр01}$  — силы трения соответственно между единицами грузов 2 и 1, 1 и полом вагона (см. рис. 1);

— неравенство между продольными сдвигающими силами  $\Delta \bar{F}_{пр4} \geq \Delta \bar{F}_{пр3} \geq \Delta \bar{F}_{пр2} \geq \Delta \bar{F}_{пр1}$ .

Остается справедливым неравенство и для случая  $\bar{G}_{тр4} \geq \bar{G}_{тр3} \geq \bar{G}_{тр2} \geq \bar{G}_{тр1}$ .

Перемещение каждой единицы груза подтверждается результатами динамических (ходовых) испытаний, проведенных отделением комплексных испытаний ВНИИЖТа [7]. Из-за ослабления гибких элементов креплений груз может совершать дополнительные колебания относительно рамы платформы. Эти колебания носят случайный характер и трудно поддаются математическому описанию [8]. Данными экспериментальных исследований ВНИИЖТа также доказано, что ускорения верхних ярусов груза в 2–3 раза больше, чем в нижних. К тому же, это допущение подтверждается случаями сдвига именно верхних рядов многоярусного груза (рис. 2).

На рис. 2 и 3 приведены фотографии груза (железобетонных плит), погруженных на платформу в два штабеля по длине, причем в каждом штабеле размещалось по семь плит.

При осмотре у данного вагона обнаружен продольный сдвиг гру-

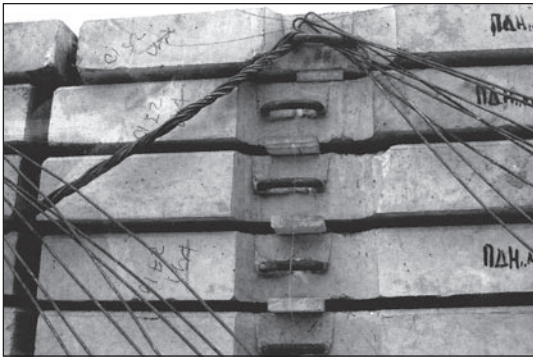


Рис. 2. Продольный и поперечный сдвиг верхнего яруса штабельных грузов в вагоне и ослабление креплений

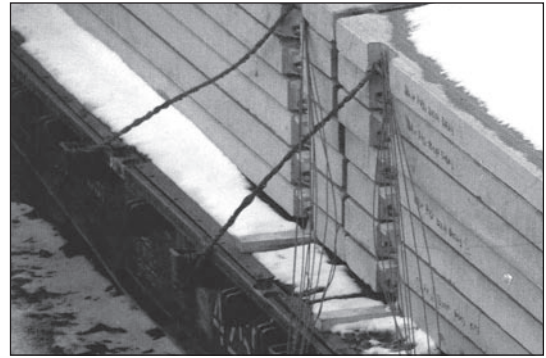


Рис. 3. Ослабление растяжек от сдвига штабельных грузов поперек вагона

за на 200 мм со стороны, у которой отсутствовали упорные и распорные бруски. Растяжки ослаблены с двух сторон груза. На рис. 2 и 3 виден не только общий сдвиг двух штабелей, но и сдвиг верхнего яруса относительно нижележащих плит.

Результаты исследования напряженного состояния железобетонных плит, размещенных на платформе ярусами, полученные с использованием программного продукта COSMOS/M, представле-

ны на рис. 4. Анализ результатов исследований показал, что вблизи грузовых петель у верхнего и среднего ярусов груза происходит концентрация напряжений в штабельных грузах (железобетонные плиты), а нижний ярус практически не нагружен.

Полученные аналитические формулы для определения продольных сдвигающих сил с учетом сил трения от веса штабельных грузов, размещенных полувагоне, натяжений предварительных

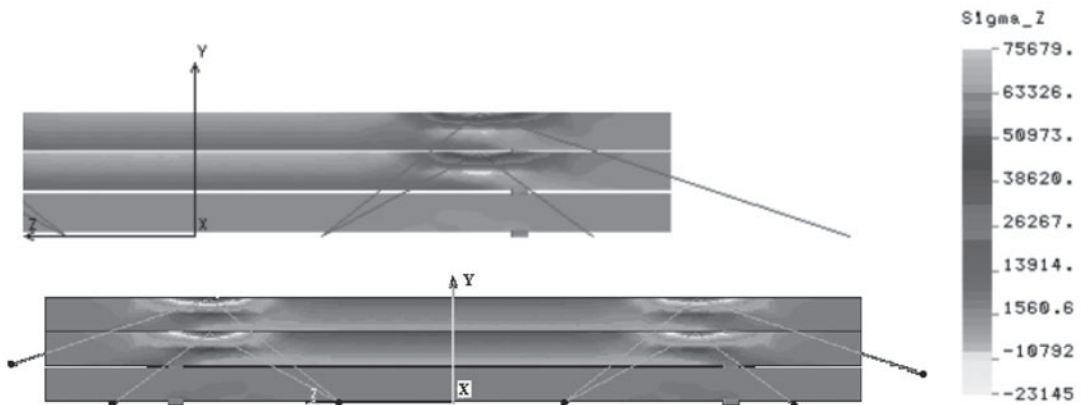


Рис. 4. Распределение напряжений в штабельных грузах (исследование аспиранта СГУПС К. В. Мурашко)

скруток проволоки и натяжений в гибких элементах креплений груза позволяют установить, что в многоярусных штабельных грузах смещения единиц грузов могут произойти последовательно, начиная с верхнего яруса до нижнего. ■

## Литература

1. Технические условия размещения и крепления грузов в вагонах и контейнерах. М.: Юридическая фирма «Юртранс», 2003. 544 с.
2. Приложение 14 к СМГС «Правила размещения и крепления грузов в вагонах и контейнерах». М.: Планета, 2005. 191 с.
3. Туранов Х. Т., Становова Н. В. Теоретические предпосылки к определению усилий в гибких элементах креплений, имеющих перегибы на кромках многоярусного груза // М-лы Всерос. науч.-техн. конф. с междунар. участием «Ресурсосберегающие технологии на железнодорожном транспорте» / Отв. ред. В. П. Суров. Красноярск: Гротеск, 2005. Т.2. С. 98–103.
4. Туранов Х. Т., Бондаренко А. Н. Теоретическая механика в задачах погрузки-выгрузки и перевозки грузов в вагонах / Х. Т. Туранов, А. Н. Бондаренко. Екатеринбург: УрГУПС, 2006. 453 с.
5. Корнеев М. В. Совершенствование метода расчета крепления грузов с учетом совместной работы элементов крепления различной жесткости и перегиба гибких элементов крепления на кромках груза: Автореф. дис.... канд. техн. наук. Новосибирск: СГУПС, 2004. 19 с.
6. Туранов Х. Т. Теоретическая механика в задачах грузовых перевозок / Новосибирск: Наука, 2009. 320 с.
7. Анисимов П. С., Грачева Л. О. Условия перевозки крупногабаритных и негабаритных грузов на четырехосных платформах. М.: Транспорт, 1977. 40 с.
8. Анисимов П. С. Безопасность движения открытого подвижного состава при несимметричном размещении тяжеловесных и крупногабаритных грузов: Дис.... д-ра техн. наук. — М.: МИИТ, 1988. 608 с.

*Статья сдана в редакцию 5 июля 2009 г.*

*В.М. Сай*

## Организация «окон» в графике движения поездов при содержании транспортной инфраструктуры

**В** результате проводимых на железнодорожном транспорте реформ железные дороги как основные структурные подразделения компании ОАО «РЖД» (перевозчика и владельца инфраструктуры) в ближайшей перспективе будут реализовывать два основных бизнес-процесса: организация движения поездов и организация содержания транспортной инфраструктуры. Эти бизнес-процессы и обеспечивают, в основном, доставку грузов и пассажиров.

Организация движения поездов и организация содержания транспортной инфраструктуры всегда взаимосвязаны. Даже если на участке есть резерв пропускной способности, все равно, ограничение скорости, «окна» в графике движения поездов, занятие перегонов хозяйственными поездами влияют на скорость доставки грузов и пассажиров. Но повышение скоростей движения поездов и безопасность их проследования требуют (при современных технологиях обслуживания инфраструктуры) значи-

тельных перерывов в движении.

При выполнении основных работ по содержанию инфраструктуры в состоянии, обеспечивающем необходимые скорости следования поездов и заданный уровень безопасности движения, в графике движения требуются «окна», что приводит к задержке поездов и, как следствие, к увеличению времени доставки пассажиров и грузов. Ухудшаются качественные показатели транспортных услуг, что, безусловно, скажется на доходности компании: ведь заказчик услуг платит за скорость («точно в срок») и безопасность!

В перспективе, основные доходы компания будет получать от эффективной организации перемещения вагонов. При доставке грузов «точно в срок» в зависимости от контрактных условий возможны дополнительные выплаты перевозчику, а при задержке доставки пассажиров и грузов компания вынуждена платить штрафы, пени, неустойки и т. п.

Основные работы по содержанию транспортной инфраструктуры выполняют хозяйствующие

---

Сведения об авторе:

**Василий Михайлович Сай**, доктор технических наук, профессор кафедры «Путь и железнодорожное строительство» УрГУПС. E-mail: VSay@usurt.ru.

субъекты (подрядчики), а их интересы могут и не совпадать с интересами компании ОАО «РЖД» [1]. Для подрядчиков сокращение продолжительности «окон» и времени ограничения скоростей движения — это всегда дополнительные затраты.

При хозяйственном механизме, существовавшем в структуре МПС, когда работы по содержанию транспортной инфраструктуры выполнялись структурными подразделениями самого министерства, ставилась, в основном, задача оптимизации ремонтно-эксплуатационных затрат. Сейчас же требуется не только эффективно использовать «окна», но и взимать с хозяйствующих субъектов плату при выполнении работ в условиях перерыва движения поездов. Поэтому владелец транспортной инфраструктуры должен эффективно организовать работу как всех подрядчиков (хозяйствующих субъектов), так и структурных подразделений самой компании.

Работы по развитию и содержанию транспортной инфраструктуры могут быть организованы в одно «окно», в совмещенные «окна» или теньевые «окна» [2–4].

Для работ в совмещенные и теньевые «окна» необходима концентрация трудовых и материальных ресурсов на одном/нескольких перегонах одного/нескольких хозяйствующих субъектов или структурных подразделений самой компании.

Именно поэтому намного повышаются требования к надеж-

ности составляющих технологических процессов (доставка материалов, обеспеченность машинами и др.).

При строительстве вторых путей, электрификации, переустройстве станции пересекаются два динамических стохастических процесса — перевозный и ремонтно-строительный. Эти процессы воздействуют друг на друга. Поэтому при ведении работ в совмещенные и теньевые «окна» их предоставление в графике движения поездов и продвижение хозяйственных и балластных поездов «точно в срок» должны быть организованы особенно четко.

Неприбытие балластных составов в расчетное время или непредоставление «окон» для выполнения работ вынуждает (для сокращения суммарных нерегламентированных простоев) уменьшать количество ресурсов на строящемся объекте. В итоге, «окна», необходимые для ведения работ, используются в полном объеме, а вот продолжительность строительства, как правило, возрастает. В этом случае влияние строительного процесса на движение поездов максимальное.

Использование совмещенных «окон» намного сокращает задержки поездов; при теньевых «окнах» задержек поездов нет. Использование таких «окон» требует концентрации строительных ресурсов на одном-двух перегонах, что, как правило, сокращает сроки производства работ. Таким образом, использование совмещенных и теньевых «окон» направлено на

уменьшение взаимного влияния перевозочного и ремонтно-строительного процессов.

Использование совмещенных и теневых «окон» существенно влияет на организацию работ, вносит, например, коррективы в очередность строительства второго пути на перегонах. В большинстве случаев начинать строительство второго пути на участке целесообразно с лимитирующего перегона, то есть выборочно, с постоянным наращиванием пропускной способности. Однако при такой схеме организовать производство работ в совмещенные (на смежных перегонах) и теневые «окна» нельзя, так как следующий образовавшийся лимитирующий перегон может находиться в нескольких десятках километров. Максимально сократить «окна» можно при строго последовательном строительстве второго пути на перегонах. Однако в этом случае придется отказаться от увеличения пропускной способности после сооружения второго пути уже на первом перегоне.

С другой стороны, организация работ в совмещенные и теневые «окна» позволяет хозяйствующим субъектам (подрядчикам) концентрировать ресурсы на двух-трех смежных перегонах, улучшая таким образом экономические показатели производственно-хозяйственной деятельности, а при платности «окон» — сокращать потребность в них.

Итак, сложившиеся производственные отношения хозяйствующи-

щих субъектов требуют согласования организации работ по содержанию инфраструктуры и календарного планирования «окон», что сведет их влияние на перевозочный процесс к минимуму.

Задача календарного планирования «окон» относится к комбинаторному классу задач — с упорядочением во времени и на длине различных процессов и работ (частично уже упорядоченных в силу технологической последовательности их выполнения). Поэтому задачу календарного планирования «окон» необходимо рассматривать в традиционной постановке, то есть с учетом технологической последовательности, норм и правил. К тому же, при таком подходе уменьшается многовариантность календарных планов.

В общем виде закон движения «окна» во времени по участку:

$$R_{(i)} = f_t[R_{(i-1)}, U_{(i)}]_{i=1,N}, \quad (1)$$

$$R_{(0)} = t$$

где  $U_{(i)}$  — управление  $i$ -м «окном»;  $i$  — номер текущего «окна»;  $t$  — начальное состояние работы;  $N$  — потребность в «окнах».

При отсыпке дренирующего грунта думпкарами в «окна» управление может быть представлено как время оборота балластного состава или как режим предоставления «окна»:

$$U_{(i)} = f_t(L, V_M, Q_p, \Delta_{ti})_{i=1,N}$$

где  $L$  — дальность транспортирования дренирующего грунта, км;

$V_M$  — маршрутная стоимость балластного состава, км/ч;  $\Delta t_i$  — время ожидания «окна» в течение рабочей смены, ч;  $Q_i$  — другие параметры, влияющие на время оборота балластного состава (количество отделений, наличие ж.-д. узла на маршруте транспортирования и др.).

Во втором случае:

$$U(i) = f_t(L, V_M, Q_i, \Delta t_i, \Delta T_i)_{i=1, N},$$

где  $T_i$  — время ожидания «окна» в целых сутках при  $T_{\text{обсл.}} < \Delta_{(i-1, i)}$ ;  $T_{\text{обсл.}}$  — время  $i$ -го оборота балластного состава;  $\Delta_{(i-1, i)}$  — время между предоставлением  $i-1$  «окна» и  $i$ -го «окна».

Итак, при помощи выражения (1) можно определить последующее состояние работы и реализовать управление  $U_{(i)}$ .

Такое частичное упорядочение позволяет определить потребность в «окнах» для каждого вида работ (на отдельном перегоне или участке в целом). Это, в свою очередь, позволяет выявить работу, для которой требуется наибольшее число «окон». Тогда множество «окон» для этой работы:

$$M_\xi = \max\{M_j\}_{j=1, R}, \quad (2)$$

где  $R$  — количество частично упорядоченных работ.

При эффективном использовании совмещенных и теневых «окон» необходимо стремиться к тому, чтобы множества «окон» по всем работам максимально объединились, то есть  $M_{j-1} \cup M_j$ . В общем виде для всех работ

$$M = \bigcup_{j=1}^R M_j.$$

Максимальное использование совмещенных и теневых «окон» может быть достигнуто при декартовом произведении множеств, то есть когда все элементы множеств являются упорядоченными парами.

Из выражения (2) следует, что

$$M_{\xi-1} \leq M_\xi \geq M_{\xi+1}.$$

Допишем недостающие элементы множеств  $M_{\xi-1}$  и  $M_{\xi+1}$  пустыми элементами таким образом, чтобы выполнялось равенство

$$M_{\xi-1} = M_\xi = M_{\xi+1}.$$

Тогда во всех множествах будет одинаковое число элементов, то есть одинаковое число «окон» для всех работ на всех перегонах.

Добиться абсолютного совмещения «окон» или полного использования теневых «окон» невозможно — технологическая последовательность работ занимает несколько километров, а работы в любой точке имеют разрыв во времени

$$\Delta t_{j-1, j} = \Delta l_0^{j-1, j} \tau_{j-1},$$

где  $\Delta l_0^{j-1, j}$  — технологическое или организационное отставание работы  $j$  от работы  $j-1$ ;  $\tau_{j-1}$  — удельное время работы.

Но тогда на каждом перегоне будет иметь место несовпадение «окон» для работы  $j-1$  по началу, а для работы  $j+1$  — по окончании. В первом случае для  $k$ -го перегона

$$\underline{\Delta N_{k_0}^{j-1}} = M_{\xi} \Delta l_{k_0}^{j-1,j} / l_k. \quad (4)$$

Во втором случае для  $k$ -го перегона

$$\overline{\Delta N_{k_0}^{j+1}} = M_{\xi} \Delta l_{k_0}^{j,j+1} / l_k. \quad (5)$$

Для работы  $j-1$  на перегоне  $k+1$  часть «окон» может быть теневой или совмещенной. Их количество можно определить по выражению (4).

Возможное начало использования теневого и совмещенных «окон»:

$$\underline{t_{j-1}^{k+1}} = \underline{t_j^k} + (l_k - \Delta l_{k_0}^{j-1,j}) \tau_j.$$

Тогда продолжительность использования теневого и совмещенных «окон» на перегоне:

$$\Delta t_{j+1}^{k+1} = f_t [t_{(i-1)}^{k+1}, U_i^{k+1}]_{i=1, \Delta N_{j-1}^k},$$

$$t_0 = \underline{t_{j-1}^{k+1}}.$$

Календарное закрепление «окон» должно быть начато с множества  $M_{\xi}$ . Упорядочение пары «окон» работ  $j$  и  $j+1$  или  $j-1$  и  $j$  необходимо выполнить по параметру  $T_0$  (день предоставления «окна»).

Воспользовавшись (1), (3), (4), (5), можно составить календарь «окон» в интервале  $[\underline{t_{j-1}}, \overline{t_{j+1}}]$ . При этом закрепление «окон» для работы  $j-1$  необходимо выполнить только в интервале  $[\underline{t_{j-1}}, \overline{t_j}]$  при  $U_{j-1}$ .

Итак, модель календарного закрепления «окон»:

$$T_0(i) = f \left[ \underline{t_{(i-1)}^{j-1}}, U_{(i)}^{j-1} \right]_{i=1, \overline{\Delta N_{j-1}}};$$

$$t_{(0)} = \underline{t_{j-1}};$$

$$T_0(i) = f_t \left[ \underline{t_{(i-1)}^j}, U_{(i)}^j \right]_{i=1, \overline{\Delta N_{j-1}}};$$

$$t_{(0)} = \underline{t_j};$$

$$T_0(i) = f_t \left[ \underline{t_{(i-1)}^{j+1}}, U_{(i)}^{j+1} \right]_{i=(N_j - \Delta N_{j+1}), N_j},$$

$$t_{(0)} = \underline{t_{j+1}}.$$

После наступления  $t_j$  необходимо сравнить пару «окон» работы  $j-1$  и  $j$ , то есть  $a_{ij}$  и  $a_{i,j-1}$ . При  $a_{i,j-1} > a_{ij}$  «окно» работы  $j-1$  будет основным, а «окно»  $a_{ij}$  — совмещенным или теньвым.

Далее необходимо проверить, можно ли «окно» разделить на несколько «окон» с тем, чтобы отнести их к теньвым или хотя бы к совмещенным. Далекое не всегда  $a_{i,j-1}$  делятся на несколько «окон»: не позволяет технология, нет свободных элементов множества  $M_{\xi}$  и др.

Условия соблюдения частичной упорядоченности и технологической последовательности работ:

$$0 \leq U_{(i)}^j \leq l_{(i)} \tau_j;$$

$$U_{(i)}^{j-1} = \begin{cases} l_{(i)} \tau_{j-1} & \text{— при фиксации «окна»;} \\ U_{(i)}^j & \text{— при разделении «окон»}. \end{cases}$$

«Окна», составляющие элемент  $a_{i,j-1}$ , могут быть календарно закреплены на пустых элементах множества  $M_{j-1}$ . Однако последнее «окно» должно быть закреплено по календарю элемента  $a_{i,j-1}$ .

Если нет пустых элементов для размещения разделенного «окна» работы  $j-1$ , то это означает, что нет свободного ресурса для выполнения работ. В этом случае необходимо:

— корректировать общее  $\tau_{j-1}$ , то есть увеличивать ресурс времени для работы  $j-1$ ;

— при  $\tau_{j-1} \rightarrow \text{const}$  увеличить материальный ресурс;

— не выполнять элемент  $a_{i,j-1}$ , а производить работу в фиксированное «окно» расчетной продолжительности.

Условия использования теневого «окна» для работы  $j$ :

$$a(n)_k^j \geq a(1)_{k+1}^{j-1}, \quad (9)$$

$$n \rightarrow f(U_{(i)}, \tau_{k+1}^{j-1},$$

$$t_{(n-1)_k}^j + U(N)_k^j - \Delta l_k^{j-1,j} \tau_j + U(i)_k^j = t_{(i-1)_{k+1}^{j-1}} + U(i)_{k+1}^{j-1}, \quad (10)$$

$$i = \overline{N_{k-n}^j, N_k^j},$$

$$n \rightarrow f(\Delta l_k^{j,j-1}, \tau_k^j, U(i)_k^j).$$

Для работы  $j+1$ :

$$t_{(n-1)_k}^j + U(N)_k - \Delta l^{j,j+1} \tau_k^{j+1} + U(i)_k^j = \tau(i)_k^{j+1} + U(i)_k^{j+1}; \quad (11)$$

$$i = \overline{1, n}$$

$$n \rightarrow f(U(i)_{k+1}^j, \tau_{k+1}^j);$$

$$a(1)_{k+1}^j \geq a(n)_{k+1}^{j+1}. \quad (12)$$

При невыполнении условий (9) и (12) теньевые «окна» использовать нельзя. В этом случае на календарном графике нужно закреплять совмещенные «окна».

Одним из основных показателей эффективного использования «окон» могут быть коэффициенты:

$K_0$  — коэффициент выполнения работ в одно «окно»;

$K_C$  — коэффициент выполнения работ в совмещенные «окна»;

$K_T$  — коэффициент выполнения работ в теньевые «окна».

$$K_0 = \frac{\sum_{i=1}^{N_j} a(i)^j + \sum_{i=1}^{\xi-1} \sum_{i=\Delta N_j}^{N_j} a(i)^j + \sum_{j=\xi+1}^R \sum_{j=\xi+1}^R \sum_{i=1}^{N_j - \Delta N_j} a(i)^j}{\sum_{j=1}^R \sum_{i=1}^{N_j} a(i)^j};$$

$K_T, K_C = A/C$  — для первого перегона;

$K_T, K_C = (A + B)/C$  — для второго перегона;

$K_T, K_C = B/C$  — для последнего перегона.

$$A = \sum_{j=\xi-1}^R \sum_{i=N_j - \Delta N_j}^{N_j} a(i)^j;$$

$$B = \sum_{j=1}^{\xi-1} \sum_{i=1}^{\Delta N_j} a(i)^j;$$

$$C = \sum_{j=1}^R \sum_{i=1}^{N_j} a(i)^j.$$

Между коэффициентами  $K_T, K_C$  и  $K_0$  существует обратная пропорциональная зависимость.

В заключение необходимо отметить, что предложенная математическая модель календарного планирования «окон» позволяет:

— количественно оценить эффективность использования «окон» в графике движения поездов;

— уменьшить влияние процесса содержания транспортной инфраструктуры на перевозочный процесс;

— совершенствовать организацию работ при содержании инфраструктуры и таким образом сократить расходы на ее содержание. ■

## Литература

1. Сай В. М., Фомин В. К. Моделирование системы взаимоотношений железной дороги с хозяйствующими субъектами // Транспорт Урала. Екатеринбург: УрГУПС, 2008. № 4 (19). С. 10–13. ISSN 1815–9400.

2. Сай В. М. Использование теневых «окон» при строительстве вторых путей / Тезисы док. научн.-техн. конф. Ч. II. Новосибирск: НИИЖТ, 1991.

3. Сай В. М. Календарное планирование «окон» при строительстве вторых путей / Проектирование и строительство железных дорог: Сб. научн. тр. М., Деп. в ЦНИИТЭИ МПС 25.07.91, № 5149. 9 с.

4. Сай В. М. Особенности организации работ в «окна» в рыночных условиях // Фундаментальные и прикладные исследования трансп.: Тез. докл. юбилейн. научн.-техн. конф. Ч. II. Екатеринбург: УрГАПС. 1996.

*Статья сдана в редакцию 6 июля 2009 г.*

Г.А. Тимофеева

## Оптимальная организация грузопотоков на транспортной сети

Сегодня конкурентоспособность транспортной компании во многом зависит от того, как она это делает. Решающее значение для достижения успеха на рынке перевозок имеют бизнес-процессы, которые обеспечивают удовлетворение спроса наиболее гибким и надежным способом. Другими словами, как транспортная компания управляет своими процессами и насколько эти процессы соответствуют потребностям рынка, так же важно, как и качество или цена продукции. Цель — подойти как можно ближе к конечному потребителю. Это требует предельной степени гибкости и высокой оперативности. Основной критерий оптимального распределения внутригородской транспортной сети — качество обслуживания пассажиров [1] как совокупность многих параметров [2].

### Описание модели

Рассматривается классическая закрытая транспортная задача [3]:

$$\sum_{i=1}^m \sum_{j=1}^n c_{ij} x_{ij} \rightarrow \min$$

$$\begin{cases} \sum_{j=1}^n x_{ij} = a_i, & i = 1, \dots, m \\ \sum_{i=1}^m x_{ij} = b_j, & j = 1, \dots, n, \end{cases} \quad (1)$$

где  $a_i$  — мощность  $i$ -го поставщика,  $b_j$  — мощность  $j$ -го потребителя,  $c_{ij}$  — стоимость перевозки единицы груза, перевозимого в количестве  $x_{ij}$  от  $i$ -го поставщика  $j$ -му потребителю. При этом предполагается, что

$$\sum_{i=1}^m a_i = \sum_{j=1}^n b_j.$$

Оптимальный план перевозок должен удовлетворять требованиям: 1) все грузы вывезены; 2) каждая заявка удовлетворена; 3) суммарная стоимость перевозок наименьшая.

В транспортной задаче исходные данные принято задавать таблицей.

|          |                      |                      |          |                      |
|----------|----------------------|----------------------|----------|----------------------|
|          | $b_1$                | $b_2$                | ...      | $b_n$                |
| $a_1$    | $c_{11}$<br>$x_{11}$ | $c_{12}$<br>$x_{12}$ | ...      | $c_{1n}$<br>$x_{1n}$ |
| $a_2$    | $c_{21}$<br>$x_{21}$ | $c_{22}$<br>$x_{22}$ | ...      | $c_{2n}$<br>$x_{2n}$ |
| $\vdots$ | $\vdots$             | $\vdots$             | $\ddots$ | $\vdots$             |
| $a_m$    | $c_{m1}$<br>$x_{m1}$ | $c_{m2}$<br>$x_{m2}$ | ...      | $c_{mn}$<br>$x_{mn}$ |

Сведения об авторе:

**Галина Адольфовна Тимофеева**, доктор физико-математических наук, завкафедрой «Высшая математика» УрГУПС. Тел.: (343) 358-55-66, e-mail: gtimofeeva@mail.ru.

**Формализация многошагового процесса**

Для применения метода динамического программирования задачу 1 необходимо сформулировать как задачу оптимизации многошагового процесса принятия решений (МППР). Определим начальное состояние системы вектором  $p_0 = (a_1, a_2, \dots, a_m)^T \in R^m$ , а в качестве первого решения возьмем вектор  $u_1 = (x_{11}, x_{21}, \dots, x_{m1})^T$ . Этот вектор должен удовлетворять ограничениям

$$x_{i1} \geq 0, \quad i = 1, \dots, m, \quad \sum_{i=1}^m x_{i1} = b_1.$$

Смысл первого решения  $u_1$  состоит в удовлетворении заявки  $b_1$  первого потребителя. В результате реализации этого решения оставшиеся грузы будут описываться вектором  $p_1 = p_0 - u_1$ . Стоимость первого решения может быть вычислена по формуле  $\sum_{i=1}^m c_{i1} x_{i1}$ . Продолжая этот процесс, получим МППР

$$p_0 \xrightarrow{u_1} p_1 \xrightarrow{u_2} p_2 \xrightarrow{u_3} \dots \xrightarrow{u_n} p_n,$$

в котором  $p_j = p_{j-1} - u_j$  —  $j$ -е состояние системы, а решение  $u_j$  удовлетворяет ограничениям

$$x_{ij} \geq 0, \quad i = 1, \dots, m, \quad \sum_{i=1}^m x_{ij} = b_j. \quad (2)$$

Цена решения  $u_j$  равна величине  $\sum_{i=1}^m c_{ij} x_{ij}$ .

Определение. Стратегия  $s_n = \{u_1, u_2, \dots, u_n\}$  называется допустимой, если

- 1)  $u_j$  ( $j = 1, \dots, n$ ) удовлетворяют ограничениям (2);
- 2)  $p_n = (0, \dots, 0)^T$ .

Таким образом, транспортная задача сведена к задаче оптимизации построенного МППР: среди допустимых стратегий найти стратегию с наименьшей ценой

$$\sum_{i=1}^m \sum_{j=1}^n c_{ij} x_{ij}.$$

Пример. Построить оптимальное распределение грузопотоков при следующих исходных данных:

|    |   |   |   |
|----|---|---|---|
|    | 4 | 6 | 8 |
| 8  | 4 | 3 | 2 |
| 10 | 0 | 2 | 2 |

Схема МППР будет иметь вид

$$p_0 \xrightarrow{u_1} p_1 \xrightarrow{u_2} p_2 \xrightarrow{u_3} p_3.$$

За состояние системы можно взять остаток груза в пункте отправления после удовлетворения очередной заявки. Таким образом, начальное состояние системы —  $p_0 = (8, 10)^T$ , а конечное —  $p_3 = (0, 0)^T$ .

В качестве первого решения берется вектор  $u_1 = (x_{11}, x_{21})^T$ , удовлетворяющий ограничениям  $x_{11} \geq 0, x_{21} \geq 0, x_{11} + x_{21} = b_1 = 4$ . В результате реализации этого решения система перейдет в состояние  $p_1 = p_0 - u_1 = (8 - x_{11}, 10 - x_{21})^T$ . Цену решения составит величина  $c_1 = (p_0, u_1) = 4x_{11}$ .

В качестве второго решения возьмем вектор  $u_2 = (x_{12}, x_{22})^T$ , удовлетворяющий ограничениям  $x_{12} \geq 0, x_{22} \geq 0, x_{12} + x_{22} = b_2 = 6$ .

В результате реализации такого решения система перейдет в состояние  $p_2 = p_1 - u_2$ . Цена решения  $u_2$  будет равна величине  $c_2 = (p_1, u_2) = 3x_{12} + 2x_{22}$ .

В качестве третьего решения возьмем вектор  $u_3 = (x_{13}, x_{23})^T$ , который должен удовлетворять ограничениям  $x_{13} \geq 0$ ,  $x_{23} \geq 0$ ,  $x_{13} + x_{23} = b_3 = 8$ . В результате реализации третьего решения система перейдет в состояние  $p_3 = p_2 - u_3 = (0, 0)^T$ . Цену последнего решения составит величина  $c_3 = (p_2, u_3) = 2x_{13} + 2x_{23}$ .

Проведем оптимизацию построенного МППР.

1-й этап. Минимум цены принятия последнего решения

$$f_1(3, p_2) = c_3(p_2, u_3^0(p_2)).$$

Так как  $u_3 = p_2$ , то

$$f_1(3, p_2) = 2p_{12} + 2p_{22},$$

где  $p_{12}$  и  $p_{22}$  — компоненты вектора  $p_2$ .

2-й этап. Минимум цены принятия последних двух решений:

$$\begin{aligned} f_2(2, p_1) &= \min_{u_2 \in U(2, p_1)} [c_2(p_1, u_2) + f_1(3, p_2)] = \\ &= \min_{u_2 \in U(2, p_1)} [3x_{12} + 2x_{22} + 2p_{12} + 2p_{22}]. \end{aligned}$$

Так как  $p_{12} = p_{11} - x_{12}$ ,  $p_{22} = p_{21} - x_{22}$ , то

$$\begin{aligned} f_2(2, p_1) &= \min_{u_2 \in U(2, p_1)} [3x_{12} + 2x_{22} + 2p_{11} - 2x_{12} + \\ &+ 2p_{21} - 2x_{22}] = \min_{\substack{x_{12} \geq 0, x_{22} \geq 0 \\ x_{12} + x_{22} = 6}} [x_{12} + 2p_{11} + 2p_{21}]. \end{aligned}$$

Очевидно (см. рис. 1), что минимум линейной функции  $x_{12} + 2p_{11} + 2p_{21}$  в области ограничений  $u_2$  достигается в точке  $x_{12} = 0$ ,  $x_{22} = 6$ , то есть

$$u_2^0 = (6, 0)^T,$$

$$f_2(2, p_1) = 2p_{11} + 2p_{21}.$$

3-й этап. Минимум цены принятия трех последних решений:

$$\begin{aligned} f_3(1, p_0) &= \min_{u_1 \in U(1, p_0)} [c_1(p_0, u_1) + f_2(2, p_1)] = \\ &= \min_{u_1 \in U(1, p_0)} [4x_{11} + 0x_{21} + 2p_{11} + 2p_{21}]. \end{aligned}$$

Так как

$$p_1 = p_0 - u_1 = (8 - x_{11}, 10 - x_{21})^T,$$

то

$$\begin{aligned} f_3(1, p_0) &= \min_{u_1 \in U(1, p_0)} [4x_{11} + 16 - 2x_{11} + \\ &+ 20 - 2x_{21}] = \min_{\substack{x_{11} \geq 0, x_{21} \geq 0 \\ x_{11} + x_{21} = 4}} [2x_{11} - 2x_{21} + 36]. \end{aligned}$$

Минимум линейной функции  $2x_{11} - 2x_{21} + 36$  в области ограничений  $u_1$  достигается в точке  $x_{11} = 0$ ,  $x_{21} = 4$  (см. рис. 2), то есть

$$u_1^0 = (0, 4)^T, \quad f_3(1, p_0) = 28.$$

Таким образом, найдена минимальная суммарная стоимость перевозок.

Для определения  $u_3^0$  необходимо восстановить весь процесс принятия решений:

$$p_0 = \begin{pmatrix} 8 \\ 10 \end{pmatrix},$$

$$p_1 = p_0 - u_1^0 = \begin{pmatrix} 8 - 0 \\ 10 - 4 \end{pmatrix} = \begin{pmatrix} 8 \\ 6 \end{pmatrix},$$

$$p_2 = p_1 - u_2^0 = \begin{pmatrix} 8 - 0 \\ 6 - 6 \end{pmatrix} = \begin{pmatrix} 8 \\ 0 \end{pmatrix},$$

$$p_3 = p_2 - u_3^0 = \begin{pmatrix} 0 \\ 0 \end{pmatrix}.$$

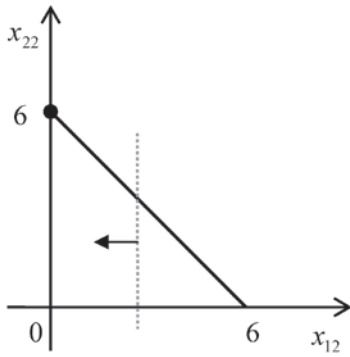


Рис. 1. Поиск минимума: 2-й этап

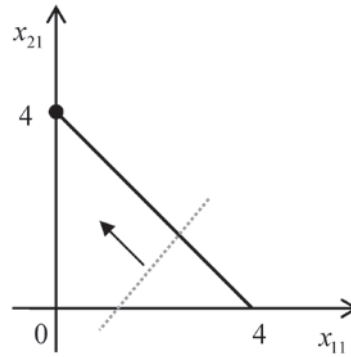


Рис. 2. Поиск минимума: 3-й этап

Следовательно,  $u_3^0 = \begin{pmatrix} 8 \\ 0 \end{pmatrix}$ .

Оптимальная стратегия плана перевозок:

$$s_3^0 = \begin{pmatrix} 0 & 0 & 8 \\ 4 & 6 & 0 \end{pmatrix}.$$

### Заключение

Применение метода динамического программирования для

решения транспортной задачи не дает видимого преимущества в смысле вычислительных затрат по сравнению с методом потенциалов. Однако само построение многошагового процесса принятия решений в транспортной задаче и использование принципа оптимальности Беллмана дает большую гибкость в смысле возможности включения в модель различных модификаций задачи. ■

### Литература

1. Плахотич С. А., Чемоданова К. Е. Социально-экономические критерии выбора транспортных средств для обслуживания пассажиров в городском железнодорожном сообщении // Транспорт Урала. 2008. № 2. С. 52–56.
2. Сай В. М. Планетарная структура: корпоративные варианты // Мир транспорта. 2003. Т. 1. № 1. С. 96–102.
3. Wagner H. V. Principles of Operation Research. New Jersey: Yale University, 1969.

Статья сдана в редакцию 22 июля 2009 г.

*И. В. Воскресенский*

## Исследование подсистемы выгрузки в интегрирующем транспортно-технологическом комплексе

Система доставки груза состоит из трех основных подсистем: погрузки, транспортировки и выгрузки. Подсистема выгрузки в интегрирующем транспортно-технологическом комплексе (ТТК) общетранспортного узла находится на третьем иерархическом уровне системы транспортировки груза от поставщика до потребителя и, в свою очередь, является сложной динамической системой [1]. Она содержит: повышенный путь, разгрузочную эстакаду, передвижные машины и механизмы, стационарные машины и механизмы (различного типа вагоноопрокидыватели). Каждый из этих разгрузочных фронтов имеет свою инфраструктуру по обслуживанию грузового потока и «доведению» его до оперативного склада.

Инфраструктура разгрузочно-складской подсистемы со стационарным механизмом — роторным вагоноопрокидывателем представлена на рис. 1 [2]. Выявление и анализ параметров, описывающих работу разгрузочного

фронта, взаимодействие и взаимозависимости между отдельными его элементами, принципов управления функционированием подсистемы является предметом исследований в данной статье.

Согласно общему принципу теории систем [3], необходимо определить: цели формирования и функционирования подсистемы; необходимую для достижения цели функционирования структуру; взаимное влияние рассматриваемой системы и внешней среды; результат функционирования системы и его соизмеримость с поставленной целью.

Цель функционирования подсистемы выгрузки — обеспечение грузодвижения от момента поступления груженого подвижного состава в парк приема станции до момента его складирования в склады различного назначения и выдачи порожнего подвижного состава.

Показатели поведения системы: число и последовательность технологических операций в подсистеме; ее структура; техниче-

---

Сведения об авторе:

**Воскресенский Игорь Владимирович**, и. о. доцента кафедры «Организация перевозок и управления на транспорте» ГОУ ВПО «Сибирский государственный индустриальный университет». Тел.: (3843) 74-86-34, e-mail: wwti@mail.ru.

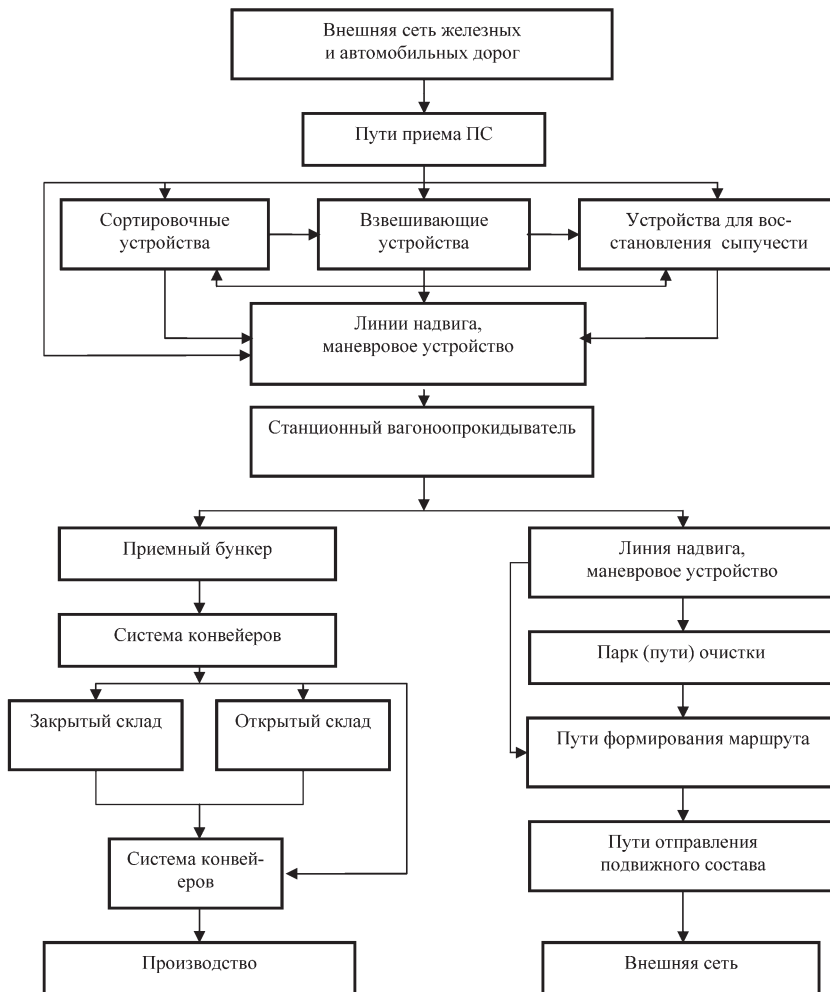


Рис. 1. Структура разгрузочно-складской подсистемы со стационарным вагонопрокидывателем

ские параметры элементов подсистемы (материальных объектов).

Все параметры, характеризующие подсистему, можно условно разделить на исходные и полученные в результате исследования или расчета (таблица 1).

Параметры, характеризующие подсистему выгрузки как систему материальных объектов, представлены в таблице 2.

Структура управления подсистемой разгрузки в величинах пара-

метрического описания, представлена на рис. 2 (затемнением выделено движение грузового потока).

Характер процессов грузопереработки в подсистеме выгрузки является стохастическим как в части поступления грузов, так и в части обслуживания автомобилей и вагонов в системе. Поэтому для исследования процессов, протекающих в подсистеме, применимы методы исследования операций (теория вероятности

и математической статистики, теория массового обслуживания, теория надежности, имитационное моделирование).

Подсистемы разгрузки представляют собой совокупность территориально разобщенных устройств, машин и механизмов. Поэтому возникают такие задачи исследования подсистемы разгрузки

в транспортно-технологическом комплексе: исследование принципиальной разрешимости задачи, выбор метода решения, решение вопросов о технической осуществимости и целесообразности решения задачи; изучение поведения подсистемы и ее свойств в зависимости от характеристики внешних условий структуры,

Таблица 1

|                                                                                              |                                                                                                                                                                                                                                                                                                                                                                                                                                                                                                                                                                                                                                                                                                                                                                                                                                                                            |
|----------------------------------------------------------------------------------------------|----------------------------------------------------------------------------------------------------------------------------------------------------------------------------------------------------------------------------------------------------------------------------------------------------------------------------------------------------------------------------------------------------------------------------------------------------------------------------------------------------------------------------------------------------------------------------------------------------------------------------------------------------------------------------------------------------------------------------------------------------------------------------------------------------------------------------------------------------------------------------|
| <p>Параметры поступления подвижного состава в адрес потребителей (для выгрузки)</p>          | <p><math>Q_r</math> — годовой грузопоток по прибытию, млн т<br/> <math>Q_c</math> — суточный грузопоток по прибытию, тыс. т<br/> <math>N_r</math> — годовой поток вагонов или автомобилей по прибытию (ваг, авт.)<br/> <math>N_c</math> — суточный поток по прибытию вагонов или автомобилей (ваг, авт.)<br/> <math>h_m</math> — величина маршрута, ваг.<br/> <math>h</math> — величина группы вагонов, подаваемая на грузовой фронт<br/> <math>d</math> — количество групп вагонов в маршруте<br/> <math>t_m</math> — интервал поступления подвижного состава в подсистему<br/> <math>n</math> — число подач (групп вагонов или автомобилей) на грузовой фронт в сутки<br/> <math>\lambda_m</math> — интенсивность поступления маршрутов или автомобилей под выгрузку<br/> <math>P_{зп}</math> — вероятность занятости путей и маневровых площадок на фронте выгрузки</p> |
| <p>Параметры работы с поступившими вагонами или автомобилями до подачи на грузовой фронт</p> | <p><math>t_{0/p}</math> — время, необходимое для работы с вагонами или автомобилями до подачи на грузовой фронт<br/> <math>\mu_{0/p}</math> — интенсивность обслуживания подвижного состава<br/> <math>t_{доп.}</math> — дополнительное время работы с подвижным составом до подачи на грузовой фронт, связанное с особыми требованиями к их выгрузке (восстановление сыпучести и т. д.)<br/> <math>\mu_{доп.}</math> — интенсивность дополнительного обслуживания подвижного состава на грузовых фронтах<br/> <math>P_{опп}</math> — вероятность отсутствия подвижного состава для разгрузки</p>                                                                                                                                                                                                                                                                          |
| <p>Параметры поступления подвижного состава на грузовой фронт</p>                            | <p><math>\lambda_{гр.}</math> — интенсивность поступления подвижного состава на грузовой фронт</p>                                                                                                                                                                                                                                                                                                                                                                                                                                                                                                                                                                                                                                                                                                                                                                         |
| <p>Параметры грузовых фронтов и средств выгрузки подвижного состава</p>                      | <p><math>t_{выг.}</math> — время выгрузки подвижного состава на грузовом фронте<br/> <math>\eta_{выг.}</math> — интенсивность выгрузки подвижного состава<br/> <math>P_{згр.}</math> — вероятность занятости грузового фронта подвижным составом<br/> <math>\omega_{гр.}</math> — время ожидания выгрузки на грузовом фронте, связанное с занятостью грузового фронта</p>                                                                                                                                                                                                                                                                                                                                                                                                                                                                                                  |
| <p>Параметры оперативного и основного склада грузов, поступающих на предприятие</p>          | <p><math>E_{ос}</math> — емкость оперативного склада<br/> <math>E_0</math> — емкость основного склада<br/> <math>P_{зс}</math> — вероятность того, что склад заполнен<br/> <math>P_0</math> — вероятность того, что склад свободен</p>                                                                                                                                                                                                                                                                                                                                                                                                                                                                                                                                                                                                                                     |

Таблица 2

Основные параметры подсистемы выгрузки как системы материальных объектов

|                                                                                           |                                                                                                                                                                                                                                                                                                                                                                                                                                                                                                                                                                                           |
|-------------------------------------------------------------------------------------------|-------------------------------------------------------------------------------------------------------------------------------------------------------------------------------------------------------------------------------------------------------------------------------------------------------------------------------------------------------------------------------------------------------------------------------------------------------------------------------------------------------------------------------------------------------------------------------------------|
| Технические параметры грузо-вого фронта и средств погрузки (выгрузки) и перегрузки грузов | $M$ — число каналов обслуживания подвижного состава<br>$i$ — число технологических операций с грузом и подвижным составом в подсистеме<br>$n_0$ — число различных типов механизмов и устройств в основной блок-схеме подсистемы<br>$n_j$ — число различных типов машин, механизмов и устройств на каждой технологической операции<br>$Z_j$ — часовая техническая производительность машин и механизмов<br>$l_{cp}$ — средняя длина грузовых фронтов<br>$r_{гi}$ — обобщенная надежность машин, механизмов и устройств в системе<br>$K_{вр.с}$ — режим использования подсистемы по времени |
| Технические параметры складов сырья и готовой продукции                                   | $n_{cj}$ — число выходов (входов) на склад<br>$Z_{cj}$ — производительность складского оборудования<br>$K_{вр.с}$ — режим работы склада по времени                                                                                                                                                                                                                                                                                                                                                                                                                                        |
| Параметры, характеризующие свойства груза                                                 | $\gamma$ — объемный вес груза<br>$v_{и}$ — скорость выгрузки подвижного состава                                                                                                                                                                                                                                                                                                                                                                                                                                                                                                           |

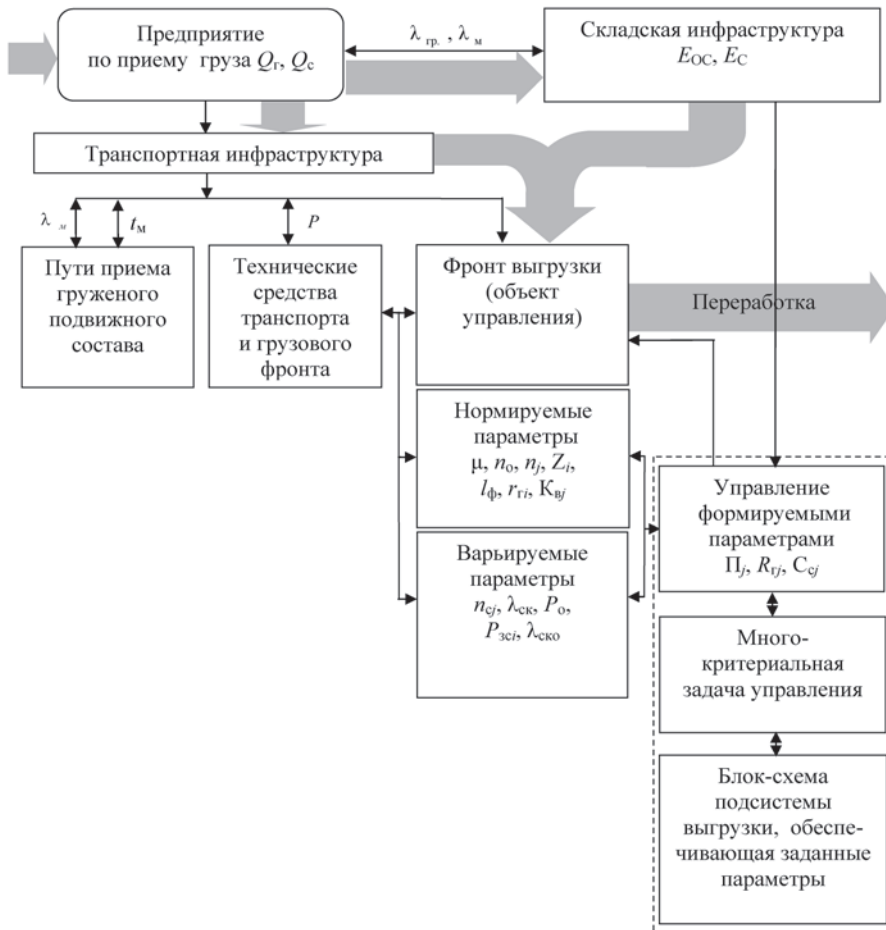


Рис. 2. Структура параметрического управления подсистемы выгрузки в транспортном узле

характеристики элементов (численное значение технико-эксплуатационных параметров), технологии выполнения операций; синтез подсистемы — выбор оптимальной структуры или ее внутренних параметров при заданных характеристиках внешней среды и с учетом ограничений, накладываемых на решение.

Расчет показателей надежности подсистемы разгрузки и ее эксплуатационных параметров будут зависеть от классификационной характеристики системы в целом и подсистем. Для решения задачи подсистему представляем в виде блок-схемы.

Детализация подсистемы по элементам в блок-схеме в рассматриваемом примере: линия надвига ЛН (путь, на который подаются вагоны перед подачей в ротор вагонопрокидывателя, маневровое устройство или локомотив для протяжки вагонов и их подачи в ротор, стрелка и тупик для отхода толкателя в моменты постановки новой подачи); вагонопрокидыватель роторный стационарный ВРС; грузоприемные бункера, включая подбункерный питатель под каждым из них Б; решетка Р (устройство тоже является элементом, так как оно может напрямую влиять на производительность вагонопрокидывателя наличием или отсутствием вибратора или дробильно-фрезерной машины ДФМ (в схемах решетка, оборудованная ДФМ, обозначается РМ)); линия уборки ЛУ (предназначена для сбора порожних вагонов с подроторных путей

и оборудована толкателем или путем с уклоном); система конвейеров К (в том числе перегрузочные узлы от подбункерного питателя до верха склада, открытого или закрытого; в некоторых случаях система конвейеров представляется в виде нескольких элементов:  $K_1, K_2, K_3$  и т. д.); дробильное отделение Д (входит, как правило, в комплекс по приему угля); склад С (включая конвейер по верху силосов и сбрасывающую тележку, при расчете надежности комплекса важен вид склада — открытый  $C_1$  или закрытый  $C_2$ ).

С учетом детализации составлены возможные блок-схемы выгрузочного комплекса (модельные и реальные), оборудованного роторным стационарным вагонопрокидывателем. Блок-схемы составляются для одного канала; на предприятии их может быть несколько.

Как видно из параметрического описания подсистемы разгрузки, построение модели взаимодействия между элементами в терминах теории надежности требует определения следующих экспериментальных характеристик надежности элементов:

$\lambda_{mi}, \lambda_{ci}$  — интенсивность технических и технологических отказов  $i$ -го элемента;  $\mu_{mi}, \mu_{ci}$  — интенсивность восстановления работоспособности после технических и технологических отказов  $i$ -го элемента;  $t_{mi}, t_{ci}$  — средняя наработка на технический и технологический отказы  $i$ -го элемента;  $\tau_{mi}, \tau_{ci}$  — среднее время восстановления работоспособности

после технического и технологического отказа  $i$ -го элемента;  $r_{mi}$ ,  $r_{ci}$ ,  $r_{gi}$  — техническая, технологическая и обобщенная надежность  $i$ -го элемента и подсистемы в целом;  $\lambda_o$ ,  $\lambda_p$ ,  $\lambda_k$  — интенсивность отказов основной, резервированной и комбинированной систем;  $\mu_o$ ,  $\mu_p$ ,  $\mu_k$  — интенсивность восстановления основной, резервированной и комбинированной систем;  $T_{cp.o}$ ,  $T_{cp.p}$ ,  $T_{cp.k}$  — средняя наработка на отказ (технический и технологический) основной, резервированной и комбинированной систем;  $\tau_{во}$ ,  $\tau_{вр}$ ,  $\tau_{вк}$  — среднее время восстановления основной, резервированной и комбинированной систем;  $R_{го}$ ,  $R_{гр}$ ,  $R_{гк}$  — обобщенная надежность основной, резервированной и комбинированной систем.

Необходимо определить не только численное значение исходных характеристик, но и закономерности их изменения по времени, то есть модель отказов и восстановления элементов и подсистемы в целом.

Характеристики работы элементов и подсистемы в целом представлены в таблице 3.

Из таблицы 3 ясно, что время безотказной работы и восстановления работоспособности отдельных элементов и подсистемы в целом как сложной системы подчиняется общим закономерностям теории надежности.

Коэффициент готовности подсистемы разгрузки для основной блок-схемы подсистемы определяется:

$$R_{го} = \prod_{i=1}^n r_{gi}, \quad (1)$$

так как  $r_{gi} = r_{mi} r_{ci}$ , то

$$R_{го} = \prod_{i=1}^n (r_{mi} r_{ci}) = R_{mj} R_{cj}. \quad (2)$$

Коэффициент готовности блок-элемента  $r_{гр}$ . (двух параллельно соединенных равнонадежных элементов) при наличии только технических отказов определяется зависимостью

$$r_{гр.} = r_{mp} = 1 - \prod_1^{m+1} (1 - r_{mi}), \quad (3)$$

а при наличии в подсистеме технических и технологических отказов —

$$r_{гр} = \left[ 1 - \prod_1^{m+1} (1 - r_{mi}) \right] \min [1, (m+1)r_{ci}], \quad (4)$$

где  $m$  — количество резервных элементов.

Показатели технической  $R_{mj}$  и технологической  $R_{cj}$  готовности подсистемы разгрузки по значениям коэффициентов готовности элементов, данных в таблице 3, представлены в таблице 4.

На рис. 3 представлены блок-схемы подсистем разгрузки, оборудованных стационарным роторным вагоноопрокидывателем (номера блок-схем соответствуют номерам блок-схем таблицы 4).

Производительность  $Q_{vj}$  определена:

$$Q_{vj} = QR_{mj}R_{cj}, \quad (5)$$

Работоспособность и восстановление элементов комплекса вагоноопрокидывателя

| Линия надвига                                                                                             |                                                                                                                                                              |
|-----------------------------------------------------------------------------------------------------------|--------------------------------------------------------------------------------------------------------------------------------------------------------------|
| Плотность распределения времени безотказной работы                                                        | Плотность распределения времени восстановления работоспособности                                                                                             |
| Линия надвига                                                                                             |                                                                                                                                                              |
| $f(t) = 4t_i^{-2t_i/t_{cp}}; t_{cp} = 296,6 \text{ мин}; v = 0,876; r_{mi} = 1; r_{ci} = 0,924$           | $f(\tau_{bi}) = 4\tau_{bi} e^{-\frac{2\tau_{bi}}{t_{cp}}}; \tau_{cp} = 23,1 \text{ мин}; v = 0,672$                                                          |
| Решетка                                                                                                   |                                                                                                                                                              |
| $r_{mi} = 1; r_{ci} = 0,924$                                                                              | $f(\tau_{bi}) = \frac{\tau_{bi}}{\sigma_\tau^2} e^{-\frac{\tau_{bi}^2}{2\sigma_\tau^2}}; \sigma_\tau = \frac{\tau_{cp}}{1,253}; \tau_{cp} = 23,1; v = 0,660$ |
| Приемный бункер                                                                                           |                                                                                                                                                              |
| $f(t_i) = \lambda e^{-\lambda t_i}; t_{cp} = 1076,5; v = 0,888; r_{mi} = 1; r_{ci} = 0,981$               | $f(\tau_{bi}) = \mu_i e^{-\mu_i \tau_{bi}}; \tau_{cp} = 19,9 \text{ мин}; v = 0,93$                                                                          |
| Линия уборки                                                                                              |                                                                                                                                                              |
| $r_{mi} = 1; r_{ci} = 1$                                                                                  |                                                                                                                                                              |
| Конвейеры                                                                                                 |                                                                                                                                                              |
| $f(t_i) = \lambda e^{-\lambda t_i}; t_{cp} = 1071,3 \text{ мин}; v = 0,94; r_{mi} = 0,98; r_{ci} = 0,956$ | $f(\tau_{bi}) = \mu_i e^{-\mu_i \tau_{bi}}; \tau_{cp} = 60,9 \text{ мин}; v = 0,98$                                                                          |
| Дробильное отделение                                                                                      |                                                                                                                                                              |
| $f(t_i) = \lambda e^{-\lambda t_i}; t_{cp} = 556 \text{ мин}; v = 1,1; r_{mi} = 0,96; r_{ci} = 1$         | $f(\tau_{bi}) = \mu_i e^{-\mu_i \tau_{bi}}; \tau_{cp} = 30 \text{ мин}; v = 1$                                                                               |
| Склады                                                                                                    |                                                                                                                                                              |
| $f(t_i) = \lambda e^{-\lambda t_i}; t_{cp} = 787,5 \text{ мин}; v = 1,1; r_{mi} = 1; r_{ci} = 0,962$      | —                                                                                                                                                            |
| Комплекс в целом                                                                                          |                                                                                                                                                              |
| $f(t_i) = \lambda e^{-\lambda t_i}; t_{cp} = 104,5 \text{ мин}; v = 1,2$                                  | $f(\tau_{bi}) = \mu_i e^{-\mu_i \tau_{bi}}; \tau_{cp} = 60,9 \text{ мин}; v = 0,98$                                                                          |

Таблица 4

| Блок-схема                                             | Надежность |          |          | $Q_{rj}$<br>ваг./ч |
|--------------------------------------------------------|------------|----------|----------|--------------------|
|                                                        | $R_{Tj}$   | $R_{Cj}$ | $R_{Rj}$ |                    |
| Основная блок-схема                                    | 0,894      | 0,713    | 0,637    | 17,20              |
| Системное резервирование                               | 0,868      | 1,000    | 0,868    | 23,44              |
| Резервирована только ЛН                                | 0,931      | 0,843    | 0,785    | 21,19              |
| Резервирована группа (ВРС – Р – Б)                     | 1,000      | 0,699    | 0,699    | 18,87              |
| Резервирована только ЛУ                                | 1,000      | 0,651    | 0,651    | 17,58              |
| Резервирован только К                                  | 0,698      | 1,000    | 0,698    | 18,85              |
| Резервирован только С                                  | 1,000      | 0,656    | 0,656    | 17,71              |
| Полное поэлементное резервирование элементов комплекса | 1,000      | 0,995    | 0,995    | 26,86              |

где  $Q$  — паспортная производительность вагоноопрокидывателя (30 ваг./ч).

По данным таблицы 4 можно сделать выводы: 1) при номинальной производительности ВРС (30 ваг./ч) реальная может меняться в широком диапазоне в зависимости от развития инфраструктуры ВРС. Следовательно, пренебрежение этим фактором может привести к неправильному расчету грузопроводящей способно-

сти промышленного узла; 2) отказы комплекса по технологическим причинам оказывают большее влияние на надежность, чем отказы технические. Этот вывод дает основание использовать теорию надежности для целей синтеза комплексов с заранее заданными свойствами (уровень технической и технологической надежности, производительность, энергоемкость, суммарные приведенные затраты и др.) на стадии

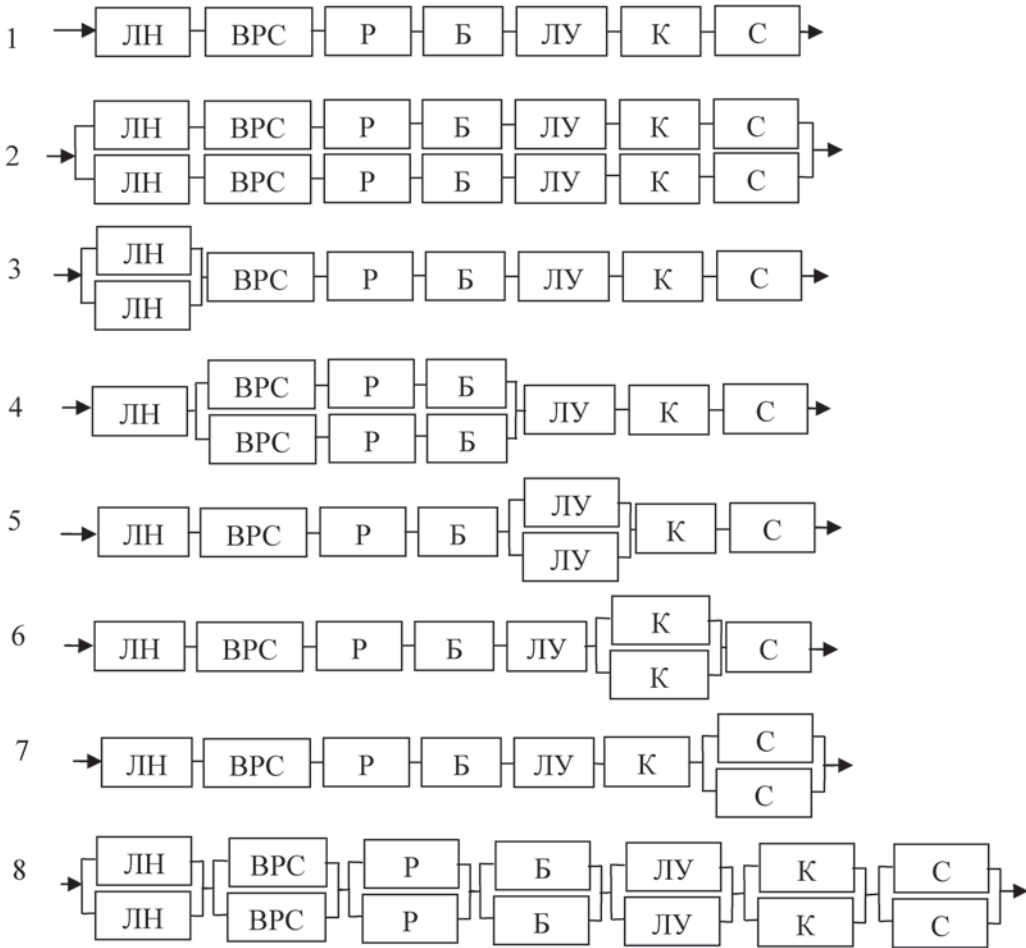


Рис. 3. Возможные варианты структур подсистемы разгрузки с вагоноопрокидывателем

проектирования, строительства, эксплуатации или реконструкции комплекса.

Таким образом, в результате исследования выявлены параметры, описывающие работу разгрузочного фронта, взаимодействие и

взаимозависимость между отдельными его элементами, дающие возможность управлять функционированием подсистемы разгрузки в составе интегрирующего транспортно-технологического комплекса. ■

## Литература

1. Воскресенский И. В. Исследование интегрирующих транспортно-технологических модулей в горнодобывающей промышленности. Новосибирск: Изд-во СО РАН, 2006. 64 с.
2. Воскресенский И. В., Воскресенская Т. П. Концепция политранспортного обслуживания угледобывающего полигона (С. 179–188). Политранспортные системы Сибири: Матер. VI Всеросс. научн.-техн. конф. Новосибирск: Изд-во СГУПС, 2009. Ч. 1. 540 с.
3. Гиг Дж. Ван. Прикладная общая теория систем. М.: Мир, 1981. 336 с.

*Статья сдана в редакцию 21 июня 2009 г.*

# БЕЗОПАСНОСТЬ ЖИЗНЕДЕЯТЕЛЬНОСТИ. ОХРАНА ОКРУЖАЮЩЕЙ СРЕДЫ

*В. Ф. Бухтояров*

## Управление профессиональной безопасностью работников железнодорожного транспорта

Более 80 % всех несчастных случаев от воздействия электрического тока на предприятиях и в организациях железнодорожного транспорта вызваны неправильными действиями (или бездействием) как самих пострадавших, так и других работников, в том числе организующих работы в электроустановках.

Снижение ошибочных и неправильных действий может быть достигнуто путем совершенствования системы обучения персонала с целью обеспечения соответствия уровней его квалификации и компетентности степени сложности и опасности выполняемых им работ (задач, функциональных обязанностей); подбором работников по профессиональному признаку; информированием работников о существующих на рабочих местах рисках; контролем

(самоконтролем) безопасности деятельности персонала; повышением культуры безопасности; развитием у работников способностей к вероятностному прогнозированию.

Совершенствование системы обучения должно быть направлено на повышение образованности и компетентности работников в области производственного менеджмента, включая безопасность производственной среды и организацию безопасного производства работ, что в рыночных условиях приобретает особую актуальность.

Это связано с необходимостью перехода на новую, более жизнеспособную концепцию (политику) обеспечения безопасности, предложенную Минздравсоцразвития России, — концепцию оценки и управления профессио-

---

Сведения об авторе:

**Василий Федорович Бухтояров**, доктор технических наук, профессор кафедры «Электротехнические дисциплины» ЧИПС–УрГУПС. E-mail: [bvf@is74.ru](mailto:bvf@is74.ru).

нальными рисками, сочетающую в себе организационные, технические, экономические, социальные и другие аспекты.

В соответствии с этой концепцией, безопасность производства обеспечивается при условии оценки и осуществления эффективного контроля над производственными рисками, включая профессиональные, организационные и др.

Переход на новую концепцию обеспечения безопасности требует получения руководителями и специалистами системных знаний по вопросам организации безопасного производства работ и понимания ими безопасности как социально-экономической категории.

При переходе на новую концепцию обеспечения безопасности труда должны учитываться требования ФЗ «О промышленной безопасности опасных производственных объектов» (1997 г.) и Трудового кодекса РФ (2001 г.) в отношении безопасности. Главнейшее здесь — обеспечение приоритета жизни и здоровья работников по сравнению с производственными показателями.

Для предупреждения несчастных случаев и аварий необходимо имеющиеся ресурсы (людские, материальные, финансовые, информационные, коммуникационные и др.) направлять на повышение эффективности деятельности работодателей по улучшению условий труда работников, обеспечению безопасности и безаварийности эксплуатации производст-

венных объектов, систем, зданий и сооружений.

Действующая в настоящее время система обучения персонала организации безопасной эксплуатации электроустановок и других производственных объектов предусматривает профессиональную подготовку, различные инструктажи, стажировку, дублирование, обучение на рабочем месте, повышение квалификации по специальности и т. д. Ее основу составляют методы и средства обучения и контроля знаний, используемые в учебных заведениях.

Исследования показали, что широко используемые традиционные (словесные) методы обучения наименее эффективны [1]. Эти методы характеризуются высокой трудоемкостью и субъективностью процессов (процедур) обучения и контроля знаний персонала, что связано, во-первых, с большим объемом содержащейся в правилах безопасности информации, которая слабо структурирована, а, во-вторых, с отсутствием эффективных средств ее автоматизации.

По мнению экспертов, эффективное обучение руководителей, специалистов и рабочих может быть обеспечено проведением практических занятий и деловых игр, а уровень компетентности персонала в области безопасности производства и его подготовленности к безопасному выполнению работ может быть оценен с помощью автоматизированного компьютерного контроля знаний, умений и навыков. Это пред-

ставляется возможным на основе программного обеспечения, позволяющего создавать виртуальные модели отдельных видов работ и прогнозировать правильность поведения персонала при их производстве.

В результате проведенных исследований установлено также, что для повышения уровня компетентности персонала и улучшения качества его подготовки необходимо применять активные методы и технологии обучения [2].

Очень перспективны в этом смысле компьютерные и интерактивные технологии в сочетании с практическими занятиями. Применение компьютерной техники в обучении повышает заинтересованность и внимание обучаемых, позволяет оценивать результаты их действий в синтезированной интерактивной среде и тестировать уровень знаний и умений. Однако эффективное использование этих технологий возможно при условии структурирования и упорядочения информации (знаний и умений) по безопасности, наглядного представления ее в виде логических моделей (графов) и требует создания многофункционального пользовательского интерфейса. Такой подход способствует лучшему пониманию и усвоению информации.

Очень удобен многоканальный человеко-машинный интерфейс, позволяющий на основе технологий виртуальной реальности передавать визуальную, аудио- и другую информацию в удобном для пользователя виде, что дает

возможность получения знания в необходимом для работы объеме с последующим преобразованием полученного знания в умения и устойчивые навыки.

Повышенные требования должны предъявляться, прежде всего, к качеству подготовки ответственных руководителей и производителей работ, так как эти работники несут наибольшую ответственность за организацию безопасного ведения работ.

Соответствие уровня профессиональной компетентности персонала требованиям выполняемой работы или решаемой задачи возможно на основе создания в организациях систем управления качеством подготовки работников (СУКПР).

Целевая функция СУКПР — достижение уровня квалификации (знаний, умений и навыков), необходимого и достаточного для организации безопасного ведения работ и безопасного выполнения отдельных операций и процессов.

Система обучения и проверки знаний обеспечивает приобретение знаний, умений и навыков в объеме, необходимом для безопасного и квалифицированного исполнения своих должностных или профессиональных обязанностей (функций); повышает заинтересованность в обучении безопасным методам и приемам выполнения работ и в повышении своей компетентности; обучает умению прогнозировать реальную обстановку, оценивать и предвидеть ход событий и степень их

опасности, управлять рисками; обучать навыкам защиты от опасностей в условиях нештатных (аварийных) ситуаций и состояний; обеспечивает постоянное информирование работников обо всех изменениях в нормативно-правовой базе, условиях производства работ и т. д.; обеспечивает учебно-методическими посо-

биями, в которых информация упорядочена, структурирована и представлена для визуального восприятия. Эта система эффективно функционирует при имеющихся ресурсах.

Для решения указанных выше задач разработана структура СУКПР, включающая (рис.1): подсистему обеспечения ресурсами 1;

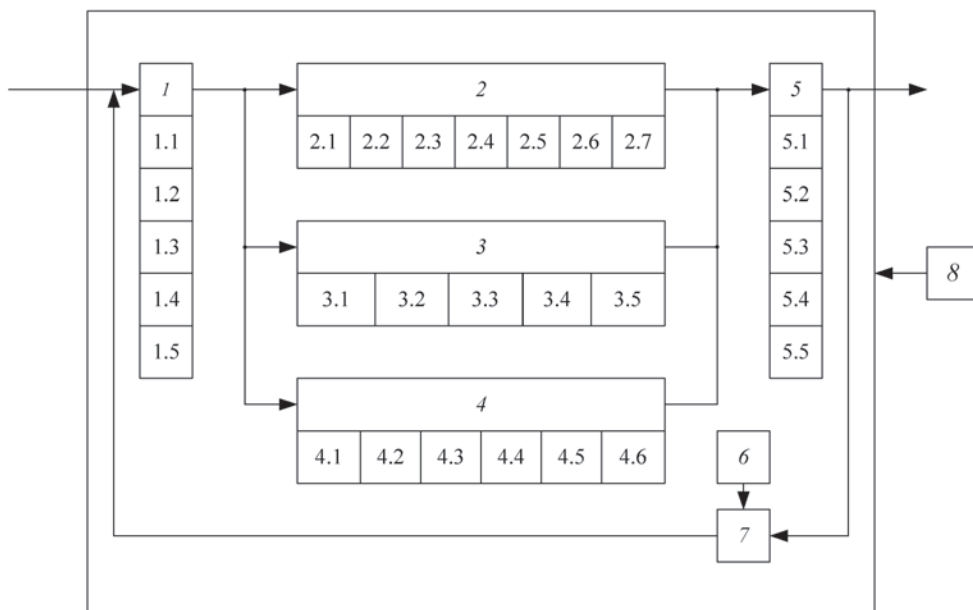


Рис. 1. Структура системы управления качеством подготовки работников

1 — подсистема обеспечения ресурсами: 1.1 — нормативно-правовое обеспечение; 1.2 — информационно-методическое обеспечение; 1.3 — организационное обеспечение; 1.4 — людское обеспечение; 1.5 — финансовое и материальное обеспечение; 2 — управляющая подсистема: 2.1 — стратегический маркетинг; 2.2 — планирование процессов (процедур) и видов деятельности; 2.3 — организация процессов и видов деятельности; 2.4 — контроль и учет; 2.5 — регулирование; 2.6 — мотивация персонала; 2.7 — координация деятельности (работ); 3 — подсистема выработки управленческих решений: 3.1 — подходы к управлению (менеджменту); 3.2 — принципы управления; 3.3 — методы управления; 3.4 — управление персоналом; 3.5 — принятие управленческих решений; 4 — управляемая подсистема: 4.1 — обучающийся персонал; 4.2 — образовательный комплекс (стандарты, учебные планы и программы, учебный материал); 4.3 — методы и формы обучения; 4.4 — преподавательский состав; 4.5 — образовательные (обучающие) учреждения (центры); 4.6 — профотбор; 5 — подсистема целей: 5.1 — повышение качества обучения работников; 5.2 — формирование профессиональных компетентностей и навыков; 5.3 — повышение безопасности деятельности работников; 5.4 — снижение уровня профессионального риска и расходов на страхование от несчастных случаев; 5.5 — формирование культуры безопасного поведения; 6 — критерий эффективности «стоимость — качество подготовки»; 7 — блок выработки корректирующих решений; 8 — внешняя среда

управляющую подсистему 2; подсистему выработки управленческих решений 3; управляющую подсистему 4 и подсистему целей 5 [2].

Подсистема 1 обеспечения ресурсами (нормативно-правовыми, информационно-методическими, трудовыми, денежными, материальными и т. д.) — важная составная часть СУКПР. Она определяет виды и объемы ресурсов на подготовку работников, оценивает эффективность их использования с точки зрения достижения поставленной цели.

Основными функциями управляющей подсистемы 2 являются: стратегический маркетинг — комплекс работ по формированию банка данных по новым эффективным технологиям и методам обучения (деловые игры, интерактивные технологии и др.) и организационному развитию персонала по новым подходам к его управлению, по информационным стратегиям и инновационным знаниям и умениям; планирование и организация учебного процесса, информационного обеспечения и видов деятельности (определение объемов ресурсов, содержания учебных программ, выбор технологий обучения, учебных материалов, технических средств, подбор преподавателей и т. п.); учет и контроль выполнения программ и планов, эффективности обучения и работы управляющей подсистемы, экономический учет; регулирование корректирующих воздействий и ресурсных потоков, направ-

ленных на повышение качества управленческих решений; изменение входных и выходных параметров процессов обучения и подготовки работников; актуализацию нормативных актов и документов; мотивацию персонала к обучению и повышению его профессиональной компетентности; координацию деятельности (работ) по достижению целей, выполнению планов, реализации функций и задач всеми компонентами СУКПР.

Основные компоненты подсистемы 3 выработки управленческих решений: подходы к управлению качеством подготовки работников (процессно-деятельностный, ресурсный, поведенческий (мотивационный), нормативный, инновационный и т. д.); принципы управления (нормативно-правовая регламентация, экономия ресурсов, обратная связь, рациональное сочетание форм и методов управления, ориентация деятельности на повышение качества обучения, автоматизация процессов управления, адаптация к изменениям во внутренней и внешней среде и др.); методы управления, ориентированные на повышение качества подготовки персонала и включающие: анализ; прогнозирование; планирование и организацию процессов; учет, контроль и мотивацию; функционально-стоимостной, системный и факторный анализ; стратегический и тактический маркетинг; управление персоналом (выработка навыков безопасной и производительной работы,

непрерывное профессиональное обучение, аттестация, инструктаж) и принятие управленческих решений.

Управляемая подсистема 4 состоит из традиционных компонентов учебного процесса (слушателей, преподавателей, форм, методов и средств обучения, программ и др.).

Целевая подсистема 5 включает пять основных компонентов — подцелей, достижение которых обеспечивает формирование требуемых профессиональных компетенций и навыков.

Отличительная особенность разработанной структуры СУКПР состоит в том, что она построена на использовании так называемого процессно-деятельностного подхода. В основе этого подхода — комплекс взаимосвязанных процессов (видов скоординированной и управляемой деятельности, использующей ресурсы и преобразующей входы процессов в выходы с указанием сроков, стоимости и ресурсов).

Критерием эффективности деятельности по управлению качеством подготовки персонала является степень соответствия выходных данных процессов (качество подготовки) входным (стоимость): «стоимость – качество подготовки».

Условие результативности деятельности организации по управлению качеством подготовки персонала можно представить в виде

$$\frac{R}{N} \rightarrow \min \text{ при } K_k \rightarrow 1,$$

где  $R$  — объем ресурсов;  $N$  — среднесписочная численность работников организации, подлежащих обучению;  $K_k$  — интегральный коэффициент компетентности, характеризующий оценки знаний, умений и личностных качеств персонала [2, 3].

В общем случае  $K_k$  может изменяться от 0 до 1. Его минимальное значение должно быть не менее 0,6, и оно может быть принято за критерий пригодности работника к выполнению той или иной работы (функции, операции) или к решению той или иной задачи.

## Выводы

1. Одним из ключевых направлений обеспечения профессиональной безопасности работников является повышение качества их подготовки в области организации безопасного производства работ.

2. Для формирования у работников требуемых профессиональных компетенций и навыков рекомендуется создание в организациях и на предприятиях систем управления качеством подготовки работников, построенных на основе процессно-деятельностного подхода.

3. Критерием эффективности деятельности по управлению качеством подготовки персонала является «стоимость – качество подготовки». ■

## Литература

1. Орешков В. В. Результаты экспертной оценки эффективности существующей системы обучения охране труда работников железнодорожного транспорта // Сб. докладов региональной научно-практической конференции: Новейшие достижения науки и техники на железнодорожном транспорте (Челябинск, 22–23 июля 2004 г.). Ч. 2. С. 173–177.

2. Бухтояров В. Ф., Орешков В. В. Методы и модели управления качеством подготовки электротехнического персонала и безопасностью его деятельности // Электробезопасность. 2004. № 1–2. С. 27–35.

3. Орешков В. В. Методика оценки компетентности работников, эксплуатирующих электроустановки // Молодые ученые — транспорту: Труды V межвузовской научн.-техн. кон. Екатеринбург: УрГУПС. В 2-х ч. Ч. 2. 2005. С. 336–343.

*В. Ф. Бухтояров*

## Организационные особенности безопасного производства работ в электроустановках железнодорожного транспорта

Выполнение работ в электроустановках железнодорожного транспорта связано с повышенным риском для жизни и здоровья работников. Величина этого риска напрямую зависит от уровня организации работ и от степени соблюдения действующих правил безопасности [1]. Чем выше уровень безопасности производства, тем меньше вероятность причинения вреда здоровью. При высокой организации работ риск травмирования работников приближается к нулевому значению [2].

Анализ производственного электротравматизма, выполненный на предприятиях Южно-Уральской железной дороги, свидетельствует о высокой тяжести электропоражений, хотя в структуре общего производственного травматизма он имеет относительно небольшую (менее 5 %) долю. Удельный вес электротравм со смертельным исходом составляет в среднем 20 % (в отдельные годы — до 40 %) от всех несчастных случаев на железнодорожном транспорте. Это практически каждая третья электротравма.

До 10 % всех травмированных приходится на инженерно-технических работников.

Исследованием динамики причин рассматриваемого явления, проведенным по данным об электротравматизме в 1989–2004 гг., установлено, что доминируют причины: а) зависящие от самого пострадавшего и б) зависящие от уровня организации производства работ в электроустановках [3].

По этим причинам произошло около 90 % всех случаев травмирования электрическим током и подавляющее большинство (96,8 %) случаев со смертельным исходом.

Анализ электротравматизма также показывает, что несчастные случаи, связанные с самими пострадавшими, происходят вследствие неправильных (опасных) действий и решений на стадии подготовки к работе и перед началом работы, во время ее выполнения и окончания [3]. При этом две трети всех несчастных случаев происходит во время выполнения работы; около 20 % случаев наблюдается перед ее началом и до 8 % — по окончании.

У каждого пострадавшего свои причины опасных и неверных действий и ошибочных решений, приведших к их травмированию, но общее для большинства случаев — полное или частичное несоблюдение правил безопасности, устанавливающих порядок и организацию безопасного выполнения работ на объекте, а также контроль за их выполнением [1].

Характерные нарушения порядка и условий ведения работ:

самовольное проведение работ; расширение рабочих мест, определенных заданием; допуск к работам без проведения инструктажа; отсутствие должного контроля со стороны руководителей работ или лиц, ответственных за организацию безопасного производства; изменение предусмотренных мер безопасности; неприменение средств индивидуальной защиты и т. д.

Как показывают исследования [4], безопасность электротехнического персонала, его защита от поражения электрическим током при производстве работ с высокой вероятностью обеспечиваются лишь при полном соблюдении требований правил безопасности.

Правила безопасности — это, по сути, система мер защиты работников, созданная не логическим путем, а на основе горького и трагического опыта многих других, в том числе заплативших жизнью во имя спасения живущих и работающих ныне в электроустановках. Пренебрегать этим опытом равносильно нежеланию спасать самого себя.

Объем правил безопасности, устанавливающих порядок и условия безопасного производства работ в электроустановках, значителен, и не каждый в состоянии его запомнить. Например, одних только запретов более полусотни. Кроме того, они плохо структурированы, что затрудняет их усвоение, а в ряде случаев — адаптацию к конкретным условиям и особенностям применяемых электроустановок.

Для уменьшения вероятности принятия ошибочных решений при производстве работ в электроустановках разработаны в графическом виде логические модели безопасного ведения работ (модели безопасности работ) в электроустановках, адекватно описывающие действия (операции), организационные и технические ме-

роприятия по обеспечению безопасности производства работ, предусмотренные правилами безопасности.

На рис. 1–3 в представлены модели организации безопасного ведения работ на электродвигателях, масляном выключателе и при испытании кабеля мегаомметром.

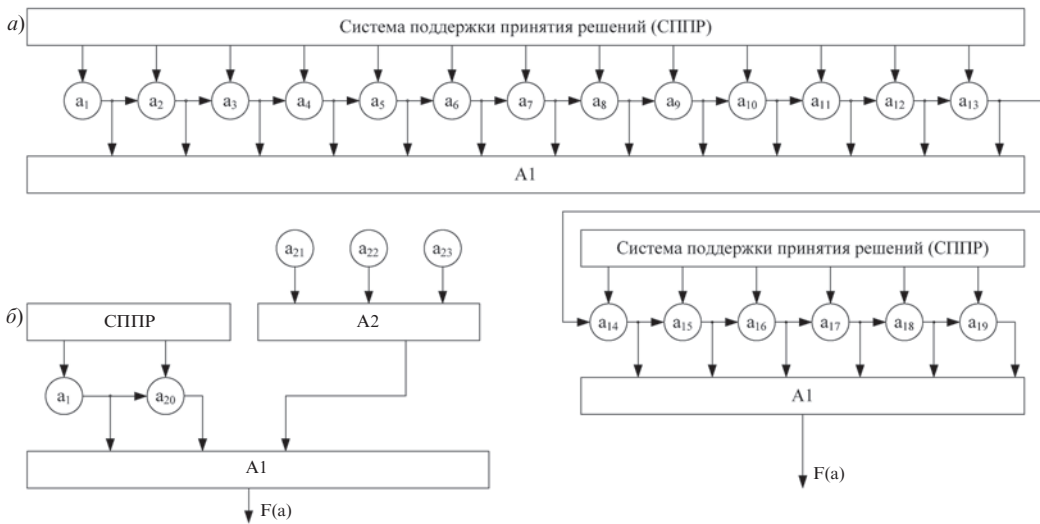


Рис. 1. Модель организации безопасного ведения работ на электродвигателях

*а* — на отключенном от электросети электродвигателе;  
*б* — на работающем электродвигателе

$a_1$  — оформление и выдача наряда (распоряжения) на работу;  $a_2$  — получение разрешения на подготовку рабочего места;  $a_3$  — проверка наличия средств индивидуальной защиты;  $a_4$  — отключение напряжения;  $a_5$  — блокирование возможности ошибочного или самопроизвольного включения напряжения;  $a_6$  — проверка исправности указателя напряжения;  $a_7$  — проверка отсутствия напряжения;  $a_8$  — установка защитного заземления;  $a_9$  — вывешивание плакатов и ограждение рабочего места;  $a_{10}$  — запираание на замок штурвалов запорной арматуры (задвижек, вентилях, шиберов и т.п.) механизмов (дымососы, вентиляторы, насосы и др.), от которых электродвигатель способен к вращению;  $a_{11}$  — затормаживание ротора электродвигателя или расцепление соединительной муфты;  $a_{12}$  — проверка правильности подготовки рабочего места;  $a_{13}$  — проведение целевого инструктажа;  $a_{14}$  — оформление начала работы и первичный допуск бригады к работе;  $a_{15}$  — надзор во время работы;  $a_{16}$  — удаление бригады с рабочего места производителем работ по окончании работы;  $a_{17}$  — оформление окончания работы;  $a_{18}$  — сдача наряда оперативному персоналу;  $a_{19}$  — снятие установленных заземлений, ограждений, замков, плакатов, выполнение сборки схемы оперативным персоналом;  $a_{20}$  — использование электрозащитных средств;  $a_{21}$  — запрет работать в одежде с короткими рукавами и использовать металлические метры, ножовки и т.п.;  $a_{22}$  — запрет прикасаться без применения электрозащитных средств к изолирующим частям электродвигателя, находящегося под напряжением;  $a_{23}$  — запрет снимать ограждения вращающихся частей работающего электродвигателя и механизма; A1 и A2 — логические функции (операции) приоритетная конъюнкция И и дизъюнкция ИЛИ-НЕ соответственно; F(a) — оператор безопасности производства работ

Из рисунков видно, какие действия (операции) и в какой последовательности необходимо выполнить при проведении работы в электроустановках.

Особенность разработанных моделей — наличие системы поддержки принятия решений (СППР), ориентированной на предоставление лицу, принимающему решение (ЛПР), помощи в поиске и выборе «безопасного» организационного или технического решения [2].

В СППР содержатся блоки баз знаний и данных, блоки моделей и алгоритмов, обеспечивающих безопасность деятельности работников, эксплуатирующих электроустановки.

В соответствии с приведенными моделями, операторы безопасного ведения работ имеют следующий вид:

а) при работах на отключенном от электросети электродвигателе (рис. 1, а)

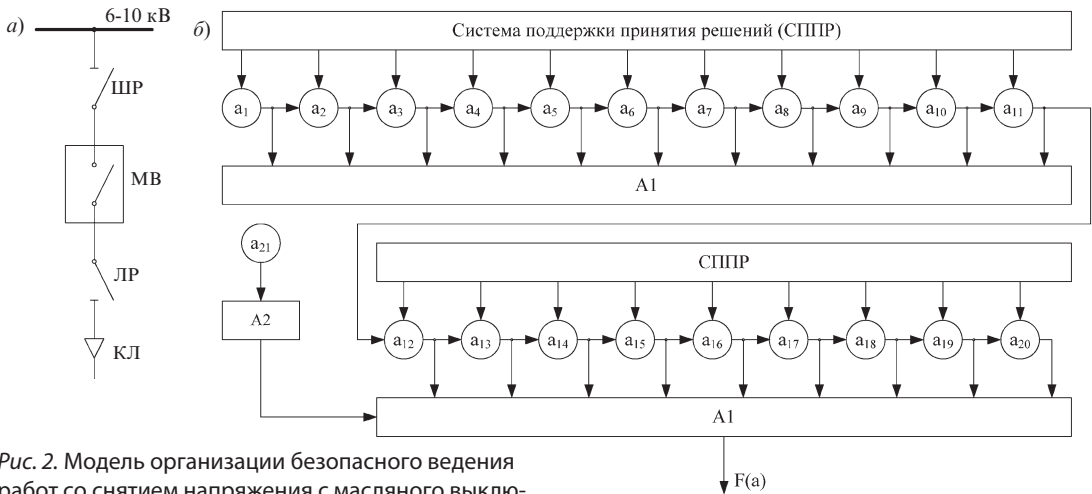


Рис. 2. Модель организации безопасного ведения работ со снятием напряжения с масляного выключателя 6–10 кВ

а — электрическая схема подключения масляного выключателя; б — модель организации безопасного ведения работ

ШР — шинный разъединитель; МВ — масляный выключатель; ЛР — линейный разъединитель; КЛ — кабельная линия;  $a_1$  — оформление и выдача наряда (распоряжения) на работу;  $a_2$  — получение разрешения на подготовку рабочего места;  $a_3$  — проверка наличия средств индивидуальной защиты;  $a_4$  — отключение масляного выключателя;  $a_5$  — блокирование возможности ошибочного или самопроизвольного включения масляного выключателя;  $a_6$  — проверка исправности указателя напряжения;  $a_7$  — проверка отсутствия напряжения;  $a_8$  — отключение линейного разъединителя;  $a_9$  — отключение шинного разъединителя;  $a_{10}$  — установка переносных заземлений или включение заземляющих ножей (при их наличии);  $a_{11}$  — вывешивание плакатов и ограждение рабочего места;  $a_{12}$  — проверка правильности подготовки рабочего места;  $a_{13}$  — проведение целевого инструктажа;  $a_{14}$  — оформление начала работы и первичный допуск бригады к работе;  $a_{15}$  — надзор во время работы;  $a_{16}$  — оформление окончания работы и удаление бригады с рабочего места;  $a_{17}$  — снятие плакатов и ограждения рабочего места;  $a_{18}$  — включение шинного разъединителя;  $a_{19}$  — включение линейного разъединителя;  $a_{20}$  — включение масляного выключателя;  $a_{21}$  — запрет включения масляного выключателя при нахождении возле него работающих; А1 и А2 — логические функции (операции) приоритетная конъюнкция И и НЕ соответственно;  $F(a)$  — оператор безопасности производства работ

$$F(a) = a_1 \cdot a_2 \cdots a_{19},$$

где  $a_1, a_2, \dots, a_{19}$  — требования безопасности (обязательные действия, операции);  $[\cdot]$  — знак логического умножения;

б) при работах на работающем электродвигателе (рис. 1, б)

$$F(a) = a_1 \cdot a_2 \cdots a_{20} (a_{21} + a_{22} + a_{23}),$$

где  $a_1, a_2, \dots, a_{20}$  — требования безопасности;  $a_{21}, a_{22}, a_{23}$  — недопусти-

мые действия;  $[+]$  — знак логического сложения;

в) при работах со снятием напряжения с масляного выключателя (рис. 2)

$$F(a) = a_1 \cdot a_2 \cdots a_{20} \cdot a_{21},$$

где  $a_1, a_2, \dots, a_{20}$  — требования безопасности;  $a_{21}$  — запрет (недопустимое действие);

г) при испытании кабеля мегаомметром (рис. 3)

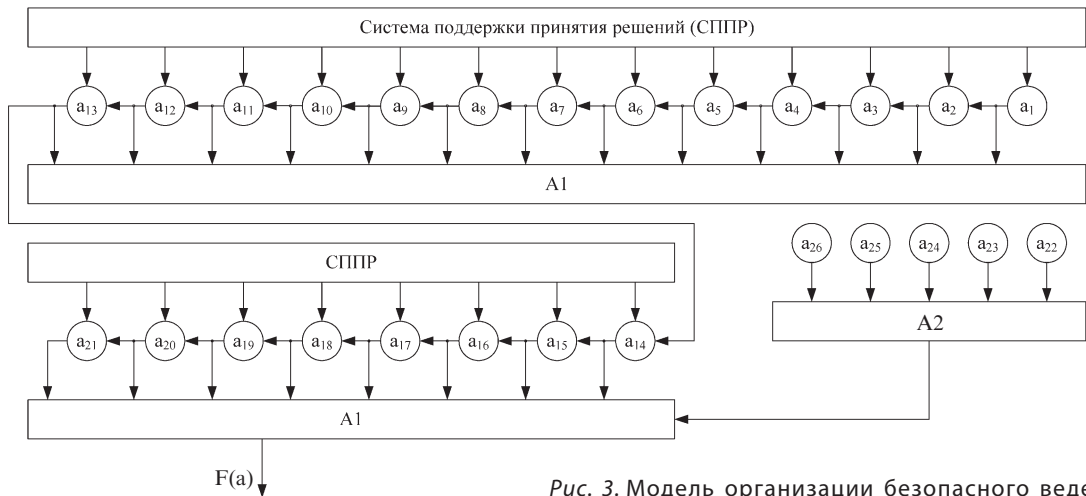


Рис. 3. Модель организации безопасного ведения работ при испытании кабеля мегаомметром

$a_1$  — оформление и выдача наряда (распоряжения) на работу;  $a_2$  — получение разрешения на подготовку рабочего места;  $a_3$  — проверка наличия средств индивидуальной защиты;  $a_4$  — отключение напряжения;  $a_5$  — блокирование возможности ошибочного или самопроизвольного включения напряжения;  $a_6$  — проверка исправности указателя напряжения;  $a_7$  — проверка отсутствия напряжения;  $a_8$  — установка защитного заземления для снятия остаточного заряда;  $a_9$  — вывешивание плакатов и ограждение рабочего места;  $a_{10}$  — проверка правильности подготовки рабочего места;  $a_{11}$  — проведение целевого инструктажа;  $a_{12}$  — оформление начала работы и первичный допуск бригады к работе;  $a_{13}$  — присоединение мегаомметра к испытываемому кабелю;  $a_{14}$  — снятие заземления;  $a_{15}$  — включение мегаомметра и подача напряжения на кабель;  $a_{16}$  — проведение испытаний;  $a_{17}$  — отключение мегаомметра и снятие напряжения с кабеля;  $a_{18}$  — установка защитного заземления для снятия остаточного заряда;  $a_{19}$  — отсоединение от кабеля мегаомметра;  $a_{20}$  — надзор во время работы;  $a_{21}$  — использование электроразличительных средств;  $a_{22}$  — запрет работать в одежде с короткими рукавами и использовать металлические метры, ножовки и т. п.;  $a_{23}$  — запрет работать в согнутом положении, если при выпрямлении расстояние до токоведущих частей, находящихся под напряжением, окажется менее допустимого;  $a_{24}$  — запрет работать около неогражденных токоведущих частей, которые находятся либо сзади, либо с двух боковых сторон;  $a_{25}$  — запрет снимать заземление с испытываемого кабеля до подключения мегаомметра;  $a_{26}$  — запрет прикасаться к токоведущим частям, к которым присоединен мегаомметр; A1 и A2 — логические функции (операции) приоритетная конъюнкция И и дизъюнкция ИЛИ-НЕ соответственно; F(a) — оператор безопасности производства работ

$$F(a) = a_1 \cdot a_2 \dots a_{21} (a_{22} + a_{23} + a_{24} + a_{25} + a_{26}),$$

где  $a_1, a_2, \dots, a_{21}$  — требования безопасности;  $a_{22}, a_{23}, a_{24}, a_{25}, a_{26}$  — недопустимые действия.

Основным достоинством таких моделей является возможность наглядного, полного и упорядоченного представления информации, необходимой для принятия адекватных решений по обеспечению безопасности той или иной работы. Это позволяет существенно уменьшить риск неправильных действий или решений.

Практическая реализация разработанных моделей будет способствовать предупреждению опасных действий персонала и уменьшению на этой основе уровней профессиональных рисков.

## Литература

1. Межотраслевые правила по охране труда (правила безопасности) при эксплуатации электроустановок. М.: Изд-во НЦ ЭНАС, 2003. 192 с.
2. Бухтояров В. Ф., Орешков В. В. Методы и модели управления качеством подготовки электротехнического персонала и безопасностью его деятельности // *Электробезопасность*. 2004. № 1–2. С. 27–35.
3. Бухтояров В. Ф., Орешков В. В., Динамика причин электротравматизма по временным параметрам // *Электробезопасность*. 2004. № 4. С. 16–20.
4. Бухтояров В. Ф., Орешков В. В. Система защиты персонала от поражения электрическим током при работах в электроустановках // *Электробезопасность*. 2003. № 2–3. С. 47–57.
5. Бухтояров В. Ф., Орешков В. В. Управление безопасностью при эксплуатации электроустановок // *Электробезопасность*. 2005. № 1. С. 7–15.

## Выводы

1. По причинам, зависящим от самих пострадавших и от уровня организации производства работ в электроустановках, произошло около 90 % всех случаев травмирования электрическим током и абсолютное большинство случаев со смертельным исходом.

2. Преобладающей для всех пострадавших причиной травмирования электрическим током являются всевозможные нарушения правил безопасности, которые могут происходить вследствие их незнания или ошибок.

3. Для уменьшения вероятности неправильных действий персонала разработаны модели организации безопасного производства работ в электроустановках. ■

*Статья сдана в редакцию 13 июня 2009 г.*

*В.Н. Коротяев*

## Методические подходы к совершенствованию производственно-логистической системы транспортирования отходов производства/потребления

Основу логистической задачи движения отходов производства и потребления составляет определение: а) маршрутов и графиков транспортирования отходов от мест накопления к объектам утилизации и б) оптимального количества объектов утилизации, мест их расположения и мощностей [1, 2]. Мировой опыт и отечественная практика свидетельствуют о возможности использования в крупных городах и городских агломерациях различных систем транспортирования отходов от мест образования до объектов по их переработке, размещению и уничтожению: 1) одноэтапная — прямой вывоз отходов от мест образования к объектам утилизации, 2) двухэтапная — вывоз с использованием мусороперегрузочных станций (МПС) [3].

Для выбора той или иной схемы для каждого конкретного города необходимо проанализиро-

вать ее основные элементы и выбрать оптимальную конфигурацию по экономическим, экологическим и технологическим критериям.

Оптимизация системы утилизации и размещения соответствующих объектов заключается в транспортировании отходов (в том числе бытового мусора) и минимизации затрат на объект утилизации. Наибольшее распространение получили экономико-математические модели, в частности модели размещения объектов на плоскости и на сети [4].

Оптимизация транспортно-технологической схемы движения отходов должна касаться всех взаимосвязанных элементов: образование (охват всех источников образования отходов); сбор, накопление и временное хранение; внутритехнологическое перемещение (оптимизация маршрутов, минимизация затрат); утилизация (максимальное снижение объема

---

Сведения об авторе:

**Коротяев Владимир Николаевич**, доктор технических наук, профессор кафедры «Охрана окружающей среды» ПГТУ. E-mail: [vkortyaev@eco.pstu.ac.ru](mailto:vkortyaev@eco.pstu.ac.ru).

отходов, поступающих на захоронение, и захоронение с соблюдением нормативных требований).

Метод построения транспортно-технологической схемы движения отходов основан на технико-экономических моделях внутритехнологического перемещения и утилизации отходов.

Расчет может проводиться как для прямого вывоза отходов из, например, домовладений к месту утилизации, так и для двухэтапного вывоза через мусороперегрузочную станцию, а также для смешанного вывоза.

За источники отходов принимаются центры муниципальных образований (учет других населенных пунктов увеличивает размерность задачи, а исключение снижает ее точность).

Количество мест возможного строительства объектов утилизации зависит от характера затрат на перемещение. Если зависимость затрат от расстояния линейна, то объект утилизации можно построить рядом с источником отходов или перекрестками дорожной сети. В общем случае местом строительства может быть любая точка дорожной сети. Далее, с точки зрения минимизации затрат, необходимо определить маршруты транспортирования, оптимальное количество, местоположение и производительность объектов утилизации в границах системы [5]:

множество  $I = \{1, \dots, N\}$  — возможные места сооружения объектов утилизации;

множество  $J = \{1, \dots, M\}$  — места размещения источников отходов;

$J \subseteq I$  — каждый источник (населенный пункт) может построить на своей территории объект утилизации;

$a_j$  — количество отходов, образующихся в  $j$ -м источнике,  $j \in J$ ;

$V_i$  — производительность  $i$ -го объекта утилизации,  $i \in I$ ;

$\sum_{i \in I} V_i = \sum_{j \in J} a_j$  — объекты утилизации должны принять все отходы;

$g_{ij}$  — затраты на транспортировку и утилизацию всех отходов из  $j$ -го источника на  $i$ -м полигоне,  $I \in I, j \in J$ .

Необходимо найти множество объектов утилизации  $S \subseteq I, S \neq \emptyset$  и  $V_i, i \in S$ , которое обеспечивало бы утилизацию всех отходов при минимальных затратах:

$$F(S) = \sum_{j \in J} \min_{i \in S} (g_{ij}) \rightarrow \min_{S \subseteq I} \quad (1)$$

В нашем случае удельные затраты на утилизацию зависят от количества отходов, поступающих на данный объект утилизации.

Тогда затраты на транспортировку и утилизацию:

$$g_{ij} = ((\varphi(L_{ij}) + f(V_i))x_{ij}, \quad (2)$$

где  $L_{ij}$  — расстояние между  $j$ -м источником и  $i$ -м объектом утилизации,  $i \in I, j \in J$ ;  $\varphi(L_{ij})$  — функция зависимости удельных затрат на транспортировку от расстояния между источником и объектом утилизации;  $x_{ij}$  количество отходов из  $j$ -го источника, утилизированное на  $i$ -м объекте утилизации,  $i \in I, j \in J$ ;  $f(V_i)$  — функция зависимости удельных затрат на утилизацию от производительности объекта утилизации.

Критерий принимает следующий вид:

$$F(S) = \sum_{j \in J} \min_{i \in S} (\varphi(L_{ij}) + f(V_i)) x_{ij} \rightarrow \min_{S \in I} \quad (3)$$

$\sum_{i \in I} x_{ij} = a_j$  — все отходы должны вывозиться из источника,  $i \in I, j \in J$ ;

$a_j$  — количество отходов, образующихся в  $j$ -м источнике,  $j \in J$ ;

$V_i = \sum_j x_{ij}$  — производительность объекта утилизации равна сумме принимаемых на него отходов;

$$x_{ij} \geq 0.$$

Базисное решение состоит из  $M$  переменных  $x_{ij}$  и  $N$  переменных  $V_i$ , все остальные переменные  $x_{ij}$  нулевые, то есть все отходы из источника везутся на один объект утилизации;  $x_{ij} = a_j$  — если переменная базисная;  $x_{ij} = 0$  — если переменная не базисная.

Поставленная задача относится к классу задач нелинейного программирования. Поскольку  $\varphi(L_{ij})$  является моделью затрат на транспортировку, а  $f(V_i)$  — моделью объекта утилизации, то метод должен быть независимым от характера данных функций. Поэтому могут быть использованы только численные методы оптимизации.

Для решения задачи был разработан модификация метода покоординатного спуска. Этот способ дает хорошую сходимость, решение определяется за  $N^3 \dots (N^2M)$  итераций. (Решение данной задачи перебором возможно за  $NM$  итераций.)

Если принять  $S = J$ , то это означает, что каждый населенный пункт имеет свой объект утили-

зации и суммарные затраты на транспортировку могут быть приняты равными нулю. Производительность каждого объекта утилизации равна количеству отходов в данном населенном пункте. Это будет начальное базисное решение.

Допустим, что  $m$ -й источник вывозит отходы производства/потребления на  $n$ -й объект утилизации, тогда затраты составляют  $(\varphi(L_{nm}) + f(V_n))a_m$ . Если на  $k$ -й объект, то затраты составят  $(\varphi(L_{km}) + f(V_k + a_m))a_m$ . При смене полигона производительность  $k$ -го объекта увеличивается, а  $n$ -го уменьшается. Изменение затрат составит

$$\sum_{j \in J} (f(V_k + a_m) - f(V_k)) x_{kj} \quad \text{и} \\ \sum_{j \in J} (f(V_n - a_m) - f(V_n)) x_{nj}. \quad (4)$$

Если  $f(V_i)$  — убывающая функция, то изменения затрат для  $k$ -го объекта утилизации отрицательные.

$$\Delta_{mk} = ((\varphi(L_{km}) + f(V_k + a_m))a_m) - \\ - ((\varphi(L_{nm}) + f(V_n))a_m) + \\ + \sum_{j \in J} (f(V_k + a_m) - f(V_k)) x_{kj} + \\ + \sum_{j \in J} (f(V_n - a_m) - f(V_n)) x_{nj}. \quad (5)$$

Здесь  $\Delta_{mk}$  — изменение критерия при смене базисной переменной  $x_{mn}$  на  $x_{mk}$ .

На каждом шаге алгоритма для каждого источника определяется  $\Delta$  для всех небазисных переменных. Поскольку критерий минимизируется, то для смены базисного решения выбирается наименьшая  $\Delta$ .

Когда все  $\Delta$  будут положительными, то это означает, что найден минимум.

Оптимальным будет решение с наименьшим критерием  $F(S^*) \leq F(S)$ .

Поскольку базисное решение строилось при  $S = J$ , то в базисное решение никогда не попадут  $x_{ij}$ , где  $i \in I, i \notin J$ . Решение будет оптимальным только при  $J = I$ . Чтобы ввести эти переменные в базисное решение, используется дополнительная процедура.

Если  $J \subseteq I$ , то мы имеем возможные места строительства на перекрестках дорог. Здесь, как правило, отходов производства/потребления нет, и поэтому перенос сюда МПК изменит только затраты на транспортировку (затраты на утилизацию не изменятся). Поэтому в метод введена проверка на баланс входных потоков на МПК (объект утилизации).

Если поток отходов, поступающих на объект по какой-либо дуге графа, больше суммы отходов других дуг и отходов этой точки, то его надо переместить по этой дуге. Такая оценка проводится на каждом шаге для каждого полигона. Следующий шаг — после того как у всех объектов появится баланс входных потоков.

Данное утверждение является необходимым признаком оптимальности.

По технико-экономическим показателям все мусоровозы могут быть разделены на четыре группы: а) малые собирающие (емкость 15–20 м<sup>3</sup>) типа КО-413; б) большие собирающие (45–48 м<sup>3</sup>) ти-

па КО-415; в) малые транспортные (48 м<sup>3</sup>) типа КО-415; г) большие транспортные (100 м<sup>3</sup>) типа КО-416.

Удельные затраты на транспортировку определены как функция от расстояния (в километрах). При транспортировке транспортными мусоровозами учитываются затраты на перегрузку на МПС.

Были определены удельные затраты для каждой группы мусоровозов (руб./т): малые собирающие = 10,67L; большие собирающие = 3,59L; малые транспортные = 29,67 + 3,31L; большие транспортные = 22,31 + 1,93L, где L — расстояние вывоза.

По этим значениям построены графики удельных затрат (рис. 1).

Как видно из рис. 1, два вида мусоровозов имеют наименьшие экономические затраты при транспортировке: большой собирающий и большой транспортный.

При транспортировке на расстояния менее 13,47 км расчет будет вестись для больших собирающих мусоровозов, при транспортировке на расстояния более 13,47 км — для больших транспортных.

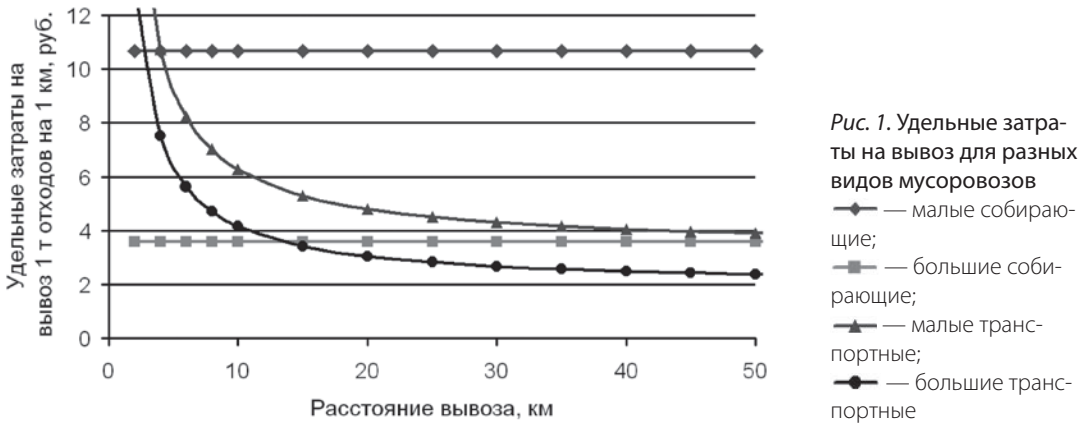
Тогда математическое выражение модели примет следующий вид:

$$\varphi(L) = \begin{cases} L \leq 13,47 & 3,59L; \\ L > 13,47 & 22,31 + 1,93L. \end{cases} \quad (6)$$

Для упрощения задачи рассчитывается технико-экономическая модель полигона захоронения.

Необходимо найти

$$C_{уд.} = f(V),$$



где  $V$  — емкость полигона (в единицах объема);  $C_{уд}$  — удельные затраты на захоронение единицы отходов на полигоне емкостью  $V$ .

Затраты на захоронение отходов можно поделить на капитальные и эксплуатационные затраты.

Полигон состоит из технологической и хозяйственной зон, поэтому капитальные затраты можно разделить на: а) прямо пропорциональные площади участка складирования и б) не зависящие от площади участка складирования.

Тогда

$$f(V, S) = \frac{a}{V} + \frac{bS}{V} + c, \quad (7)$$

где  $S$  — площадь участка складирования;  $a, b, c$  — коэффициенты;  $a$  — капитальные затраты, не зависящие от емкости полигона и площади участка складирования;  $b$  — капитальные затраты на единицу площади участка складирования;  $c$  — эксплуатационные затраты на единицу отходов.

Зависимость площади участка складирования от емкости полигона равна

$$S = \left( \frac{24}{q} V + S_{\text{верх}}^2 \right)^{\frac{2}{3}}.$$

Тогда зависимость удельных затрат на захоронение от емкости полигона выглядит как

$$f(V) = \frac{a}{V} + \frac{b \left( \frac{24}{q} V + S_{\text{верх}}^2 \right)^{\frac{2}{3}}}{V} + c. \quad (8)$$

Эта функция и является технико-экономической моделью полигона.

Для использования данной модели необходимо определить численные значения констант и коэффициентов  $S_{\text{верх}}$  (определяется на основе нормативной документации по проектированию полигонов);  $q$  (зависит от плотности отходов на полигоне, технологии пересыпки и т.п. Определяется на основе технических показателей полигонов);  $a, b$  и  $c$  (экономические коэффициенты, которые зависят от конструкции полигона, используемых технологий, оборудования и сооружений).

Для определения коэффициентов модели полигона захоронения отходов производства/потребления использована проектная документация по полигонам городов Березники, Чайковский, Краснокамск (Пермский край).

На основе данных полигонов определены коэффициенты:  $S_{\text{верх}} = 600 \text{ м}^2$ ;  $q = 0,7535$ ;  $a = 44512,44 \text{ тыс. руб./т}$ ;  $b = 1,73717 \text{ тыс. руб./т}^{1/3}$ ;  $c = 0,28866 \text{ тыс. руб.}$

Таким образом, расчетная формула обретает следующий вид (тыс. руб./т):

$$f(M) = \frac{44512,44}{M} + \frac{1,73717(31,851M + 14696,938)^{\frac{2}{3}}}{M} + 0,28866. \quad (9)$$

Эта зависимость представлена на рис. 2.

Итак, оптимизация системы транспортирования отходов производства/потребления от источников до объектов утилизации является неотъемлемым элементом повышения эффективности производственно-логистической системы движения; при решении транспортной задачи необходимо руководствоваться эколого-экономическими критериями; предложен метод оптимизации транспортно-технологической схемы территориально распределенной технологии движения отходов; построена совокупность математических моделей элементов производственно-логистической системы обращения с отходами производства/потребления; разработанная совокупность методик и математических моделей позволяет решать задачи построения и оптимизации региональных территориально-распределенных транспортно-технологических схем движения. ■

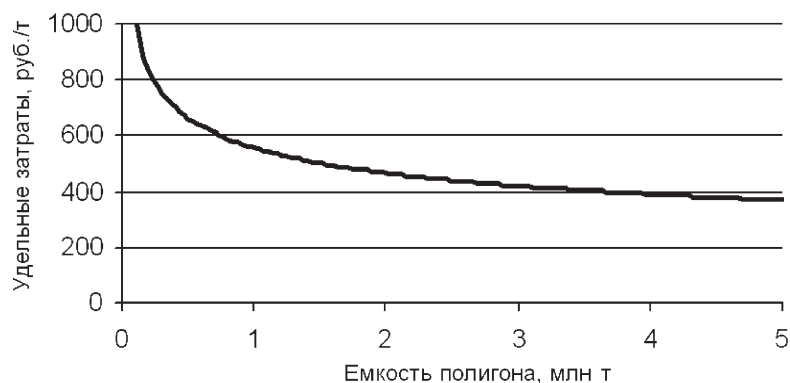


Рис. 2. Зависимость удельных затрат на захоронение от емкости полигона

## Литература

1. Коротаяев В. Н., Чечкин С. В., Стафейчук И. Б. Оптимизация региональной схемы транспортирования отходов потребления с целью окончательного размещения // Екатеринбург: Изд-во УрГУПС. Транспорт Урала, № 3, 2004. С. 24–31.
2. Коротаяев В. Н., Гагарина М. В., Чечкин С. В. Оптимизация транспортной задачи управления движением отходов потребления на примере Пермского края // Екатеринбург: Изд-во УрГУПС. Транспорт Урала, № 2, 2007. С. 99–107.
3. Борисов Ю. А. Двухэтапный вывоз твердых бытовых отходов и оценка его экономической эффективности / Сб. научных трудов АКХ «Совершенствование сбора, удаления, обезвреживания и утилизации твердых бытовых отходов». ОНТИ АКХ. 1987.
4. Трофименко Ю. В., Просов С. Н., Комков В. И. Модель управления транспортирования ТБО // Эко-real, № 2, 2007.
5. Коротаяев В. Н., Гагарина М. В., Вайсман Я. И. Построение системы управления отходами на территории Пермского края // Автотранспортный комплекс — проблемы и перспективы, экологическая безопасность: Материалы всероссийской научно-технической конференции: Изд. ПермГТУ, 2007, с. 303–309.

*Статья сдана в редакцию 23 июня 2009 г.*

# ЭЛЕКТРОСНАБЖЕНИЕ ЖЕЛЕЗНЫХ ДОРОГ

*А. А. Бунзя*

## Моделирование ионизационных процессов в электрической изоляции: разработка трехмерной имитационной модели с одним включением

**В** настоящее время значительная часть научно-исследовательских задач решается с применением компьютерного моделирования. Воспроизведение какого-либо процесса с необходимой точностью с помощью ЭВМ дает возможность получить результаты многочисленных испытаний не проводя их. Истинность полученных данных проверяется единичными натурными экспериментами. Подобную методику с большим успехом используют ведущие мировые производители космической, авиационной, железнодорожной, автомобильной и др. техники. Компьютерное моделирование вместо реальных испытаний позволяет добиться максимального экономического эффекта.

На Свердловской железной дороге высок процент отказов электрооборудования из-за пробоя или нарушения электрической изоляции [1, 2]. Для исследования электрической изоляции оборудования зачастую применяют сильно отличающиеся друг от друга способы. Однако наиболее распространенным остается метод испытания повышенным напряжением [3]. Исследования такого рода могут установить, превышает ли электрическая прочность испытуемой изоляции желательное минимальное значение. Действительное же определение электрической прочности вообще невозможно из-за неизбежного при этом пробоя изоляции. Таким образом, испытания повышенным напряжением таят в себе много

---

Сведения об авторе:

**Александр Андреевич Бунзя**, инженер кафедры «Теоретические основы электротехники» УрГУПС.  
Тел.: (343) 358-55-68. E-mail: alexanderbun@gmail.com.

неопределенного, при этом постоянно существует опасность разрушения изоляционной конструкции. Поэтому ученые стремятся разработать такие методы испытания, которые не подвергнут изоляцию опасности — неразрушающие испытания изоляции. В большинстве случаев они заключаются в измерении электрических параметров изоляции.

Под действием высокой напряженности электрического поля в изоляции в местах пониженной электрической прочности возникают частичные разряды (ЧР). Это явление не связано со сквозным пробоем конструкции, однако существование ЧР (особенно длительное) приводит к местному разрушению диэлектрика, нарушению электрической прочности изоляционной конструкции; регистрация характеристик внутренних разрядов позволяет оценить качество изоляции и выявить местные дефекты, которые практически невозможно определить обычными испытаниями. На основании исследований установлено, что наибольший интерес представляет такая характеристика ЧР, как максимальный кажущийся заряд  $q$  [2]. Данный параметр характеризует амплитуду импульса напряжения, возникающего при локальном внутреннем пробое изоляции и силу разрушающего воздействия, причиняемого изоляции. Практическое исследование закономерностей изменения этого параметра связано со значительными материальными затратами, что обусловлено

высокой стоимостью электроизоляционных материалов. Поэтому автором была поставлена задача исследования ионизационных процессов с помощью компьютерного моделирования.

В настоящее время существуют лишь простейшие плоскостные модели, составленные на основе электрической схемы замещения и учитывающие незначительное количество включений [4, 5]. В большинстве случаев количество включений не превышает одного. Поэтому нельзя оценить реальную картину развития ионизационных процессов. Однако создание более сложной модели связано с большим объемом вычислений, так как необходимо учесть большое количество дефектов, случайность их расположения внутри исследуемой конструкции, геометрические размеры, форму, а также электрические параметры самих дефектов и изоляционной конструкции в целом.

В настоящей статье предложена трехмерная имитационная модель, содержащая одно включение. На основании математической модели автором создана программа для ЭВМ «Моделирование ионизационных процессов в электрической изоляции». Цель работы: определение величины кажущегося заряда и напряжения возникновения ЧР в зависимости от размера дефекта и исследование влияния места расположения дефектной области на ионизационные характеристики.

Модель исследуемой изоляционной конструкции и ее экви-

валентная электрическая схема замещения представлены на рис. 1, а. Данная модель содержит область спониженной электрической прочностью (включение). Включение расположено в центре исследуемой модели, его размер определяется параметром  $d_i$ . Каждая область изоляционной конструкции замещается электрической емкостью соответствующей величины, а так как данные области находятся строго друг над другом, емкости электрической схемы замещения соединены последовательно.

В процессе работы программы напряжение подается на исследуемую систему, текущее значение приложенного напряжения определяется величиной  $U_{cur}$ . Подаваемое напряжение распределяется на емкостях схемы замещения  $C_1$ ,  $C_i$ ,  $C_2$  и становится равным  $U_{C1}$ ,  $U_{Ci}$  и  $U_{C2}$  соответственно. Если подаваемое напряжение достигает определенной величины  $U_x$ , а напряжение на емкости  $C_i$  превышает напряжение пробоя дефектной области  $U_{bd}$ , емкость шунтируется (рис. 1, б). Исключение емкости  $C_i$  из схемы замещения эквивалентно перекрытию дефектной области частичным разрядом; общая емкость исследуемой системы во время возникновения разряда увеличивается. На основании разности значений емкости системы во время внутреннего разряда  $C_x$  и до него  $C_0$ , а также напряжения  $U_x$  рассчитывается максимальный кажущийся заряд  $q$ .

Программа предусматривает изменение величины дефектной

области от минимального  $d_{imin}$  до максимального значения  $d_{imax}$  с определенным шагом (рис. 2).

После каждого изменения величины включения напряжение подается на систему — до возникновения внутреннего разряда и рассчитывается  $q$ .

Результатом работы программы служит расчетная зависимость изменения максимального кажущегося заряда от величины включения. При вводе исходных данных можно задавать практически любые электрические параметры и размеры исследуемой системы, что позволяет изучить их влияние на расчетную зависимость.

При создании данной модели были приняты допущения: 1) в построении эквивалентной электрической схемы замещения учитываются только емкостные свойства изоляционной области, активная проводимость не учитывается; 2) электрическое поле внутри исследуемой изоляционной конструкции равномерно.

Рассмотрим алгоритм работы программы более подробно.

1. Ввод исходных данных (диэлектрических параметров изоляционной конструкции и размеров) (рис. 3). Диэлектрические параметры — электрическая прочность и диэлектрическая проницаемость электроизоляционного материала, а также электрическая прочность и диэлектрическая проницаемость включения.

2. Установка параметров расчета. В новом диалоговом окне устанавливаются параметры расчета, где можно указать значения  $d_{imin}$

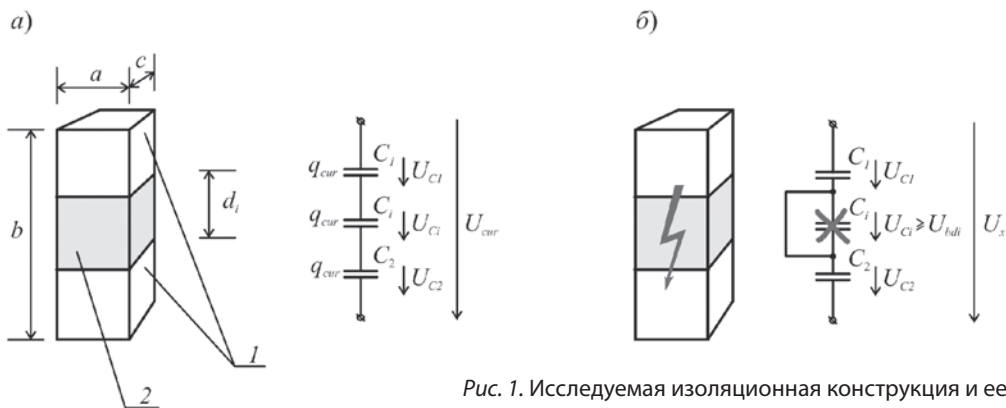


Рис. 1. Исследуемая изоляционная конструкция и ее эквивалентная электрическая схема замещения в момент подачи напряжения (а) и в момент возникновения частичного разряда во включении (б)  
 a, b, c — геометрические размеры изоляционной конструкции; 1 — нормальная изоляция, 2 — включение

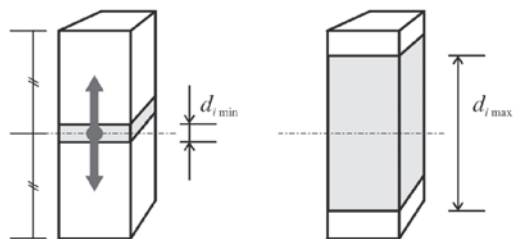


Рис. 2. Изменение величины включения в процессе работы программы

и  $d_{i\max}$  выбрать расположение включения (в верхней части или в центре исследуемого объекта) (рис. 4).

3. Запуск программы (размер включения принимается равным минимальному значению  $d_i = d_{i\min}$ ).

4. Расчет основных параметров эквивалентной схемы замещения  $C_1$ ,  $C_i$  и  $C_2$ , общей начальной емкости  $C_0$  и максимального допустимого напряжения для дефектной области  $U_{bdi}$ .

5. Определение напряжения возникновения частичного разряда. На рис. 5 представлен алгоритм расчета напряжения на изоляционной конструкции  $U_x$  в момент разряда. Подаваемое напряжение

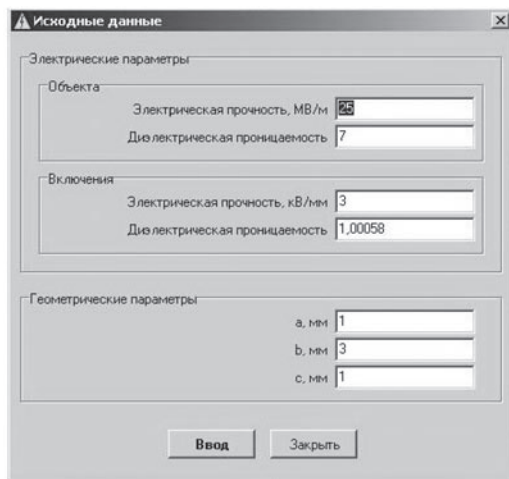


Рис. 3. Диалоговое окно ввода исходных данных

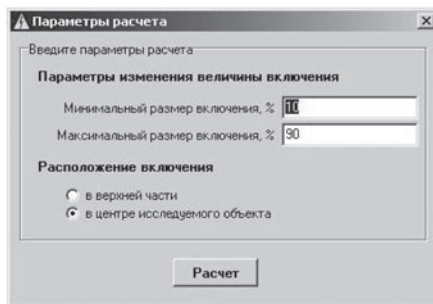


Рис. 4. Диалоговое окно установки параметров расчета

$U_{cur}$  увеличивается ступенчато от минимального значения  $U_{min}$  до максимального  $U_{max}$  с определенным шагом  $dU$ .

После каждой ступени выполняется расчет электрического заряда, внесенного в эквивалентную схему замещения:

$$q_{cur} = C_0 U_{cur}.$$

В случае последовательного соединения емкостных элементов заряд на всех элементах будет одинаков и равен величине  $q_{cur}$ . Поэтому напряжение на каждом элементе может быть вычислено:

$$U_{c1} = \frac{q_{cur}}{C_1}, U_{ci} = \frac{q_{cur}}{C_i}, U_{c2} = \frac{q_{cur}}{C_2}.$$

Если в определенный момент напряжение на дефектной области  $U_{ci}$  превысило максимально допустимое напряжение  $U_{bdp}$  то происходит пробой данной области, что эквивалентно частичному разряду в изоляционной конструкции (см. рис. 1, б). При этом напряжение  $U_x$  принадлежит интервалу  $(U_{cur} - dU; U_{cur}]$ .

В нашей программе предусматривается расчет  $U_x$  с точностью до 0,5 В. Для выполнения этого условия величина  $dU$  сравнивается с единицей. Если  $dU \geq 1$  В, то считается, что желаемая точность не достигнута. В этом случае минимальному значению напряжения присваивается начало исследуемого интервала  $U_{min} = U_{cur} - dU$ , максимальному — конец интервала  $U_{max} = U_{cur}$  и расчет повторяется. Если же  $dU < 1$  В, то счита-

ется, что напряжение вычислено с достаточной точностью и величина  $U_x$  определяется как середина исследуемого интервала:

$$U_x = \frac{U_{cur} + (U_{cur} - dU)}{2} = U_{cur} - \frac{dU}{2}.$$

Действительно, если отрезок  $dU$  составляет менее 1 В и истинное значение напряжения частичного разряда расположено на нем произвольно, то середина данного отрезка будет отличаться от искомой величины не более, чем на 0,5 В (рис. 6).

6. Расчет величины кажущегося заряда. В момент ЧР происходит шунтирование емкости  $C_p$ , а следовательно, увеличение общей емкости конструкции от значения  $C_0$  до значения  $C_x$ . Кажущийся заряд  $q$  может быть вычислен на основании изменения общей емкости объекта и напряжения возникновения частичного разряда:

$$q = \Delta C U_x = (C_x - C_0) U_x.$$

7. После успешного расчета параметров  $U_x$  и  $q$  включение увеличивается на определенную величину  $d_i = d_i + h$  и алгоритм повторяется (возвращение к п. 4).

Полученные в ходе моделирования зависимости отображаются в главном окне программы как таблица (рис. 7) и могут быть представлены в виде графиков (рис. 8). Кроме значений напряжения  $U_x$  и кажущегося заряда  $q$ , расчетная таблица содержит ряд второстепенных характеристик, которые могут быть использованы

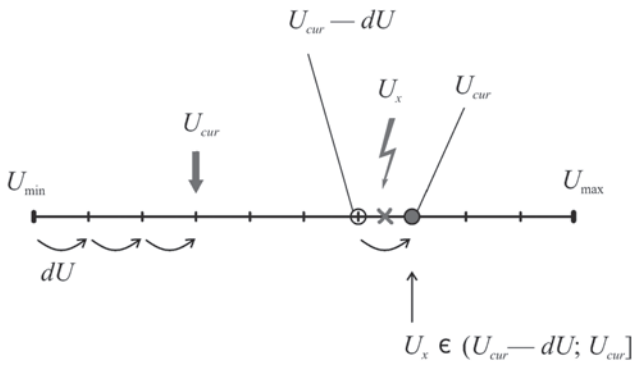


Рис. 5. Схема подачи напряжения на изоляционную конструкцию и определение напряжения частичного разряда

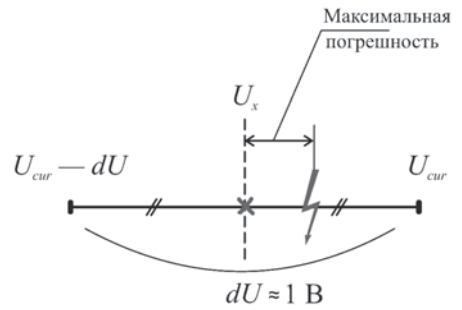


Рис. 6. Определение максимальной погрешности при вычислении напряжения возникновения частичного разряда

А Моделирование ионизационных процессов в электрической изоляции

Введены следующие исходные данные:

Электрические параметры

Объект

Электрическая прочность 25 МВ/м

Диэлектрическая прочность 7

Включения

Электрическая прочность 3 кВ/мм

Диэлектрическая прочность 1,00058

Геометрические параметры

φ = 1 мм

z = 3 мм

c = 1 мм

Задачи следующие параметры расчета:

1) максимальный размер включения d\_max = 0,3 мм [10,000 %]

максимальный размер включения d\_max = 2,7 мм [90,000 %]

2) включение в центре исследуемого объекта.

Выполнение расчета...

Общая емкость объекта без включения C=2,0850E-014 Ф.

Расчет выполнен.

| N  | φ, %   | C, Ф        | U <sub>в</sub> , В | q <sub>г</sub> , Кз | q, Кз       | q/C, Кз/Ф |
|----|--------|-------------|--------------------|---------------------|-------------|-----------|
| 1  | 10,000 | 1,2910E-014 | 2057,63            | 2,8568E-011         | 2,0648E-011 | 999,908   |
| 2  | 12,759 | 1,1700E-014 | 2270,63            | 2,8570E-011         | 2,7160E-011 | 1316,219  |
| 3  | 15,517 | 1,0697E-014 | 2483,63            | 2,8572E-011         | 3,4139E-011 | 1653,219  |
| 4  | 18,276 | 9,8530E-015 | 2695,89            | 2,8568E-011         | 4,1957E-011 | 2012,434  |
| 5  | 21,034 | 9,1323E-015 | 2908,88            | 2,8568E-011         | 4,9504E-011 | 2397,307  |
| 6  | 23,793 | 8,5089E-015 | 3121,88            | 2,8570E-011         | 5,8028E-011 | 2910,067  |
| 7  | 26,552 | 7,9667E-015 | 3334,89            | 2,8571E-011         | 6,7192E-011 | 3253,850  |
| 8  | 29,310 | 7,4889E-015 | 3547,13            | 2,8567E-011         | 7,7095E-011 | 3731,497  |
| 9  | 32,069 | 7,0651E-015 | 3760,13            | 2,8568E-011         | 8,7737E-011 | 4248,745  |
| 10 | 34,828 | 6,6867E-015 | 3973,13            | 2,8569E-011         | 9,9322E-011 | 4809,796  |
| 11 | 37,586 | 6,3467E-015 | 4185,38            | 2,8568E-011         | 1,1191E-010 | 5419,495  |
| 12 | 40,345 | 6,0397E-015 | 4398,38            | 2,8567E-011         | 1,2569E-010 | 6086,599  |
| 13 | 43,103 | 5,7610E-015 | 4611,38            | 2,8568E-011         | 1,4006E-010 | 6816,349  |
| 14 | 45,862 | 5,5068E-015 | 4824,38            | 2,8569E-011         | 1,5745E-010 | 7624,719  |
| 15 | 48,621 | 5,2742E-015 | 5036,63            | 2,8568E-011         | 1,7886E-010 | 8516,641  |
| 16 | 51,379 | 5,0604E-015 | 5249,63            | 2,8567E-011         | 1,9639E-010 | 9510,421  |
| 17 | 54,138 | 4,8633E-015 | 5462,63            | 2,8568E-011         | 2,1948E-010 | 10624,476 |
| 18 | 56,897 | 4,6810E-015 | 5674,88            | 2,8568E-011         | 2,4531E-010 | 11879,323 |
| 19 | 59,655 | 4,5118E-015 | 5887,88            | 2,8567E-011         | 2,7408E-010 | 13307,442 |
| 20 | 62,414 | 4,3544E-015 | 6100,88            | 2,8567E-011         | 3,0882E-010 | 14945,204 |
| 21 | 65,172 | 4,2077E-015 | 6313,88            | 2,8568E-011         | 3,4708E-010 | 16842,424 |
| 22 | 67,931 | 4,0709E-015 | 6526,13            | 2,8568E-011         | 3,9067E-010 | 19063,866 |
| 23 | 70,690 | 3,9420E-015 | 6739,13            | 2,8567E-011         | 4,4823E-010 | 21705,951 |
| 24 | 73,448 | 3,8213E-015 | 6952,13            | 2,8568E-011         | 5,1412E-010 | 24896,830 |
| 25 | 76,207 | 3,7079E-015 | 7164,38            | 2,8568E-011         | 5,9523E-010 | 28824,741 |
| 26 | 78,966 | 3,6009E-015 | 7377,38            | 2,8568E-011         | 6,9308E-010 | 33796,329 |
| 27 | 81,724 | 3,4999E-015 | 7590,38            | 2,8567E-011         | 8,1108E-010 | 40245,765 |
| 28 | 84,483 | 3,4049E-015 | 7803,38            | 2,8568E-011         | 1,0119E-009 | 49001,507 |
| 29 | 87,241 | 3,3141E-015 | 8015,63            | 2,8568E-011         | 1,2708E-009 | 61538,746 |
| 30 | 90,000 | 3,2284E-015 | 8228,63            | 2,8567E-011         | 1,6728E-009 | 80999,793 |

φ - размер (высота) включения; C - общая емкость объекта до ЧР; U<sub>в</sub> - напряжение, приложенное ко всей конструкции в момент ЧР (напряжение зажимов); q<sub>г</sub> - заряд на включение в момент ЧР; q - кажущийся заряд; q/C - соотношение кажущегося заряда к общей емкости объекта без включения [C - такая общая емкость, если бы включения отсутствовали].

Рис. 7. Главное окно программы. Результаты расчета представлены в виде таблицы

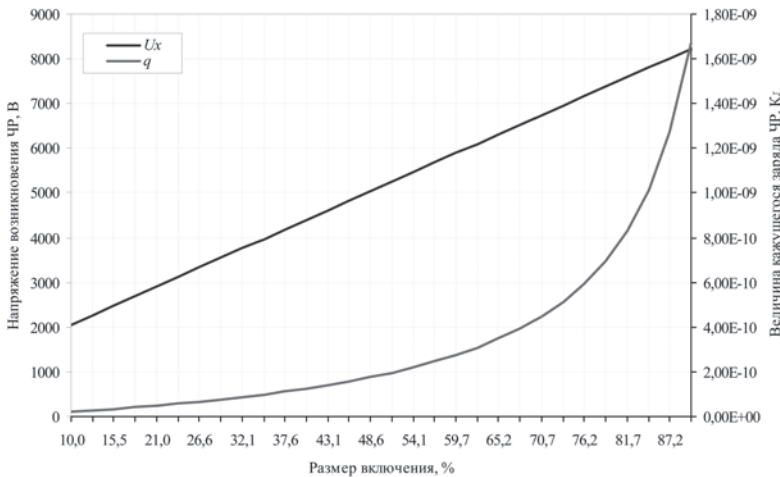


Рис. 8. Представление результатов моделирования в виде графических зависимостей

для проведения различных исследований. Результаты расчета можно перевести в текстовый файл.

В случае расположения включения в центре исследуемой области изоляционной конструкции эквивалентная схема замещения имеет три емкостных элемента. Интересным является вопрос о возможности объединения областей с нормальной изоляцией в одну и их замещения на схеме всего одним емкостным элементом. Это можно рассматривать как перенос дефектной области в верхнюю часть конструкции, поэтому в программе предусмотрено возможность расположения включения в верхней части исследуемого объекта (рис. 9).

Проведенные исследования показали, что расположение дефектной области не влияет на результаты расчета. В процессе моделирования допускается отделять и выносить включение, разрешается объединять оставшиеся области изоляции в одну. Данная методика может быть использована при создании более сложных

имитационных моделей с целью снижения трудоемкости расчета.

Итак, разработанная программа для ЭВМ позволяет имитировать возникновение частичного разряда в области изоляционной конструкции. При этом рассчитываются такие характеристики, как кажущийся заряд и напряжение зажигания частичного разряда. Алгоритмом программы предусмотрено изменение размера включения, что дает возможность оценить взаимосвязь между величиной частичного разряда и размерами дефекта. Имитация ионизационного процесса может быть выполнена для различных исходных данных, что дает возможность изучать влияние диэлектрических параметров на характеристики частичных разрядов. Положение включения не влияет на ионизационные характеристики. Допускается упрощение эквивалентной схемы замещения путем объединения областей с нормальной изоляцией и их замещение одним емкостным элементом. ■

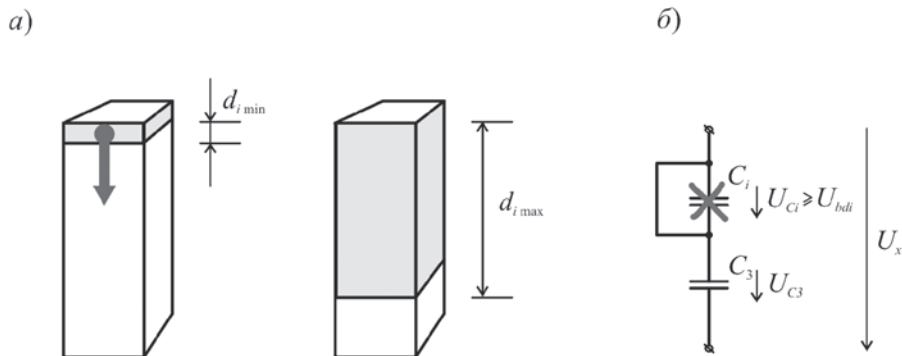


Рис. 9. Исследуемая изоляционная конструкция с расположением включения в верхней части (а) и ее эквивалентная схема замещения (б)

## Литература

1. Сухогузов А. П., Пятецкий И. А., Бунзя А. А., Бунзя А. А., Макаров А. А. Основные результаты испытаний опытного образца устройства контроля состояния электрической изоляции оборудования тяговых подстанций // Транспорт Урала: научно-технический журнал. 2009. № 3 (22). Екатеринбург: УрГУПС. ISSN 1815–9400.
2. Сухогузов А. П., Пятецкий И. А., Косяков А. А., Бунзя А. А. Совершенствование системы диагностики изоляции устройств электрооборудования железных дорог // Транспорт Урала: научно-технический журнал. 2004. № 3. Екатеринбург: УрГУПС. С. 44–51. ISSN 1815–9400.
3. Объем и нормы испытаний электрооборудования / Под общ. ред. Б. А. Алексеева, Ф. Л. Когана, Л. Г. Мамиконянца. 6-е изд. М.: НЦ ЭНАС, 1998. 256 с.
4. Вдовико В. П. Частичные разряды в диагностировании высоковольтного оборудования. Новосибирск: Наука, 2007. 155 с.
5. Кучинский Г. С. Частичные разряды в высоковольтных конструкциях. Л.: Энергия. Ленингр. отд-ние, 1979. 224 с.

*Статья сдана в редакцию 17 августа 2009 г.*

# АВТОМОБИЛЬНЫЙ ТРАНСПОРТ

*Р. Ф. Ковалев, Е. А. Зимин*

## Обзор парка грузовых автомобилей

Структура отечественного автопарка грузовых автомобилей представлена в [1]. По этим данным, истекший год стал одним из самых успешных для российского сектора грузовых перевозок — объемы продаж и импорта довольно долго сохранялись на рекордном для России уровне, что положительно сказывалось на структуре и численном составе парка (параллельно с приростом происходило его обновление).

Но мировой финансовый кризис не обошел стороной отечественный рынок грузовых перевозок. Их объем сократился почти на 17% к уровню прошлого года (данные Росстата на март 2009 г.). При этом грузооборот автомобильных перевозок уменьшился на 17,5%. Кризис настиг рынок в период максимального роста; 2008-й год, несмотря на начало спада в четвертом квартале, оказался рекордным по при-

росту парка грузовиков в России. Прирост составил 5,1% в грузовом секторе и 8,1% среди легкого коммерческого транспорта (light commercial vehicles — LCV) [5]. В текущем году, очевидно, таких результатов добиться не удастся. Это косвенно подтверждают объемы продаж, производства и импорта коммерческой техники в России в течение первого квартала года, которые снизились от трех до пяти раз в зависимости от уровня грузоподъемности.

Агентство «АВАРУS Market Research» в 2008 г. завершило исследование рынка грузовых автомобилей России. Результаты проекта свидетельствуют об исключительных перспективах развития российского рынка грузового автотранспорта в ближайшие годы. По их данным, рынок грузовых автомобилей рос внушительными темпами. Особенно рост был заметен на фоне ровных показателей предыдущих лет: в 2006 г.

---

Сведения об авторах:

**Рудольф Николаевич Ковалев**, доктор технических наук, завкафедрой « Экономика и управление на предприятии транспорта» УГЛТУ. E-mail: rkv@usfeu.ru.

**Евгений Алексеевич Зимин**, магистр УГЛТУ. E-mail: evg.zimin@mail.ru.

объем рынка составлял 259,4 тыс. ед. грузовой техники, а в 2007 г. — уже в 327,6 тыс.

Значительный вклад в рост объемов рынка вносит импорт (рис. 1).

Германия лидирует в поставках грузовых автомобилей на российский рынок: в 2006 г. — 13,8 тыс. машин, а в первом полугодии 2007 г. — 9,4 тыс. Китайские грузовые автомобили поступают в нашу страну с активным ежегодным приростом 20–30 % ежегодно [2].

По данным маркетингового исследования компании АМИКО, на российском рынке грузовых автомобилей преобладают отечественные автомобили — 68 % (на импорт приходится около 32 %). Наибольшую долю в российском парке грузовых автомобилей занимают отечественные автомобили грузоподъемностью до трех тонн (примерно 42 % рынка). На втором месте — отечественные же автомобили грузоподъемностью более трех тонн (25 %). Примерно 21 % — импортные автомобили полной массой не более пяти тонн. Остальные виды занимают незначительные доли и на них суммарно приходится около 12 % [3].

К сожалению, средний возраст грузовых автомобилей в России увеличивается от года к году (рис. 2).

Так, в 2006 году только 12,4 % парка грузовых автомобилей России имели возраст до пяти лет. В 2007 этот показатель еще немного улучшился: 14 %. Хотя, например, в 1998 году он упал до

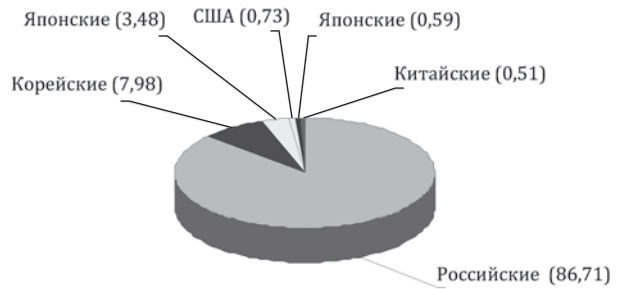


Рис. 1. Структура парка автомобилей в России, %

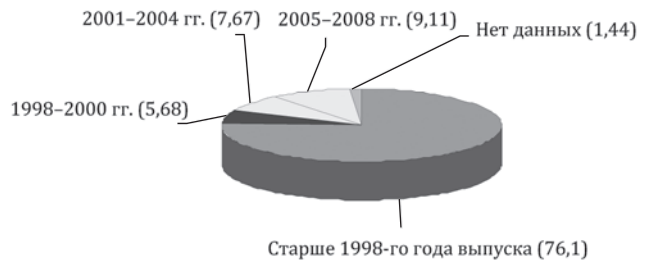


Рис. 2. Структура парка грузовых автомобилей по возрастному составу, %

9,1 %. В секторе средней и тяжелой техники на машины старше десяти лет приходится более трех четвертей парка (76 %). Это больше, чем годом ранее. В 2007 г. доля автомобилей старше десяти лет составляла 62,6 %.

Такой высокий показатель обусловлен значительной концентрацией продукции отечественных марок — основа грузового парка РФ сформирована в советское и перестроечное время. Не исключение и зарубежные марки — их техника также отличается довольно высоким средним возрастом: дороговизна новых, более современных и комфортных моделей долгое время приводила к смещению спроса в подержанный сектор. Так, например, на протяжении последних лет параллельно с новыми автомобилями

марок «вольво», «мерседес-бенц», «МАН» и прочих представителей Большой европейской семерки в страну активно ввозились тягачи и крупнотоннажные автомобили, отработавшие не один год на дорогах Европы и обеих Америк.

На этом фоне возрастной состав парка легких коммерческих автомобилей (LCV) выглядит более выигрышно: десятилетний юбилей отметило меньше половины всей техники (47%). Три оставшиеся возрастные категории насчитывают примерно равное число автомобилей с небольшим перевесом в сторону новых машин. Такое положение дел объяснимо: основу парка легкого коммерческого транспорта составляют «ГАЗели» различных модификаций, чьи продажи всегда шли довольно бойко. Немалый вклад в снижение среднего возраста LCV в России внесли и такие марки, как «фольксваген» и «форд»: именно на них приходи-

лась львиная доля продаж новых иностранных автомобилей данного типа [4].

Российские автовладельцы гораздо менее охотно, чем граждане других развитых стран, расстаются со своими старыми машинами: ежегодное выбытие автопарка в России составляет 3–4% (в развитых странах — 6–7%).

По сравнению с прошлым годом парк транспортных средств в России, пусть немного, но все же помолодел. В 2008 году доля грузовых автомобилей в возрастной категории старше десяти лет была на 0,8% больше, чем сейчас, а доля автобусов — на 0,4%. Однако омоложение российского автомобильного парка, едва наметившееся в последние годы, с наступлением кризиса замедлится [5]. Улучшения можно ожидать через три года, когда, по прогнозам аналитиков, Россия выйдет на прежние, «докризисные», показатели.



## Литература

1. Поход в регионы. 2009. URL: [www.trucklist.ru/reviews/articles/trucks/0012601/](http://www.trucklist.ru/reviews/articles/trucks/0012601/) (дата обращения: 29.05.2009).
2. Рынок грузовых автомобилей России // Информационно-логистический портал. 2009. URL <http://www.lexim.ru/news/9700/> (дата обращения: 6.02.2009).
3. Бизнес-план. 2009. URL: <http://www.bsplan.ru> (дата обращения: 7.03.2009).
4. Грузовой автопарк России дряхлеет // bigness.ru. 2009. URL: <http://www.bigness.ru/articles/2009-05-26/gruzoviki/5766> (дата обращения: 26.05.2009).
5. Бизнес. Как выбрать кота в мешке. Все о коммерческом транспорте. 2009. URL: <http://www.park5.ru/articles/1/567> (дата обращения: 27.05.2009).

*Статья сдана в редакцию 18 июля 2009 г.*

# ПОДГОТОВКА ПЕРСОНАЛА

*В.С. Паршина*

## Кадровое обеспечение производственной сферы железных дорог

**Н**аиболее проблемная и важная задача кадровых решений в компании ОАО «РЖД» — это прогнозирование и планирование потребности в работниках как составной части всей системы стратегического планирования железнодорожной отрасли. Кадровая политика, учитывающая международные стандарты качества ISO, пронизанная корпоративным духом и мотивирующей миссией, должна быть инструментально выстроена в логические цепочки, которые могут быть реализованы на всех иерархических уровнях кадрового управления компанией.

Методические основы прогнозирования и планирования кадров были заложены в период централизованной плановой экономики, их исходным положением служили утверждаемые прогнозы

развития государства. В настоящее время задача определения потребности в кадрах в большей степени переложена на плечи работодателей. Однако обоснование потребной численности в такой крупной хозяйственной структуре, как железнодорожный транспорт страны, где заняты почти 1 млн работников, требует специальных подходов. Учитывая сложность задачи кадрового прогнозирования и необходимость ее скорейшего решения целесообразно обратиться к построению модели прогнозирования и планирования кадрового обеспечения.

Рассмотрим на примере двух отраслевых структурных подразделений — локомотивного депо и дистанции пути — алгоритм реализации задачи: формирование параметров профессиональной компетенции специалистов

---

Сведения об авторе:

**Валентина Сергеевна Паршина**, доктор экономических наук, профессор кафедры «Управление в социальных и экономических системах» УрГУПС. [VParshina@uses.usurt.ru](mailto:VParshina@uses.usurt.ru).

данных подразделений, востребованных компанией; определение содержания модели квалификации работника на основе теории компетентностного подхода; анализ прогноза развития компании на третьем этапе реформ с учетом стратегических показателей ее деятельности до 2010 г.; прогнозирование развития локомотивных депо и дистанций пути всех железных дорог; анализ существующей методологии по определению потребности в квалифицированных кадрах; обоснование методики определения потребности в квалифицированных кадрах (расчета численности персонала на перспективу); анализ кадрового состояния локомотивных депо и дистанций пути всех железных дорог; разработка, обоснование и корректировка методики для определения потребности предприятий железнодорожного транспорта в квалифицированных кадрах в условиях третьего этапа структурной реформы; апробация выполненных расчетов потребности предприятий железнодорожного транспорта в квалифицированных кадрах.

Существующие методы прогнозирования численности работников сводятся к экспертному методу, в основе которого лежат данные, полученные в результате опроса компетентных специалистов; методу сравнений, актуальному в условиях жесткой конкуренции, когда руководство организаций накапливает сведения о том, как обстоят дела на родственных предприятиях, как ре-

шают те или иные вопросы конкуренты; методу планирования от достигнутого уровня, который переносит на будущий период все недостатки прошлого этапа; методу прямого счета, который является наиболее точным, хотя его высокая трудоемкость в условиях столь разветвленной сети подразделений отрасли делает его формальным и негибким; экстраполяционному методу прогнозирования, который предполагает распространение выводов, полученных из наблюдения над одной частью явления, на другую его часть или, проще говоря, распространение установленных в прошлом тенденций на будущий период, что предполагает непрерывное развитие исследуемого объекта с сохранением общих тенденций; корреляционно-регрессионному методу, который обеспечивает установление линейной зависимости между численностью персонала (его профессионально-квалификационными составляющими) и воздействующими на него факторами с учетом выявленной тесноты связи между ними. Это может быть зависимость, определяющая степень влияния какого-либо параметра непосредственно на численность персонала, либо зависимость, определяющая тесноту связи одного или нескольких параметров с другими параметрами, значительное влияние которых на численность персонала установлена.

Заметим, что корреляционно-регрессионный метод имеет боль-

шие преимущества перед другими перечисленными методами, поскольку он обеспечивает возможность выявления, структурирования и ранжирования факторов, влияющих на формирование потребности в персонале; достаточно высокую точность прогнозов, особенно на кратко- и среднесрочную перспективу; возможность создания универсального алгоритма расчетов для автоматизации системы кадрового обеспечения, что особенно важно для условий железнодорожного транспорта; возможность быстрой корректировки прогнозных данных в случае изменения значений факторов; легкую комбинацию с другими методами определения потребности в персонале, например, с методом сравнений, экстраполяции и норматив-

ным; возможность учета мировых тенденций в ходе определения корреляционных зависимостей.

Этапы, по которым проводится моделирование корреляционно-регрессионным методом, представлены на рис. 1.

На основе планирования численности персонала реализуется задача удовлетворения в перспективе потребности в квалифицированных кадрах за счет внутренних и внешних источников. Обобщение ранее проведенных работ позволило установить, что для прогнозирования какого-либо показателя на три-пять лет вперед необходимо изучить его предысторию не менее чем за семь-десять предыдущих лет. Цель ретроспективного анализа заключается в выявлении основной тенденции изменения показателя во времени,



Рис. 1. Основные этапы прогнозирования численности с помощью корреляционно-регрессионных моделей

которая называется трендом. Отклонения фактических значений исследуемого показателя от тренда рассматриваются как случайные колебания. Выявление тренда включает: анализ статистических данных с целью исключения аномальных наблюдений; выделение однородных периодов в динамике прогнозируемого показателя; выбор функции выравнивания и оценка ее параметров.

Корреляционно-регрессионный анализ больше других методов приспособлен к выявлению тенденций экономических показателей с учетом влияния существенных факторов на прогнозируемый показатель. В основе этого метода лежат предвидение и анализ основных факторов, определяющих уровень и динамику прогнозируемого показателя. Прогнозирование показателей указанным методом осуществляется при помощи модели, являющейся функцией, в качестве аргументов которой выступают конкретные факторы.

Начальный этап построения прогнозной модели связан с выбором факторов, включаемых в многофакторную модель и определением формы этой связи. Основой для прогноза служит накопленный материал, характеризующий происходящие изменения численности работников. Для формирования блока факторов проводится экспертный опрос руководителей высшего и среднего уровня подразделений отрасли, в результате которого определяются показатели, предпола-

гаемые к использованию в качестве факторов. Это должны быть показатели деятельности организаций, имеющие числовое выражение и содержащиеся в статистической отчетности.

Комплекс факторов, сформированный для исследования по локомотивному депо:  $X_1$  — производительность труда;  $X_2$  — текучесть кадров;  $X_3$  — объем работ;  $X_4$  — реальная заработная плата в ценах;  $X_5$  — количество приведенных ремонтов;  $X_6$  — эксплуатируемый парк электровозов;  $X_7$  — эксплуатируемый парк тепловозов;  $X_8$  — техническая скорость;  $X_9$  — участковая скорость;  $X_{10}$  — среднесуточный пробег локомотива;  $X_{11}$  — вес поезда брутто;  $X_{12}$  — среднесуточная производительность локомотива;  $X_{13}$  — удельный расход электроэнергии;  $X_{14}$  — удельный расход топлива;  $X_{15}$  — износ основных средств;  $X_{16}$  — фондоотдача;  $X_{17}$  — фондовооруженность труда;  $X_{18}$  — механовооруженность труда;  $X_{19}$  — стоимость основных фондов;  $X_{20}$  — эксплуатируемый парк электровозов.

Комплекс факторов, отобранных для исследования по дистанции пути:  $X_1$  — производительность труда;  $X_2$  — средняя заработная плата;  $X_3$  — коэффициент текучести кадров;  $X_4$  — объем работ;  $X_5$  — балльная оценка состояния пути;  $X_6$  — удельный расход электроэнергии;  $X_7$  — удельный расход топлива;  $X_8$  — износ основных средств;  $X_9$  — фондоотдача;  $X_{10}$  — фондовооруженность;  $X_{11}$  — механовооружен-

ность;  $X_{12}$  — стоимость основных фондов.

Выделенные методом экспертного опроса и логического анализа факторы отличаются вероятностным характером воздействия на численность персонала. Это воздействие достаточно многообразно и сложно.

С помощью корреляционного анализа проводится исследование, на основе которого из выделенных выбираются существенные факторы, оказывающие влияние на прогнозируемый показатель — численность работников в перспективе, и отбрасываются взаимозависимые и мало значимые факторы.

В результате статистического анализа отбираются показатели с линейной зависимостью между численностью персонала и всеми представленными факторами.

Для укрупненных расчетов численности работников по однородным хозяйствам отрасли использовались корреляционные модели, разработанные на основе исходных данных предприятия за 1990–2005 гг.

Так как локомотивное хозяйство включает в свой состав эксплуатационный и ремонтный персонал, то при расчете численности работников необходимо учесть эту особенность в различных расчетных моделях.

Для проведения расчетов стоимостных показателей (стоимость основных фондов, фондоотдача и т. п.) необходимо привести данные по годам к сопоставимому виду — провести корректировку

значений показателей вследствие значительного роста цен и изменения учетной политики организаций, а для натуральных (объем перевозок, численность) — учесть изменения границ обслуживаемых участков.

Особенностью предложенных моделей является применение при расчетах коэффициента среднегодового использования рабочего времени ( $K_{исп.}$ ), вносящего существенные коррективы в численность работников, что обусловлено значительными колебаниями коэффициента в последние годы.

В формулах приводится численность всех работников хозяйства, что обусловлено сложившейся достаточно стабильной структурой кадров. Так, для дистанции пути выявлено соотношение работников по категориям, %: руководители — 6, специалисты и служащие — 4, рабочие — 90. По локомотивному хозяйству в части эксплуатации доля машинистов и их помощников составляла 65–70 % от общей численности работников хозяйства за исследуемый период, для службы ремонта численность рабочих составила 65–70 %.

В результате анализа исходных данных по перечисленным выше факторам для дистанции пути отобраны производительность труда и механовооруженность. Прогноз общей численности работников дистанции пути может быть определен по следующей формуле:

$$Ч_{п} = \frac{879 - 0,0148X_1 - 3,904X_2}{K_{исп.}}, \quad (1)$$

где  $Ч_n$  — численность работников дистанции пути (включает рабочих, руководителей и специалистов), чел.;  $X_1$  — производительность труда, тыс. т·км/чел.;  $X_2$  — механовооруженность, тыс. руб./чел. (рассчитывается как отношение стоимости используемого оборудования к численности персонала хозяйства);  $K_{исп.}$  — коэффициент использования рабочего времени работниками предприятия, рассчитывается как отношение фактического годового фонда рабочего времени к плановому.

К факторам, оказывающим влияние на численность работников эксплуатационного подразделения локомотивного депо, отнесены участковая скорость и вес поезда брутто. Общую численность работников локомотивного депо по эксплуатации ( $Ч_{m(экспл.)}$ ) на перспективу можно определить по формуле

$$Ч_{m(экспл.)} = \frac{5550 - 51,68X_3 - 0,59X_4}{K_{исп.}}, \quad (2)$$

где  $X_3$  — участковая скорость, км/ч;  $X_4$  — вес поезда брутто, тыс. т.

Для расчета численности работников ремонтного подразделения локомотивного депо на перспективу ( $Ч_{т(рем.)}$ ) в качестве факторов, оказывающих определяющее влияние, выявлены количество приведенных ремонтов и фондоотдача. Тогда:

$$Ч_{т(рем.)} = \frac{X_5(0,2051 + 0,000704X_6)}{K_{исп.}}, \quad (3)$$

где  $X_5$  — количество приведенных ремонтов, шт.;  $X_6$  — фондоотдача, т·км брутто/руб.

Предложенные выражения для расчета численности персонала на перспективу отвечают требованиям формирования модели методом корреляции.

Расчетные аналитические зависимости численности от сформированных факторов предлагаются к использованию для укрупненных расчетов по исследуемым структурным подразделениям отрасли. Полученные укрупненные данные по прогнозу численности являются основой для ее анализа и планирования. Однако значения могут быть скорректированы на основе прямых методов нормирования и планирования численности. Кроме того, исследование уровня и динамики мотивации персонала предприятий отрасли позволит учесть при обосновании прогноза численности социальную составляющую изменения производительности труда.

Итак, в результате реализации сформулированных в настоящей статье задач и алгоритма их решения обоснованы выражения определения численности персонала в дистанциях пути и локомотивных депо. ■

*Статья сдана в редакцию 3 августа 2009 г.*

# Аннотации

□ УДК 656.2.08:656.22

Д. А. Брусянин

## Модель управления рисками в сетевой структуре железной дороги

### Аннотация

Рассмотрены вопросы взаимодействия дирекции по ремонту пути и железной дороги. Предложено использовать экономический метод управления: плата за риск для обеспечения качества производимых ремонтов пути. При помощи теории игр разработана и исследована обобщенная оптимизационная модель управления рисками.

**Ключевые слова:** содержание инфраструктуры, управление, риск, метод управления, дирекция по ремонту пути, плата за риск.

UDC 656.2.08: 656.22

D. A. Brusyanin

## Model of risk management in railway network structure

### Abstract

The author has taken up the questions of cooperation between the directors of railway and track repair department. He has offered to use an economic management method, to pay for risk in order to provide quality for repaired tracks. With the help of a game theory he developed and researched the generalized optimization model of risk management.

**Key words:** infrastructure's content, management, risk, management method, directors of track repair department, payment for risk.

\*\*\*

□ УДК 623.4.083

Н. Ф. Сирина

## Моделирование управления вагоноремонтным комплексом

### Аннотация

При разработке механизмов организации управления вагоноремонтный комплекс рассматривается как сложная подсистема железнодорожного транспорта, в которой выделены подсистемы стратегического управления (механизмы стратегического управления) и оперативного управления (механизмы оперативного управления).

**Ключевые слова:** управление вагоноремонтным комплексом; механизм организации; интегральная оценка.

UDC 623.4.083

N. F. Sirina

## Modelling of car-repair complex management

### Abstract

While developing mechanisms for management organization the author considers a car-repair complex as a complex subsystem of railway transport in which she singles out subsystems of strategic management (mechanisms of strategic management) and operational management (mechanisms of operational management).

**Key words:** car-repair complex management; organizational mechanism; integral estimation.

\*\*\*

□ УДК 658.014

В. К. Фомин

## Оценка и ранжирование предприятий по степени приемлемости сотрудничества с железной дорогой

### Аннотация

Приведены общие подходы формирования методики оценки и ранжирования предприятий по степени их приемлемости для экономического сотрудничества с железной дорогой.

Основная идея методики заключается в том, чтобы, основываясь на доступной и вполне открытой информации, железная дорога могла объективно оценить предприятие и выработать решение о сотрудничестве с ним.

Предложено оценивать предприятие с помощью четырех консолидированных показателей; два из них относятся к технико-экономическим, а два — к социально-правовым. В настоящей статье автор формализовал только вычисление показателя организационно-правового статуса предприятия, что уже позволяет железной дороге количественно оценивать интересующее предприятие.

**Ключевые слова:** оценка предприятий; ранжирование предприятий; взаимодействие; сокращение издержек.

UDC 658.014

V. K. Fomin

## Appraisal and ranking by acceptability level of cooperation with the railways

### Abstract

The author adduces the general approaches of methods formation of enterprise appraisal and ranking by level of their acceptability for economic cooperation with the Railways.

The main idea of the methodology is to help the Railways relying on available and public data to impartially appraise the enterprise and make a decision about cooperation with it.

The author suggests to appraise the enterprise with the help of four consolidated factors; two of them are technico-economic factors, the other two are social-and legal ones. In this paper the author has formalized only the calculation of factor of enterprise legal-and-organizational status, which allows the Railways to appraise the enterprise of interest in terms of quantity.

**Key words:** Enterprises' appraisal; enterprises' ranking; cooperation; costs' reduction.

\*\*\*

- ▣ УДК 519.7  
Р.Н. Ковалев

### Использование концепций soa в оптимизации транспортных систем предприятий

#### Аннотация

Предложено использование перспективной концепции сервис-ориентированной архитектуры (SOA) построения приложений в процессе разработки компьютерных систем поддержки принятия решений для оптимизации транспортных систем предприятий.

**Ключевые слова:** сервис-ориентированная архитектура; система принятия решений.

UDC 519.7  
R. N. Kovalev

### Usage of SOA conception in optimization of enterprise transport systems abstract

#### Abstract

The author has offered to use a perspective conception of service-oriented architecture (SOA) for building applications during the development of computer support decision making systems in order to optimize enterprise transport systems.

**Key words:** service-oriented architecture; decision making system.

\*\*\*

- ▣ УДК 658.014  
А. В. Щичко, С. В. Вихарев, С. В. Сизый

### Организационные процессы в сетях с разделенными интересами: актуальность, постановка задачи, план исследования

#### Аннотация

Предложена обобщенная (постановочная) модель формализации организационных процессов в сетях с разделенными интересами по схеме: заказчик (владелец) — генподрядчик — ремонтно-строительные предприятия (исполнители) — эксплуатирующие инфраструктуру подразделения (потребители).

**Ключевые слова:** содержание инфраструктуры; организационные сети; сети с разделенными интересами, взаимодействие в сетях.

UDC 658.014

A. V. Shchichko, S. V. Viharev, C. V. Sizi

### **Organizational processes in networks with shared interests: urgency, problem statement, research plan**

#### **Abstract**

The authors have offered a generalized (production) model of organizational process formalization in networks with shared interests according to the scheme: customer (owner) — main contractor — repair and building plants (executors) — divisions exploiting this infrastructure (consumers).

**Key words:** infrastructure content; organizational network; networks with shared interests; interactions within networks.

\*\*\*

▣ УДК 656.212.6.073.21

Х. Т. Туранов, Н. В. Становова

### **Организационные особенности технологических процессов размещения грузов на открытом железнодорожном подвижном составе**

#### **Аннотация**

Изложены результаты обобщения организационных особенностей технологических процессов размещения твердотельных штучных грузов с плоскими основаниями на открытый подвижной состав, при этом крепление груза является подпроцессом процесса перевозки грузов в вагоне.

**Ключевые слова:** подвижной состав, крепление грузов.

UDC 656.212.6.073.21

H. T. Turanov, N. V. Stanovova

### **Organizational peculiarities for technological processes of load positioning on the open railway rolling stock**

#### **Abstract**

There are the generalized results of organizational peculiarities for technological processes of positioning of solid piece goods with flat foundation onto the open rolling stock on condition that cargo fastening is a sub process of a goods transportation process in the car.

**Key words:** rolling stock, cargo fastening.

- УДК 658.014  
В. М. Сай

## Организация «окон» в графике движения поездов при содержании транспортной инфраструктуры

### Аннотация

Предложена математическая модель календарного планирования «окон», позволяющая количественно оценить эффективность их использования, уменьшить влияние процесса содержания инфраструктуры на перевозочный процесс, совершенствовать организацию работ при содержании инфраструктуры и таким образом сокращать расходы.

Задача календарного планирования «окон» относится к комбинаторному классу задач — с упорядочением во времени и на длине различных процессов и работ (частично уже упорядоченных в силу технологической последовательности их выполнения). Задача рассмотрена в традиционной постановке, то есть с учетом технологической последовательности работ, норм и правил.

**Ключевые слова:** содержание инфраструктуры; организация движения; планирование «окон».

UDC 658.014  
V. M. Say

## «Occupation» planning in train schedule in the process of transport infrastructure maintenance

### Abstract

The author suggests the mathematical model of «occupation» calendar planning which allows to estimate its use efficiency in terms of quantity, reduce influence of infrastructure maintenance process on the transportation process, improve works organization by infrastructure maintenance and thus to cut down the expenses.

The objective of «occupation» calendar planning covers combinatorial class of tasks — with time sequencing and during various processes and works (which are partially ordered under manufacturing sequence of their implementation). The task is examined in the traditional statement, i. e. taking into account manufacturing sequence of works, rules and regulations.

**Key words:** infrastructure maintenance; traffic organization, «occupation» planning.

- УДК 51–74  
Г. А. Тимофеева

## Оптимальная организация грузопотоков на транспортной сети

### Аннотация

Проблема организации грузопотоков является достаточно актуальной, особенно в применяемых в последнее время антикризисных мерах, минимизации издержек и поиске оптимальных решений в различных отраслях экономики.

Рассматривается возможность применения методов динамического программирования для математической модели транспортной задачи и ее модификаций в сфере работы транспортной сети.

**Ключевые слова:** транспортная сеть; организация грузопотоков; динамическое программирование.

- UDC 51–74  
G. A. Timofeeva

## Optimal organization of freight flows in transportation network

### Abstract

Problem of freight flow organization is quite topical, especially taking into account modern crisis-proof measures, cost minimization and search of optimal solutions in different economic branches.

The author considers a possibility to use methods of dynamic programming for mathematical modeling of transportation problem and its modification in transportation network.

**Key words:** transportation network; freight flow organization; dynamic programming.

\*\*\*

- УДК 622:656:629  
И. В. Воскресенский

## Исследование подсистем выгрузки в интегрирующем транспортно-технологическом комплексе

### Аннотация

В работе представлен анализ функционирования подсистемы выгрузки в интегрирующем транспортно-технологическом комплексе как его составной части. Приводится инфраструктура модуля (подсистемы выгрузки грузов), дается его описание как системы материальных объектов и его параметрическое описание как сложной системы. Приведена структура параметрического управления подсистемой. Приводятся характеристики работоспособности и восстановления на примере подсистемы выгрузки, оборудованной вагонопрокидывателем. Определены показатели надежности и часовой производительности подсистемы в зависимости от ее инфраструктуры.

**Ключевые слова:** элемент подсистемы, техническая и технологическая надежность, инфраструктура подсистемы, работоспособность, восстановление, производительность.

UDC 622:656:629

I.V. Voskresensky

## Research of unloading subsystems in the integrating transport and technological complex

### Abstract

In the work the analysis of unloading subsystem functioning in the integrating transport and technological complex is presented as its component. There is a module infrastructure (subsystems of the cargo unloading), its description as a system of material objects and its parametrical description as a complex system. The author gives the structure of parametrical management by a subsystem. There are also characteristics of working capacity and restoration on the example of an unloading subsystem equipped with a railway truck tipper. The author defines parameters of reliability and hour productivity of a subsystem depending on its infrastructure.

**Keywords:** an element of a subsystem, technical and technological reliability, an infrastructure of a subsystem, working capacity, restoration, productivity.

\*\*\*

- УДК 658.382  
В. Ф. Бухтояров

## Управление профессиональной безопасностью работников железнодорожного транспорта

### Аннотация

Обоснована актуальность проблемы повышения качества обучения персонала в области организации безопасного производства работ в электроустановках железнодорожного транспорта.

Установлена целевая функция и описана структура системы управления качеством подготовки работников.

**Ключевые слова:** организация работ; качество обучения; система управления.

UDC 658.382

V.F. Bukhtoyarov

## Security management of railway employees

### Abstract

The author has justified the urgent necessity to increase quality of personnel training concerning safe work organization in railway electricity generating plants.

He has defined the objective function and described the structure of security management system for personnel training.

**Key words:** work organization; quality of training; management system.

- УДК 658.382  
В. Ф. Бухтояров

### **Организационные особенности безопасного производства работ в электроустановках железнодорожного транспорта**

#### **Аннотация**

Рассмотрены причины производственного электротравматизма при проведении работ в электроустановках железнодорожного транспорта. Обоснована необходимость разработки и внедрения организационного обеспечения безопасности выполняемых работ.

Предложены модели с логическими операторами безопасного производства отдельных видов работ в электроустановках и системой поддержки принятия решений.

**Ключевые слова:** причины электротравматизма; производство работ; организационное обеспечение; логические модели.

UDC 658.382  
V. F. Bukhtoyarov

### **Organizational peculiarities of safe work in railway electricity generating plants**

#### **Abstract**

The author has examined the causes of occupational electric traumatism while working in railway electricity generating plants. He has justified the necessity to develop and implement organizational support for work safety.

The author has offered models with logical operators of safe work in electricity generating plants and an expert support decision making system.

**Key words:** causes of electric traumatism; work execution; organizational support; logical models.

\*\*\*

- УДК 656.029.4  
В. Н. Коротаев

### **Методические подходы к совершенствованию производственно-логистической системы транспортирования отходов производства/потребления**

#### **Аннотация**

Для решения задач регионального планирования территориально распределенных производственно-логистических систем движения отходов производства/потребления предложен методический аппарат на базе семейства математических моделей. Оптимизация поставленной задачи осуществляется методом покоординатного спуска с использованием эколого-экономического критерия.

Метод позволяет научно обосновать транспортно-технологическую схему транспортировки, перегрузки отходов, размещения объек-

тов утилизации, их мощность. Решение подобной задачи может быть использовано при разработке региональных и муниципальных схем движения отходов, разработке схем территориального планирования.

**Ключевые слова:** производственно-логистическая система, транспортно-технологическая схема, утилизация отходов.

UDC 656.029.4

V. N. Korotayev

### Technical approaches to improvement of manufacturing-and-logistic system of production/consumption wastes transportation

#### Abstract

In order to solve the problems of regional planning of geographically distributed manufacturing-and-logistic systems of consumption wastes movement the technical approach on the basis of mathematical models' collection is suggested. The optimization of the assigned task is implemented with the help of coordinate-wise descent method using the ecological-and-economic criterion.

The method allows to scientifically prove transport-and-technological scheme of transportation, waste transshipment, utilization objects allocation, their capacity. The solution of such task could be used when developing regional and municipal schemes of waste movement, schemes of land-use planning.

**Key words:** manufacturing-and-logistic system, transport-and-technological scheme, waste utilization.

\*\*\*

- УДК 621.315.6  
А. А. Бунзя

### Моделирование ионизационных процессов в электрической изоляции: разработка трехмерной имитационной модели с одним включением

#### Аннотация

Статья посвящена имитационному моделированию ионизационных процессов в электрической изоляции. Предложена трехмерная модель части изоляционной конструкции, содержащей одну область с пониженной электрической прочностью. На базе данной модели создана программа для ЭВМ, позволяющая рассчитать ионизационный процесс с получением амплитуды максимального кажущегося заряда и напряжения зажигания частичного разряда. Расчет выполняется для различных значений размера включения, что позволяет оценить взаимосвязь между величиной частичного разряда и размерами дефекта. Исследовано влияние расположения включения на характеристики частичных разрядов.

**Ключевые слова:** электрическая изоляция; частичные разряды; имитационное моделирование.

UDC 621.315.6

A. A. Bunzya

### **Modelling of ionizing processes in electrical insulation: development of 3d simulation model with one switching**

#### **Abstract**

The article is about the simulation modeling of ionizing processes in electric insulation. The author has offered a 3D model of an insulating construction part which contains one area with lower electric strength. On the basis of this model he has created a computer program that allows calculating the ionizing process with the amplitude of a maximum seeming charge and ignition voltage of a partial charge. The calculation is performed for different meanings of switching that let estimate the correlation between the size of a partial charge and a defect size. The author has researched the influence of switching disposition on characteristics of partial charges.

**Key words:** electrical insulation; partial charges; simulation modeling.

\*\*\*

□ УДК 656.073.9

Р. Ф. Ковалев, Е. А. Зимин

### **Обзор парка грузовых автомобилей**

#### **Аннотация**

Выполнен анализ структуры отечественного автопарка грузовых автомобилей по состоянию на 1 января 2009 года. Выполнен прогноз влияния мирового кризиса на изменение структуры автопарка в ближайшие годы.

**Ключевые слова:** структура отечественного автопарка; прогноз изменения структуры; грузовые автомобили.

UDC 656.073.9

R. F. Kovalev, E. A. Zimin

### **Review of a truck fleet**

#### **Abstract**

The authors have analyzed the structure of Russian truck fleet up to the 1<sup>st</sup> of January, 2009. They have made a forecast about the influence of world crisis on the truck fleet structure in the next few years.

**Key words:** structure of Russian truck fleet; forecast about changes in structure; trucks

- УДК 656.01  
В. С. Паршина

## Кадровое обеспечение производственной сферы железных дорог

### Аннотация

Статья посвящена обоснованию плановой численности работников железной дороги. Результаты исследований приведены на примере двух структурных подразделений — локомотивного депо и дистанции пути. Для обоснования численности персонала автор использовал корреляционно-регрессионный метод. В результате математического анализа исходных данных получены формулы, позволяющие спрогнозировать и рассчитать численность работников.

**Ключевые слова:** численность работников; корреляционно-регрессионный метод; прогнозирование.

UDC 656.01  
V. S. Parshina

## Peopleness of railway production sphere

### Abstract

The article is devoted to the explanation of a planned number of railway employees. Research results are given on the example of two organization departments: a locomotive depot and a permanent way division. In order to justify the number of employees the author has used a method of correlation and regression. As a result of source data mathematical analysis she has got the formulae that allow to forecast and to calculate the number of employees.

**Key words:** number of employees; method of correlation and regression, forecast.

*Перевод Е. Ершовой*

## Научные сообщения

### **Издана монография А. В. Ефимов, В. М. Сай**

УДК 625.1:656.2.022.846

Уральский транспортный полигон высокоскоростных испытаний / Уральский гос. ун-т путей сообщения; Авт. коллектив: А. В. Ефимов, В. М. Сай. Екатеринбург: Изд-во УрГУПС, 2009. — 110 с.

Работа посвящена обоснованию сооружения транспортного полигона высокоскоростных испытаний на Среднем Урале. Основное внимание уделено обоснованию высокоскоростного экспериментального кольца для железнодорожного подвижного состава. В первом приближении обоснованы основные элементы плана и профиля, предложено несколько вариантов возможных схем размещения высокоскоростного участка. На основании прогнозного трассирования определены основные объемы работ и стоимость сооружения полигона, предложен укрупненный календарный график работ и календарный план финансирования. Рассмотрены некоторые вопросы частно-государственного партнерства как организационно-экономической формы сотрудничества при сооружении полигона.

Издание предназначено для руководителей Минтранса РФ, субъектов Федерации, руководителей железнодорожного транспорта, проектных институтов, научных работников, специализирующихся в области проектирования, организации и управления на железнодорожном транспорте.

### **Вышла в свет монография Н. Ф. Сирина, В. В. Цыганов**

УДК 623.4.083

Адаптивная организация вагоноремонтного комплекса. — Екатеринбург: УрГУПС, 2008. — 152 с.

На основе системного подхода к управлению вагоноремонтным комплексом разработана концепция его адаптивной организации. Выполнено математическое моделирование механизмов функционирования вагоноремонтного комплекса. Разработаны адаптивные механизмы его организации, решены задачи их синтеза, найдены достаточные условия их прогрессивности.

На основе полученных теоретических и методологических результатов разработаны методы и методики адаптивной организации вагоноремонтного комплекса. Созданы и внедрены прогрессивные адаптивные механизмы контроля производственной деятельности, в том числе показателей вагоноремонтного производства, их отклонений от норм и нормативов, а также ранжирования сбоев. Разработаны и внедрены адаптивные механизмы оценки и ранжирования показателей и методика формирования комплексной оценки вагоноремонтного производства; предложены методы организации вагоноремонтного комплекса.

Книга предназначена для научных работников, специалистов вагоноремонтного комплекса, аспирантов и студентов старших курсов железнодорожных и технических вузов.

# Интеллектуальная собственность

Патент № 2166826

Патентообладатель:

Уральский государственный университет путей сообщения

Авторы: Ефимов А. В., Галкин А. Г.

## Устройство удаления гололеда импульсно-резонансным методом

Изобретение относится к эксплуатации контактной сети и линии электропередачи.

**Цель изобретения** — повышение эффективности и скорости удаления гололеда, а также безопасности для людей, животных и техники при значительном сокращении расходов на электроэнергию и исключении перерывов в движении поездов.

### **Практическая актуальность**

В зимнее время климат Свердловской области характеризуется резкими перепадами температур. При определенных метеорологических условиях на проводах контактной подвески возникает наледь, которая увеличивает весовую нагрузку, способствует развитию автоколебаний, затрудняет токосъем. Все это вызывает повышенный износ линий электрооборудования, который приводит к задержкам поездов и затратам на

ликвидацию последствий обледенения провода контактной сети.

В настоящее время на Свердловской магистрали используются механические, химические и электрические способы борьбы с гололедом. Однако все они имеют недостатки. Так, например, при плавке велика опасность отжига проводов контактной подвески. Профилактический подогрев связан с высокими расходами электроэнергии. Вибропантографы, дрезины с гололедообивочными барабанами имеют крайне низкую производительность.

### **Использование**

Для использования изобретения в университете разработано устройство удаления гололеда импульсно-резонансным методом. Устройство представляет собой аппаратно-программный комплекс, устанавливаемый на тяговой подстанции, и состоит из

трансформатора, блока силовых тиристоров и микроконтроллера. Поступающие от него в петлю контактной подвески импульсы тока приводят к раскачке и соударению двойных контактных проводов, что способствует ускоренному разрушению наледи на контактном проводе.

Действующий макет устройства удаления гололеда прошел натурные испытания на полигоне контактной сети Свердловской железной дороги в зимних условиях. За три с половиной часа на провода был наморожен лед толщиной пять миллиметров, кото-

рый был полностью удален импульсно-резонансным методом. Сегодня устройство применяется на участке Решеты — Макарецво Свердловского отделения дороги.

#### **Ожидаемый результат.**

По предварительным расчетам внедрение устройства удаления гололеда позволит сократить расход электроэнергии на 21 000 киловатт в час на 100 километров двухпутного участка при каждом удалении гололеда. Расчетный экономический эффект составит 68,4 тысяч рублей в год на одно устройство, срок окупаемости инвестиций — 0,54 года. ■

Патент № 2339756

Патентообладатель:

Уральский государственный университет путей сообщения

Авторы: Кравченко Ю. М., Аккерман Г. Л., Павлов С. А., Рублев С. А.

## **Устройство для повышения поперечной устойчивости рельсошпальной решетки в балласте (варианты)**

Изобретение относится к устройствам, препятствующим поперечному сдвигу рельсошпальной решетки в балласте.

**Цель изобретения** — повышение поперечной устойчивости рельсошпальной решетки в кри-

вых участках железнодорожного пути, сокращение затрат труда на текущее содержание, снижение эксплуатационных расходов.

#### **Практическая актуальность**

Недостаточная поперечная устойчивость железнодорожного

---

Сведения об авторах:

**Юрий Михайлович Кравченко**, инженер кафедры «Путь и железнодорожное строительство» (УрГУПС). Тел.: 358-56-94.

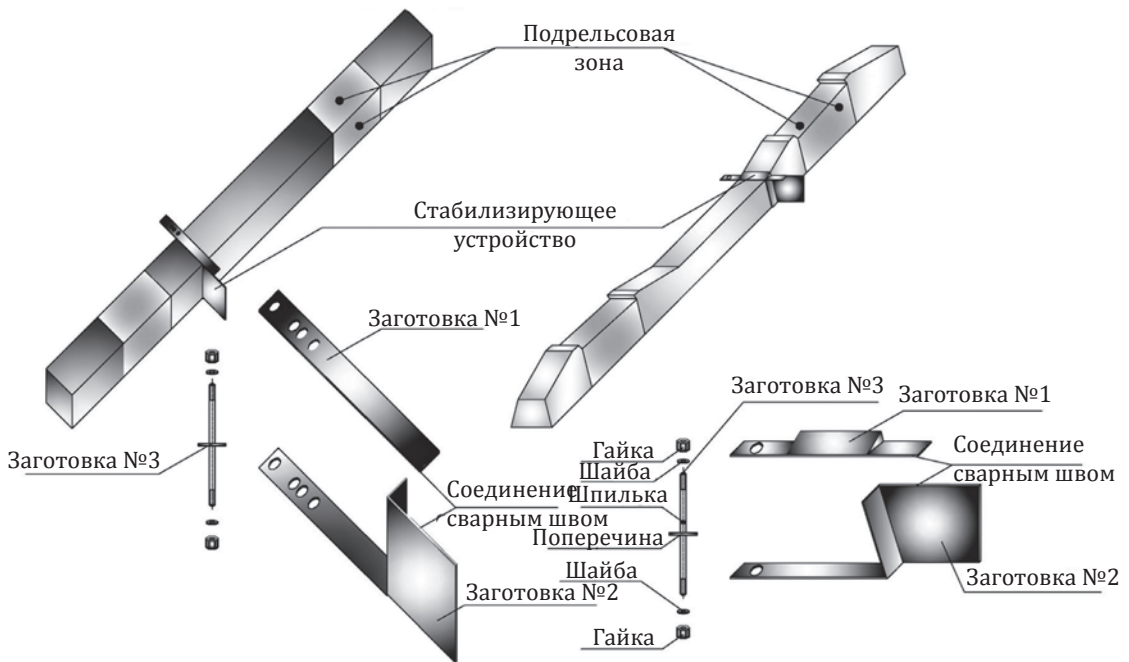
**Геннадий Львович Аккерман**, доктор технических наук, заведующий кафедрой «Путь и железнодорожное строительство» (УрГУПС). Тел.: 358-56-94, e-mail: GLAkkerman@sf.usurt.ru.

пути в кривых участках вызывает необходимость проведения дополнительных работ, связанных с приведением рельсошпальной решетки в требуемое положение. Боковые дестабилизирующие силы, возникающие при движении экипажей по кривым участкам железнодорожного пути, достигают значений иногда превышающих 100 кН. Основное боковое воздействие от колес экипажа в кривых наблюдается в виде распоров и сдвигов рельсовой колеи. Это увеличивает трудозатраты на текущее содержание пути и повышает эксплуатационные расходы.

В Уральском государственном университете путей сообщения разработано устройство для повышения поперечной устойчивости рельсошпальной решетки в балласте. Устройство представляет собой прикрепляющуюся к шпале пластину, препятствующую поперечному сдвигу рельсошпальной решетки (рисунок).

Разработаны конструкции для деревянных и железобетонных шпал.

Для расчета эпюры расстановки устройств разработан программный комплекс, с помощью которого несложно определить



Устройство для повышения поперечной устойчивости рельсошпальной решетки в балласте

значения поперечных и вертикальных сил в каждом случае с учетом эксплуатационных характеристик кривой; в зависимости от разности сдвигающих и удерживающих сил можно определить эпюру расстановки стабилизирующих устройств на кривой.

**Ожидаемый результат.**

Экспериментальная конструкция стабилизирующего устройства была установлена на проблемной кривой малого радиуса на Свердловск-Сортировочной дистанции пути Свердловской железной дороги.

В результате эксперимента было установлено, что сопротивление поперечному сдвигу одного стабилизирующего устройства равно 3,23 кН, то есть сопротивление поперечному сдвигу шпалы с применением стабилизирующего устройства возрастает примерно на 61,4 %.

Предполагаемый технический эффект составит 60–70 %. Окупаемость стабилизирующих устройств при оснащении кривых зависит от радиуса кривой, типов шпал и варьируется от одной до одиннадцати выправок в плане. ■

## Уважаемые коллеги!

### Информирую вас о требованиях, предъявляемых к оформлению статей.

При наборе используйте Word-2003 и Word-2007; шрифт (по всему тексту, в том числе в рисунках и таблицах) — тип Times, размер шрифта — 14, межстрочное расстояние — 1,5, абзацный отступ — 1,25 (1,27) см, поля — 2 см; расстановка переносов по всему тексту — автоматическая.

Набор формул: простые формулы и сочетания символов ( $x^2 < y^2$ ;  $E = mc^2$ ;  $a^2 + b^2 = c^2$ ;  $Q_{i-1}$ ;  $\Psi_j$ ) — только в текстовом режиме, слож-

ные 
$$S^2 = \frac{1}{n-1} \left[ \sum_{j=1}^e x_j^2 n_j - \frac{1}{n} \left( \sum_{j=1}^e x_j n_j \right)^2 \right];$$
$$\left( \frac{\sigma_a}{[n]} \right)$$
 или  $S_i^m$  — только в редакторе формул (встроен в Word).

Написание букв: русские (а, б, в, А, Б, В), греческие (Θ, Σ, Ω, Ψ, α, β, δ, ε, λ, π), а также цифры и функции (1, 2, 3; I, II, III; max, lg, sin и т. п.) пишутся только прямо; латинские (a, b, n, A, B, N и т. д.) — только курсивом. Исключение — курсив во вспомогательном тексте (слова «Таблица» и «Рис.», примечания в рисунках и ссылки в тексте на эти примечания).

Оформление текста: левый верхний край — инициалы, фамилия; заголовок — все буквы **ПРОПИСНЫЕ**, жирные, расположение — по центру набора; таблиц и рисунков: в таблицах размер шрифта — на полтора-два размера меньше, чем в основном тексте (11,5–12), расположение текста в «шапке» таблицы — по центру, в столбцах — по ширине; межстрочное расстояние — 1; слово «Таблица» — курсивное начертание, в правый край таблицы; название таблицы — начертание нормальное (прямое), расположение — по центру таблицы. В рисунках (графиках, диаграммах):

размер подрисуночной подписи — 14, расположение — по центру набора, слово «Рис.» — курсив, название рисунка — нормальное начертание, описание рисунка (экспликация) — нормальное начертание, условные обозначения — курсивное начертание, их расшифровка — нормальное. Расположение таблиц и рисунков — строго после ссылки на них.

Кроме того, рисунки обязательно прилагаются к материалу (один рисунок — один файл; формат — \*.jpg).

Ссылки на литературу в тексте пишутся в квадратных скобках ([1], [1, 2] или [3–5]); нумерация сквозная. Список литературы/источников оформляется по ГОСТ 7.0.5–2008.

В конце статьи обязательно ставится дата отсылки материала в редакцию.

Объем статьи — не более 14-ти страниц.

Название файла: Фамилия. Первое слово заголовка. Многоточие. Последнее слово заголовка (Сидоров. Синтез... электроприводом).

К материалу (статье) обязательно прилагаются (отдельным файлом): УДК, сведения об авторе, аннотация, ключевые слова (название файла: УДК 000. Сидоров. Синтез... электроприводом).

Материалы для очередного номера журнала «Вестник УрГУПС» принимаются до 30 числа первого месяца квартала (до 30-го января, 30-го апреля, до 30-го июля, до 30-го октября). Материалы, поступившие в редакцию после 30-го числа, будут опубликованы только в следующем номере.

Успешной работы!

Л. Барышникова,  
литературный и выпускающий редактор  
журнала «Вестник УрГУПС»

## **ИЗДАТЕЛЬСТВО УрГУПС**

### **Предоставляет весь спектр редакционно-издательских услуг**

#### **Допечатная подготовка:**

редактирование текстов любой сложности

рецензирование (с привлечением опытных рецензентов,  
имеющих научную степень в соответствующей области науки)

корректурa

дизайн и верстка

препресс (подготовка работы для сдачи в типографию  
в соответствии с выставленными требованиями)

сдача файлов и контроль прохождения  
вашей работы в типографии.

#### **Печатные, переплетные работы:**

оперативная полноцветная, одноцветная  
и многоцветная печать на цифровом оборудовании

широкоформатная печать на плоттере

несколько видов переплета

ламинирование.

**Всегда в продаже:** научная и учебно-методическая литература,  
выпущенная в издательстве УрГУПС. Каталог литературы  
вы можете найти на сайте университета ([www.usurt.ru](http://www.usurt.ru))  
в разделе «Издательская деятельность».

#### **НАШИ КООРДИНАТЫ:**

Екатеринбург, ул. Колмогорова, 66, главный учебный корпус, к. 193.

Телефон: (343) 245-43-90, 245-39-95.

E-mail: [AKoltyshev@rio.usurt.ru](mailto:AKoltyshev@rio.usurt.ru), [lsb@nis.usurt.ru](mailto:lsb@nis.usurt.ru), [ludmilast.55@mail.ru](mailto:ludmilast.55@mail.ru).

Сайт: [www.usurt.ru](http://www.usurt.ru).